

(1)

## Poznámky k 1. predmetiské.

a). obsah predmetu

b). význam predmetu, základné zdrovnečné články

c). literatúra:

Čajka, J. - Kučík, J. : Teorie lineárnych obvodov. SNTL Praha,  
ALFA, 1979.

Kučík, J. - Čajka, J. : Úvod do syntézy lineárnych obvodov.  
SUTL ALFA, 1981, Praha.

Hoffmann, J. : Teória obvodov II. ALFA, Bratislava, 1985  
Skriptum.

## d). Hodnotenie poslucháča:

Celkový zisk bodov za semester: 100b

z toho:

Cvičenia: 40b  
skúška  
predmetu: 60b

Cvičená: podmienky pre udelenie zošpočtu:

1. Žiacma neospravedlnenej neúčast na cvičenach.
2. Ospravedlnena neúčast najviac na 3 cvičenach.
3. Poslucháč musí za prácu na cvičeniac získať celosúbor 20b.
4. Získanie bodov na cvičeniac:

- 1. písomná práca: (Analýza) 10b (minimálny počet).
- 2. písomná práca: (Synéza) 10b
- SPICE (niešenie zadania na cvičení 30 min) 10b
- priprava na cvičenie 4b
- do PC - učebné prezenty!]

## Stuška:

a). Písemná test: (3x20min)

test z dřívých znalostí (15 otázek), min. 11 správných odpovědí, 80 min.

15 - 12b      12 - 3y  
14 - 9b      11 - 0b  
13 - 8b

b). Práce 2x30 min. (min 10b)

a). analýza / max. 12b

b). syntéza / max 12b

c). Ustava stuška:

Lohy teoretického charakteru.

2 x 12 bod. (min 10)

2-pr. Analýza

syntéza 3x 12  
1-ted.

Celkové hodnocení:

výborné 86 - 100b

velmi dobré 70 - 85

dobré 53 - 69

nevyhovělo 32 a menej

Cv: max. 40 - minim. 20.

stuška: max. 60

-> neosprávněl.

- 3 správněl.

e). Konziliační hodiny:

f). Terminy predmetů:

utorky: 9:10 - 10:40

piatok: 9:30 - 9:40

## 1.ZÁKLADNÉ POJMY

**SIGNÁL:** Signál je časovo premenná fyzikálna veličina, ktorá nesie správu. Matematicky je signál opísaný funkciou jednej alebo viacerých premenných.

**1D SIGNÁL:** Hovoríme, že signál je jednorozmerný (jednodimenzionálny, 1D), (n - rozmerný, ND), ak funkcia, ktorou je opísaný, je funkciou jednej (n) nezávislých premenných.

**SPOJITÝ SIGNÁL (v čase):** Hovoríme, že signál je spojitý v určitom časovom intervale, ak sú jeho hodnoty špecifikované v každom časovom okamihu tohto intervalu.

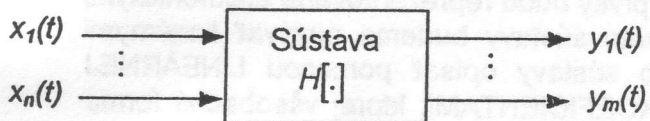
**DISKRÉTNY SIGNÁL (v čase):** Hovoríme, že signál je diskrétny v čase, ak jeho hodnoty sú špecifikované len v určitých (diskrétnych) časových okamihoch.

**SÚSTAVA / SYSTÉM:** Je súbor vzájomne prepojených prvkov, ktoré generujú jeden alebo viac signálov, ktoré sa nazývajú výstupnými signálmi sústavy. Signály vstupujúce do sústavy sa nazývajú vstupnými signálmi sústavy. Výstupné signály sústavy, t.j. signály, ktoré zo sústavy vystupujú, sa nazývajú tiež odpoveďou (odozvou) sústavy.

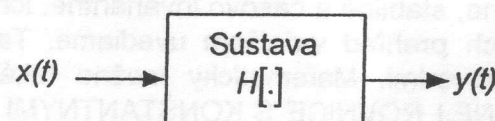
**SPOJITÁ SÚSTAVA:** Hovoríme, že sústava je spojité (analógová), ak jej vstupné a výstupné signály sú tiež spojité signály.

V ďalšom budeme pre závislosť medzi vstupným a výstupným signálom sústavy používať označenie  $y(t) = H[x(t)]$  (1)

kde  $H[\cdot]$  je operátor (zobrazenie), ktoré charakterizuje vlastnosti sústavy,  $x(t)$  je vstupný a  $y(t)$  je výstupný signál. V grafickej forme možno vzťah (1) znázorniť tak, ako je uvedené na obr.1 a obr.2.



obr.1



obr.2

## 2.ZÁKLADNÉ VLASTNOSTI SÚSTAV

Medzi základné vlastnosti, pomocou ktorých sú sústavy charakterizované, (obyčajne) patria:

- kauzalita (fyzikálna realizovateľnosť)
- zotrvačnosť
- stabilita
- stacionarita (časová invariantnosť)
- linearita

**KAUZALITA (FYZIKÁLNA REALIZOVATEĽNOSŤ):** Sústava je kauzálna vtedy, ak jej odpoveď v čase  $t = t_0$  nezávisí na vstupnom signále sústavy v čase  $t > t_0$ . Sústava, ktorá nie je kauzálna, je nekauzálna (fyzikálne nerealizovateľná).

Sústava je **NEZOTRVAČNÁ (BEZPAMÄŤOVÁ)**, ak jej odpoveď v hociktorom časovom okamihu závisí len od hodnoty vstupného signálu sústavy v tom istom časovom okamihu. Sústavy, ktoré nie sú nezotrvačné (bezpamäťové), sa nazývajú zotrvačnými (pamäťovými) sústavami.

**STABILITA (BIBO, Bounded Input - Bounded Output):** Sústava je stabilná vtedy a len vtedy, ak odpoveď sústavy na obmedzený vstupný signál je tiež obmedzená. (Okrem tejto charakteristiky existuje iné ponímanie termínu stability.)

Sústava je **ČASOVÖ INVARIANTNÁ (STACIONÁRNA)**, ak jej parametre nie sú funkciami času. T.j. ak vstupnému signálu sústavy, ktorý bude posunutý v čase, bude zodpovedať odpoveď sústavy tak, že platí.

$$y(t) = H[x(t)] \Rightarrow y(t + \tau) = H[x(t + \tau)] \quad (2)$$

Hovoríme, že sústava je homogénna pre ľubovoľný vstupný signál  $x(t)$  a ľubovoľnú konštantu  $a$ , ak platí:

$$H[a \cdot x(t)] = a \cdot H[x(t)] \quad (3)$$

Hovoríme, že sústava je aditívna, ak odpoveď sústavy na vstupný signál

$$x(t) = x_1(t) + x_2(t) \quad (4)$$

je rovná sume odpovedí sústavy na signály  $x_1(t)$  a  $x_2(t)$ , t.j.

$$H[x_1(t) + x_2(t)] = H[x_1(t)] + H[x_2(t)] \quad (5)$$

### LINEARITA SÚSTAV:

a) Hovoríme, že sústava je lineárna, ak je homogénna a aditívna.

b) Hovoríme, že sústava je lineárna, ak vyhovuje princípu superpozície, t.j. ak pre ľubovoľné konštanty  $a_1$  a  $a_2$  a ľubovoľné vstupné signály  $x_1(t)$  a  $x_2(t)$  platí:

$$H[a_1 \cdot x_1(t) + a_2 \cdot x_2(t)] = a_1 \cdot H[x_1(t)] + a_2 \cdot H[x_2(t)] \quad (6)$$

Sústava, ktorá nie je lineárna, je nelineárna.

Poznámka: V rámci nášho kurzu sa budeme zaoberať len sústavami, ktoré sú lineárne, spojité, kauzálné, stabilné a časovo invariantné. Ich prvky budú reprezentované elektronickými prvkami, ktorých prehľad v ďalšom uvedieme. Takéto sústavy budeme nazývať lineárnymi analógovými obvodmi. Matematicky možno takéto sústavy opísť pomocou LINEÁRNEJ DIFERENCIÁLNEJ ROVNICE S KONŠANTNÝMI KOEFICIENTAMI, ktorej všeobecná forma je daná vzťahom

$$b_r \frac{d^r y(t)}{dt^r} + b_{r-1} \frac{d^{r-1} y(t)}{dt^{r-1}} + \dots + b_1 \frac{dy(t)}{dt} + b_0 \cdot y(t) = a_m \frac{d^m x(t)}{dt^m} + a_{m-1} \frac{d^{m-1} x(t)}{dt^{m-1}} + \dots + a_1 \frac{dx(t)}{dt} + a_0 \cdot x(t) \quad (7)$$

kde  $y(t)$  je odpoveď lineárnej sústavy

$x(t)$  je vstupný signál sústavy

$a_i$ ,  $a_j$  sú konštantné koeficienty ( $i = 0, 1, \dots, r$ ,  $j = 0, 1, \dots, m$ )

## 1. ZÁKLADNÉ POJMY A PRVKY ELEKTRONICKÝCH OBVODOV

### 1.1 ZÁKLADNÉ POJMY

V rámci predmetu LAO sa budeme zaoberať analýzou a syntézou lineárnych a linearizovaných obvodov. Úlohou analýzy je vyšetrovanie vlastností sústavy, ak poznáme štruktúru a parametre analyzovanej sústavy. Pri syntéze hľadáme štruktúru a hodnoty parametrov sústavy tak, aby sústava mala požadované vlastnosti. Úloha analýzy má obyčajne jediné riešenie. Na rozdiel od toho je úloha syntézy vo všeobecnosti zložitejšia, pričom obyčajne má niekoľko rôznych riešení. Niektoré z týchto riešení môže byť podľa určitého kritéria optimálne. Sústavy, ktorých analýzou a syntézou sa zaoberáme v rámci teórie obvodov, sú elektrické obvody. Elektrickým obvodom nazývame priestorovo ohraničenú sústavu navzájom prepojených prvkov, v ktorej možno elektromagnetické deje (procesy) popísať dostatočne presne pomocou prúdov a napäti. Sústava zložená zo skutočných, reálnych prvkov predstavuje obyčajne určité zariadenie (alebo jeho časť). Takúto sústavu zobrazujeme

pomocou schematických značiek reálnych prvkov v tvare prehľadného obrazca, ktorý nazývame schémou zapojenia.

Každý reálny prvak (súčiastku) môžeme v danej pracovnej oblasti nahradíť modelom, zloženým z jedného alebo z niekoľkých ideálnych obvodových prvkov rôzneho charakteru. Takýto model sa tiež nazýva ekvivalentným alebo náhradným obvodom.

Vlastnosti prvkov elektrických obvodov sú opísané ich charakteristikami. Pod pojmom charakteristika elektrického obvodu chápeme závislosť jednej veličiny od inej veličiny, ktorá je pre prvak alebo objekt charakteristická. Charakteristiky reálnych prvkov sú obyčajne závislé od charakteru pôsobiaceho signálu. Fyzikálne modely reálnych súčiastok sa obyčajne skladajú, pozostávajú z niekoľkých elementárnych obvodových prvkov, ktoré sa vyznačujú tým, že ich dynamické vlastnosti možno popísať jednoduchými vzťahmi. Tieto elementárne obvodové prvy sa nazývajú ideálne obvodové prvy. Javy vo fyzikálnych modeloch opisujeme matematickým modelom, tj. sústavou rovníc, v ktorej elektrické veličiny (prúdy, napäcia, náboj...) sú premenné, kým časovo nepremenné parametre linearizovaných prvkov sú konštanty.

Súčiastky zobrazujeme v schéme zapojenia dohodnutými, normovanými schematickými značkami. Na zobrazenie ideálnych obvodových prvkov v modelových schémach používame tiež dohodnuté schematické značky. Pre niektoré ideálne obvodové prvy používame rovnaké schematické značky ako pre zodpovedajúce súčiastky. Niektoré schematické značky boli vytvorené len pre teóriu obvodov.

## 1.2 OBVODOVÉ PRVKY

Obvodové prvy možno rozdeliť podľa rôznych hľadísk, a to najmä:

- podľa počtu vývodov - dvojpóly, trojpóly, štvorpóly, ..., n-póly
- podľa energetickej bilancie - aktívne, pasívne
- podľa tvaru charakteristiky - lineárne, nelineárne

V ďalšom sa budeme zaoberať len ideálnymi obvodovými prvkami.

### 1.2.1 DVOJPÓLY

Najjednoduchšími obvodovými prvkami sú dvojpóly, ktoré je možné spojiť s inými prvkami len dvoma vývodmi (svorkami, pólmí). Dvojpóly sa ďalej spravidla rozdeľujú:

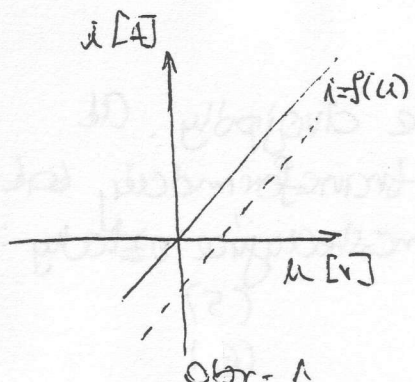
- podľa zložitosti - elementárne, zložené
- podľa časovej závislosti parametrov - s konštantnými parametrami, s časovo premennými parametrami
- podľa možnosti riadenia ich vlastností - riadené, neriadené

#### 1.2.1.1 NERIADENÉ DVOJPÓLY

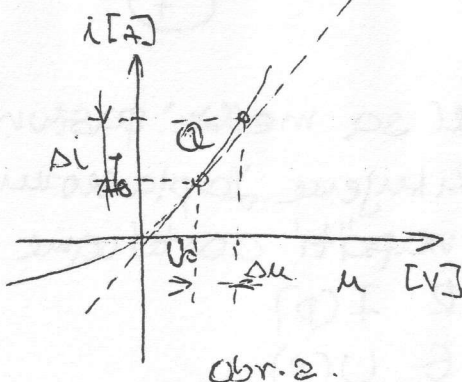
Medzi elementárne neriadené dvojpóly patria:

- rezistory (odpor)
- induktory (cievka)
- kapacitory (kondenzátor)
- zdroje (prúdu, napäťia)

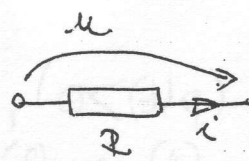
(3)



Obr. 1.



Obr. 2.



$$i = f(u), \quad u = \varphi(i)$$

Obr. 3.

Ideálny rezistor je charakterizovaný buď závislosťou prúdu na napäti t.j.  $i = f(u)$  (ampérová charakteristika) alebo inverzne závislosťou  $u = \varphi(i)$  (voltampérová charakteristika). Ak má ideálny rezistor priamkovú charakteristiku, nazývame ho **lineárny rezistor**. Rezistor s neLineárnom charakteristikou je nazývaný **neLineárny rezistor**.

Lišeniu ampermovtoru (voltampetrovi) charakteristiky možno vypočať pomocou priamy, ktorá prechádza počiatkom súvisejúcich dvoch bodov:

$$u = R i \quad ; \quad R \quad [\Omega] \quad (1)$$

resp.

$$i = \frac{u}{R} \quad ; \quad R \quad [\Omega] \quad (2)$$

tak parameter  $R$  je, ktorý nazývame **Odpor** (činný odpor) a  $\frac{1}{R}$  je parameter, ktorý sa nazýva **voľnosť**. Podľa vzťahu (1) a (2) je prúd (môže byť) priamo merný (napäťom (prúdu), čo je využitím Ohmovoho zákona).

Na hodnotu vlastností rezistora je to, že sa v ňom mení elektrická energia A na teplo:

$$A(t) = \int_{t_1}^{t_2} u(t) i(t) dt = \int_{t_1}^{t_2} R(t) i^2(t) dt \quad (3)$$

Drežíme  $i^2(t) > 0$  je energia, ktorá sa za určité aktuálne časy  $t_1$  a  $t_2$  vysvetlí, že hradí (pre  $R > 0$ )!

Okamžitej výkone pri spotrebnej orientácii šípot smerujúci smerom prúdu a napäti je daný vzťahom

$$P(t) = u(t) i(t) = R i^2(t) \quad (4)$$

Vzťah (4) sa nazýva tiež energetická funkcia, zodpovedajúca rezistoru R. Praktické využitie: existuje viacero aplikácií.

(4)

len straca ( $p(t) > 0$ ), radi sa medzi pastvou dvojpolly. Ak na vztahy (1) a (2) aplikujeme Laplaceovu transformáciu, tiež medzi obrazmi prúdu a napäti dostávame nasledujúce vztahy:

$$U(p) = R \ I(p) \quad (5)$$

$$I(p) = G \ U(p) \quad (6)$$

kde:

$$\begin{aligned} U(p) &\triangleq \mathcal{L}\{u(t)\} \\ I(p) &\triangleq \mathcal{L}\{i(t)\} \end{aligned}$$

Operator  $p$  je no všeobecnosti komplexného čísla (názvom sú tiež komplexný kmitočok)

$$p = \sigma + j\omega \quad (7)$$

z uvedeného dana, pri harmonickom budeť je

$$j\omega = 0 \quad (8)$$

takže rovnice (5) resp. (6) prejedú na vztahy medzi komplexnými amplitúdami

$$U(j\omega) = R \ I(j\omega) \quad (9)$$

$$I(j\omega) = G \ U(j\omega) \quad (10)$$

ktoré  $u(t) = U \cos(\omega t + \varphi) = Re \{ U e^{j\omega t} e^{j\varphi} \}$ , nazívame elektrickú  $U = Ue^{j\varphi}$  komplexnou amplitúdou (fázom).

Veľkosťná  $A - V$  charakteristika ideálneho rezistora (obr. 2) je napr. uvedená na obr. 2. Je obr. je vidieť, že odpor neli međim ňoho rezistora pre jednosmerné napätie je závislý na prímenom napäti, pričom ide o tzv. statický / jednosmerný odpor definovaný vztahom

$$R(U_0) = U_0 / I_0 \quad (11)$$

Funkcia  $I = f(u)$  môžeme rozvíjať v okoli kružnickeho bodu (náprta)  $u_0 = (U_0, I_0)$  do Taylorovho radu takto:

$$I = f(U_0) + \frac{1}{1!} \left[ \frac{\partial f(u)}{\partial u} \right]_{u=u_0} \Delta u + \frac{1}{2!} \left[ \frac{\partial^2 f(u)}{\partial u^2} \right]_{u=u_0} \Delta u^2 + \dots \quad (12)$$

Tak  $\Delta u$  je odchyľka napäťia, definovaná vztahom

$$\Delta u = u - U_0 \quad (13)$$

je male hodnoty  $\Delta u$ , resp. pre male hodnoty  $f'(u)$ ,

(P)

Zámoží vztah ( $\Rightarrow$ ) approximovat s dostatočnou presnosťou použitím  
ko prvej dvoch členov tečky:

$$x = f(u_0) + f'(u_0) \Delta u \quad (14)$$

Základom tejto approximácie nahradíme A-V charakteristikou v okoli  
zadaného bodu (pracovného bodu priamky). Ak teraz posúmeme  
radiel osi do bodu  $Q$ , možime prvej pre malé napäťia linearizovať,  
nahradit ho lineárnym rezistorom a učasťou

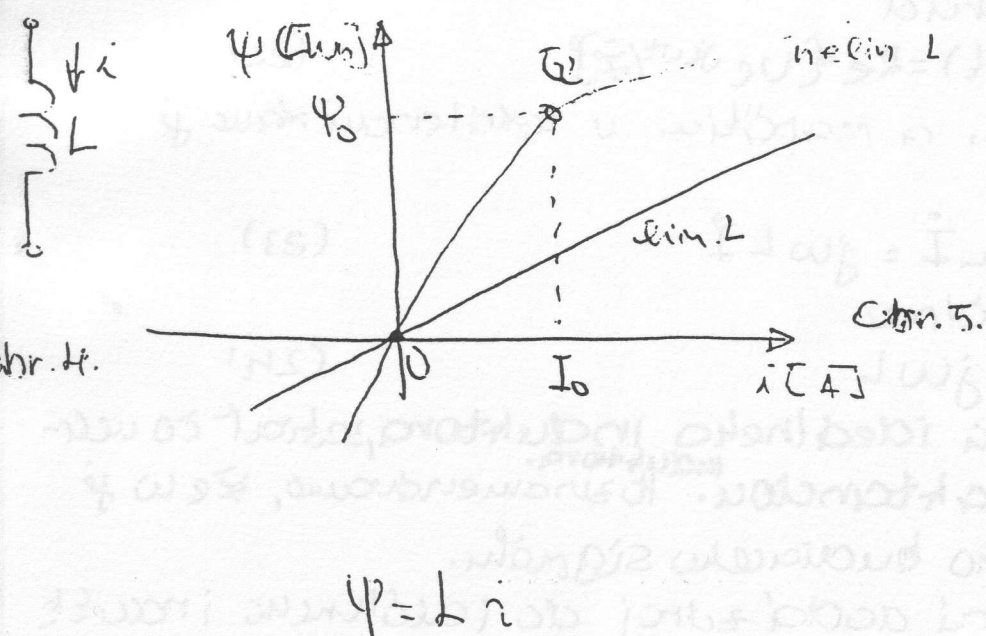
$$G_d = [df(u)/du]_{u=u_0} = \frac{du}{du}_{u=u_0} \quad (15)$$

čímu  $G_d$  nazývame differenciálnou (dynamickou) vodičou. Jej prevrátenú charakteriku

$$\bar{R}_d = 1/G_d \quad (16)$$

nazýva differenciálnym (dynamickým) odporom. Poznáme  
že malým napäťom rozumieme také napätie  $\Delta u$ , ktoré je  
v súlade s charakteristikou A-V. Líši sa dotyčnicou  
v hľadanej pracovnej bodke  $Q$  len veľmi málo.

Ideálny induktor je charakterizovaný závislosťou medzi pridom  
a správanej (lineárnej) magnetickou hmotou  $\psi(t)$ ,  
alebo amperovej sile (A-V) charakteristikou  $x = f(\psi)$ , alebo  
amperovej charakteristikou  $\psi = f(i)$ . Schematické znázoru  
číname (i reálneho) induktoru, aby aj W-A charakteristiky  
vzívame: o prekámečkomu induktoru si myslíme na obr. 4-5



charakteristika

ideálneho lineárneho  
induktora možno  
analyticky opísť  
následujúcimi pravidlami:  
1. induktor je par-  
alelne súčasnej  
súčasnej súčasnej  
tečky:

$$(17)$$

(9)

tie parametre & jí hodnota, ktorá sa nazýva **induktivnosť**. Veličinou induktora je možné pre malé zmeny prúdu v obvode ktorého prekresnenho bodu klasifikovať, zavedením **diferenciálnej (dynamickej) induktivnosti**

$$d\omega = \frac{d\psi}{dt} \Big|_{i=I_0} \quad (17)$$

Model súvisiaci pre menšiu kapacitu už) na induktore a prúdu:

(1) tečucomu induktoru platia nasledujúce vzťahy:

$$u(t) = \frac{d\psi}{dt} = L \frac{di}{dt} \quad (18)$$

$$i(t) = \frac{1}{L} \int u(t) dt + i(0) \quad (19)$$

cie  $i(\phi)$  je okamžitá hodnota prúdu v časovom oknehočku  $t$  v tiež počiatoku hodnoty prúdu). Keďže (18) a (19) môžeme vyjádriť v operátorskej forme takto:

$$U(p) = pL I(p) - L i(0) \quad (20)$$

$$I(p) = \frac{1}{pL} U(p) + \frac{i(0)}{p} \quad (21)$$

v harmonickom období (napr.  $u(t) = U_{\text{max}}(\sin(\omega t + \varphi))$ ) prechádzajú reálnym induktormu prúd

$$i(t) = \operatorname{Re}\{U e^{j\omega t}\} \quad (22)$$

treba si uviesť, že prúd  $i$  a napätie  $u$  vystihujú iba jedno fázem odancu výkonu

$$U = \sum i = jX_L I = j\omega L I \quad (23)$$

ale komplexnej veličinei

$$i = jX_L = j\omega L \quad (24)$$

ozývame **impedanciou** ideálneho induktora, zatiaľ čo veličinu  $X_L$  ozývame **reaktanciou**. Používame však, že  $\omega$  je frekvencia harmonického buďaceho signálu.

Pre energiu  $A$ , ktorú akadí zdroj do ideálneho induktora v čase  $t_1$  do začiatku:

$$A = \int_{t_1}^t u(t) i(t) dt = \int_{t_1}^t L \frac{di(t)}{dt} i(t) dt = \int_{t_1}^t i(t) \frac{d(Li(t))}{dt} dt$$

(10)

integrace per partes:

$$\int i'(t) i(t) dt = i(t) i(t) - \int i(t) i'(t) dt \Rightarrow i^2(t) = 2 \int i(t) i'(t) dt$$

stejným případě:

$$A = \frac{L}{2} \left[ i^2(t) \right]_{t_1}^{t_2} = \frac{L}{2} [i^2(t_2) - i^2(t_1)] \quad (25)$$

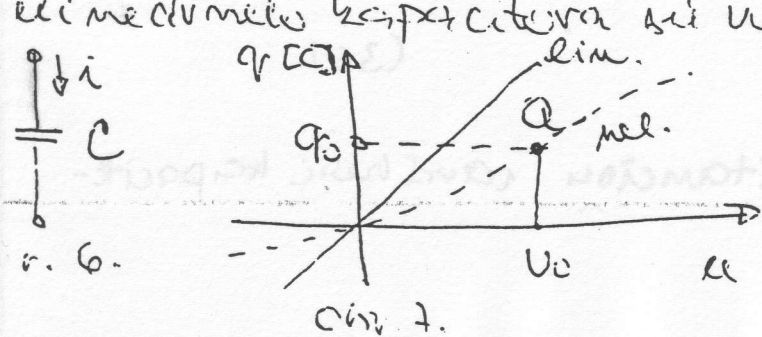
(25)

z vztahu (25) vidíme, že energie uskladněna ab první, může být  
uvedena, alebo záporná. Pokud je  $i_1 = 0$ , taktéž energie je zdro-  
zem Hadra. t.j.

$$A(t) = T(t) = \frac{1}{2} L i^2(t) \quad (26)$$

inteli  $T(t)$  nazývame energetickou funkciou. Předpokládejme  $T(t) > 0$   
 $\Rightarrow 0$ , než me i ideální induktivní mezi prameny dvojpolohy. Ideální  
induktor akumuluje elektromagnetické energie v pevné polohě.  
připomíkáme i ideální induktivní pole, které existuje  
v prostoru, v kterém se cívka nachází. Tu pojmenujeme  
magnetickou mediu realizovat tím, že má pouze  
vlastnost, že nejdříji působí teleskopickou a následně transf.  
intenzitou během (tj. gyrotora). Tato akce byla diskutována  
stejně.

Ideální kapacitor je charakterizovaný záležitostí mezi kapacitou  
elektrických matic, naší, t.j. hladký vnitřek s elektrickou charakte-  
ristikou  $U = f(Q)$  nebo Coulombovou charakteristikou  
 $f = f(U)$ . Schematická znacka ideálního a reálného kapacitora  
uvedena je obr. 6. C-ka charakteristiky lineárního a  
ne-lineárního kapacitoru jsou uvedeny na obr. 7. Charakteristi-  
ky lineárního kapacitora



možno opisat popisován-  
ím přímky procházející  
souřaditou v řadě  
systém:

$$y = C u \quad (27)$$

je parameter  $C$  označuje kapacitu tehnologie. Aleží spolu s  
schvábenou lineárizaciou, možno nahradit ne-lineárny kapacitor  
lineárnym, ktorého kapacita je diferenciálna / dynamická, ak je  
zložkom

$$C_d = \frac{dC}{du} \Big|_{u=0} \quad (28)$$

Takže melkej časovej premennej príkladu je a napäťom máloj časovej  
priprave ideálneho kapacitora fyzicky využívame:

$$i(t) = C \frac{du(t)}{dt} \quad (29)$$

resp.

$$u(t) = \frac{1}{C} \int_0^t i(t') dt' + u(0) \quad (30)$$

Je  $u(0)$  je okamžitejšia napäť na časovom čamku  $t=0$ .  
Preto rozložíme vzťahovanie (29) a (30) je potom

$$I(t) = p C U(t) - C u(0) \quad (31)$$

resp.

$$U(t) = \frac{I(t)}{pC} + \frac{u(0)}{p} \quad (32)$$

Videli sme že amplitúdnou príkonu a frekvenciu v uzávere  
sme pri hľadanej hodnote  $\tilde{U}$  pre ideálny kapacitor  
má byť možné vypočítať:

$$\tilde{I} = \tilde{Y} \tilde{U} = \frac{1}{j\omega C} \tilde{U} = jX_C \tilde{U} = j\omega C \tilde{U} \quad (33)$$

$$\tilde{U} = \sum \tilde{I} = \frac{1}{j\omega C} \tilde{I} = \frac{1}{j\omega C} \tilde{I} \quad (34)$$

$\Rightarrow (34)$  danej vztahom

$$\tilde{Z} = 1/j\omega C \quad (35)$$

$$\tilde{Y} = j\omega C \quad (36)$$

nezávisia Impedancia / admittanceu reaktívni kapacite-

z

Energia, ktorá ušupí do ideálneho kapacitora v časovom intervale

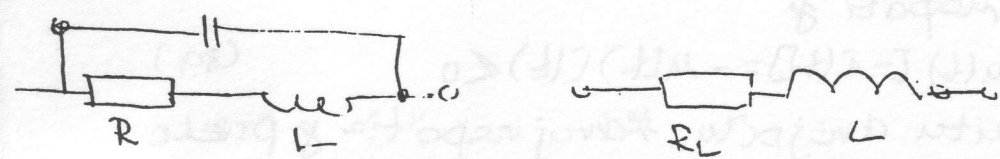
$$t_1 \text{ do } t_2 \quad A = \int_{t_1}^{t_2} U(t) I(t) dt = \int_{t_1}^{t_2} C \frac{dU(t)}{dt} U(t) dt = \frac{C}{2} (U_2^2 - U_1^2) \quad (34)$$

vzťah (34) nazývame energiu elektrickú de potu, môže byť kladná alebo záporná. Ak  $U_1 = 0$ , tak pre skomžitú hodnotu energie  $A(t)$  má:

$$A(t) = E(t) = \frac{1}{2} C U^2(t) > 0 \quad (35)$$

čo funkcia  $E(t)$  je tiež energetickou funkciou. Vzhľadom na herov, použitie to vzťahu (35) zavedieme ideálne kapacity medzi súčasné akcepty. Ideálny kapacitor akumuluje elektrickú energiu vobe elektrickej sile.

V predchádzajúcich očiskach sme sa zaoberali problematikou ideálneho rezistora, induktora a kapacitora. Stredom/realny rezistor, induktor a kapacitor, sú v prvej približenej reprezentácii ideálnym rezistrom, induktorm a kapacitorm. Niektoré pramejštejšky ho pravu, respeltejši i o tlač prekážke vlastnosti (napríklad, že u činností súčasnej proti sú vyznačené na obr. 8-10. obstarajú miesty a sponomborom kombináciu dvoch základných ideálnych jpolov).

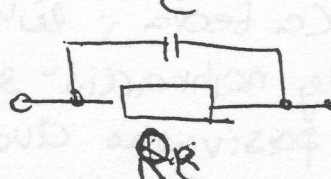


Obr. 8.

súčasť rezistivneho rezistora

Obr. 9

model realnej cievky

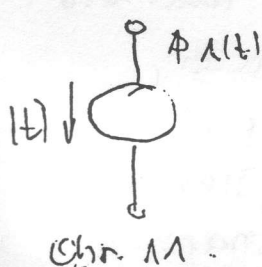


Obr. 10. Model reálnej kapiacitosti.

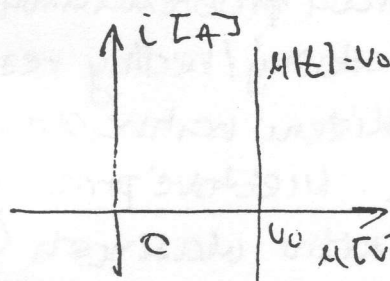
si dvojpôl, ktoré

(13)

Zdroje elektromagnetické energie sú schopné dodávať trvale energiu zdroju (systém obvodov) a práca preto medzi aktívne a deaktivované. Ideálny zdroj napäťia môže mať najväčšejší prierevný prúd, ktoré však nezávisí na prúde akcelerácie zdroja, ale na vlastnostiach obvodov, alebo na prúde, ktorý nim preteká. Ideál zdroj napäťia má teda nulovú univerzálneho odporu alebo netomené velké univerzálne výkony. Ideálny zdroj prúdu je dvojpôl, ktorého prúd nezávisí na napäťí, ktoré sa objaví na jeho smeritadle, t.j. tento zdroj má netomené veľké univerzálne odporu resp. nulovú univerzálne výkony. Schematické znázornenie obidvoch ideálnych zdrojov a ich A-V charakteristiky sú znázormené na obr. 11-14.

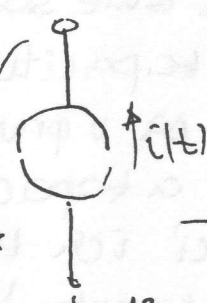


Obr. 11

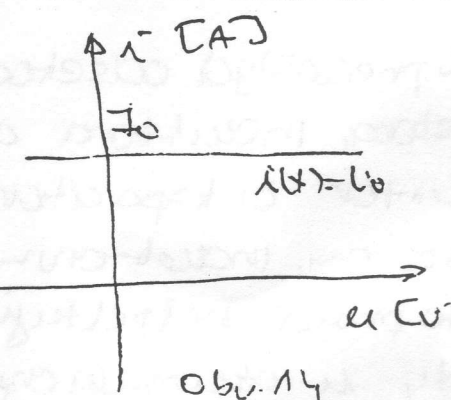


Obr. 12

A(t)



Obr. 13



Obr. 14

(39)

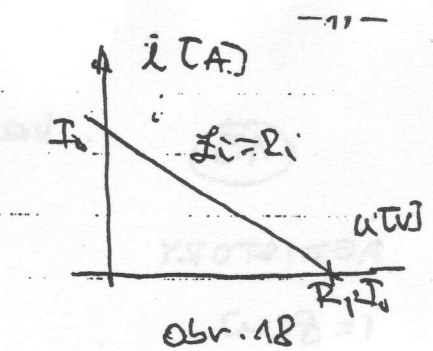
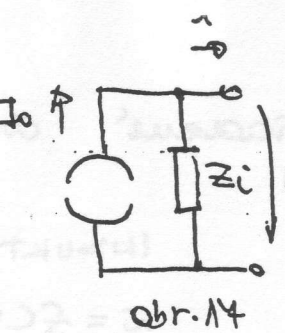
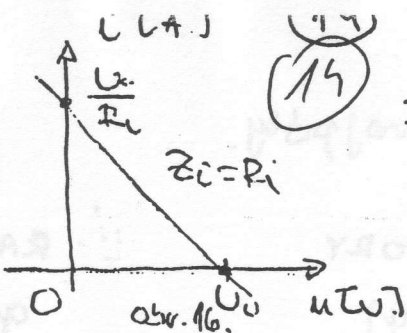
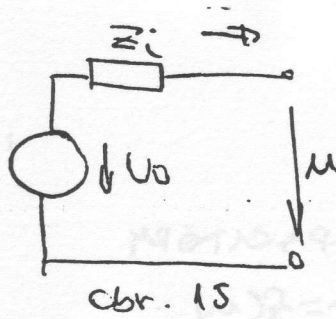
Istotný prúd  $i(t)$  je vlastnosťou sústavy využívajúcej zdroj napäťia ri označené smerom napäťia a prúdu tu považujeme tiež zdrojom orientáciu. Prúd i tie má opačný smer, ako aj to naspotrebičom orientáciu. Okamžitej miestom jediného zdroja napäťi pri naspotrebiči je orientácia prúdu a napäťi je

$$p(t) = u(t) [-i(t)] = -u(t)i(t) \leq 0$$

a charakterizuje aktívitu dvojpôla. Ktoruj napäťiu je preto **aktívny dvojpôl**. Podobne aktívny miestom sú všetky pre sledujúce aktívne miesta.

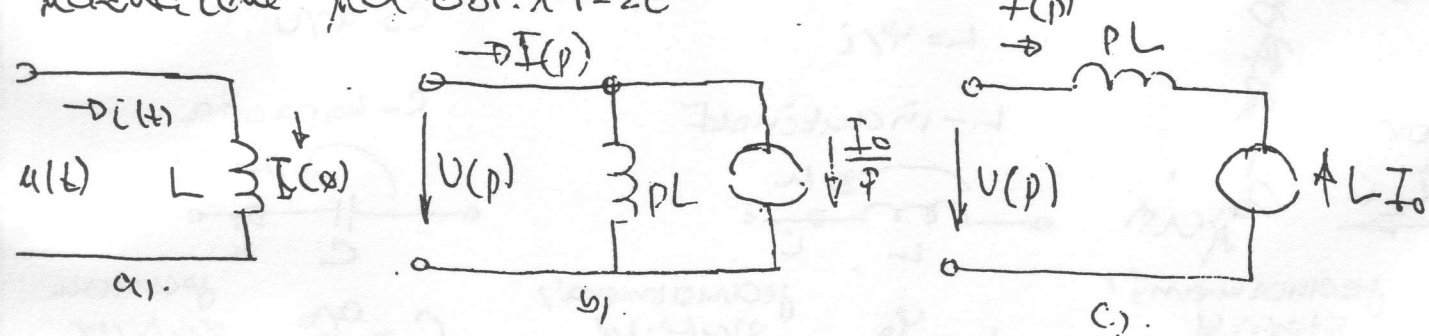
**ROBUSTNÝ**

**Sledujúci zdroj napäťia** (a teda v ktorom sú aktívny dvojpôl) súne podľa funkčnosti všetky nahraditeľné súčinnostami aktívneho zdroja napäťia a pasívneho dvojpôla. (Obr. 15-16), a tvarom **sledujúci zdroj prúdu** (príkladu ktorom sú všetky paralelné kombinácie jediného zdroja prúdu (príkladu ktorom sú všetky paralelné kombinácie jediného zdroja prúdu a pasívneho dvojpôla) (Obr. 17-18))

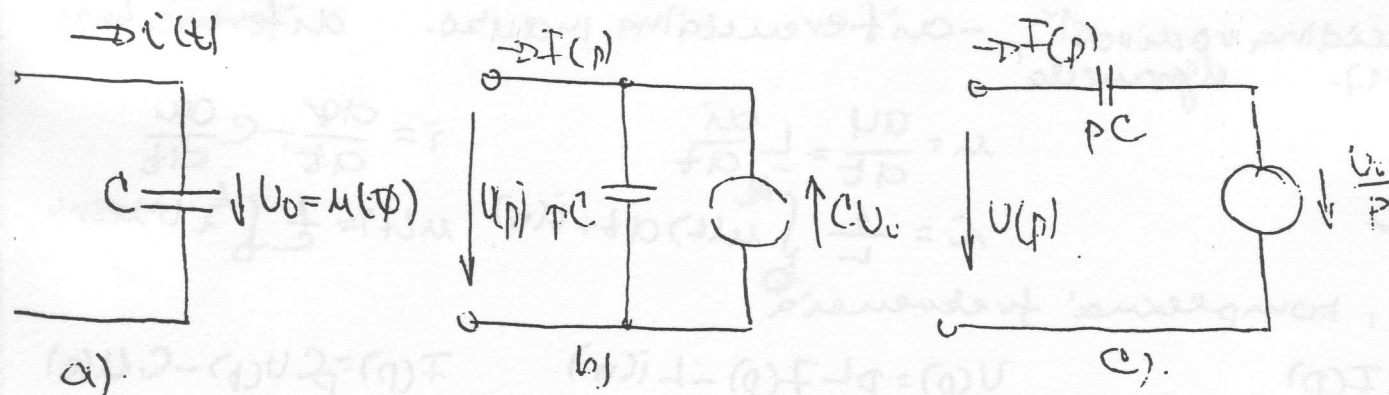


Symbol  $\dot{Z}_i$  predstavuje v oboch prípadoch t. z. vnútornú impedanciu zdroja (vo všeobecnosti je vystopma' impedancia aktívneho dvojpolu). Oba vnútorné zdroje sú využívané ekvivalentne, ak ich vnútorná impedancia je rovnaká a ak platí  $U_0 = \dot{Z}_i I_0$ .  
Sledujúce A-V charakteristiky sú naznačené na obr. 16 a 18.

Pomocou ľahkých zárujov možno modelovať vlastnosti teda hydromechanických prúrov s neustáloum pečiatkovým hodnotami pri riadiacim napäti. Tieto prúzitie ľahkých zárujov prúrov a napäti mechanického sú na obr. 19-20.



Obr. 19. Ideálny inductivek s neustálym pečiatkovým prúdom.  
a) Schématická značka, b) a c) ekvivalentné obvody v Laplaceovej transformácii.



Obr. 20. Ideálny kondenzátor s neustáloum pečiatkovým napäťom. a) Schématická značka, b) a c) ekvivalentné obvody v Laplaceovej transformácii:



$$I(t) = \int_{t_1}^{t_2} u(t) i(t) dt = \int_{t_1}^{t_2} R^2(t) dt$$

$$i(t) = R^2(t) \geq 0;$$

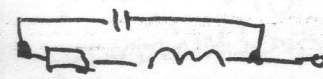
activity prav

- kreativ

- <0 - záporný

- aktívny!

(t), T(t), V(t) - energieložné funkcie



line prav

$$\begin{aligned} A(t) &= \int_{t_1}^{t_2} u(t) i(t) dt \\ &\downarrow \\ &= \int_{t_1}^{t_2} L \frac{di}{dt} i(t) dt \\ &= \frac{1}{2} L (i(t_2) - i(t_1)) \end{aligned}$$

$$i(t_1) = 0$$

$$T(t) = \frac{1}{2} L i^2(t) \geq 0$$

- pozitívne kvality

- zmena formy energie

$$\begin{aligned} A(t) &= \int_{t_1}^{t_2} u(t) v(t) dt \\ &= \int_{t_1}^{t_2} u(t) C \frac{dv}{dt} dt \\ &= \frac{1}{2} C (v(t_2) - v(t_1))^2 \end{aligned}$$

$$v(t_1) = 0$$

$$V(t) = \frac{1}{2} C v^2(t) \geq 0$$

- negatívne kvality

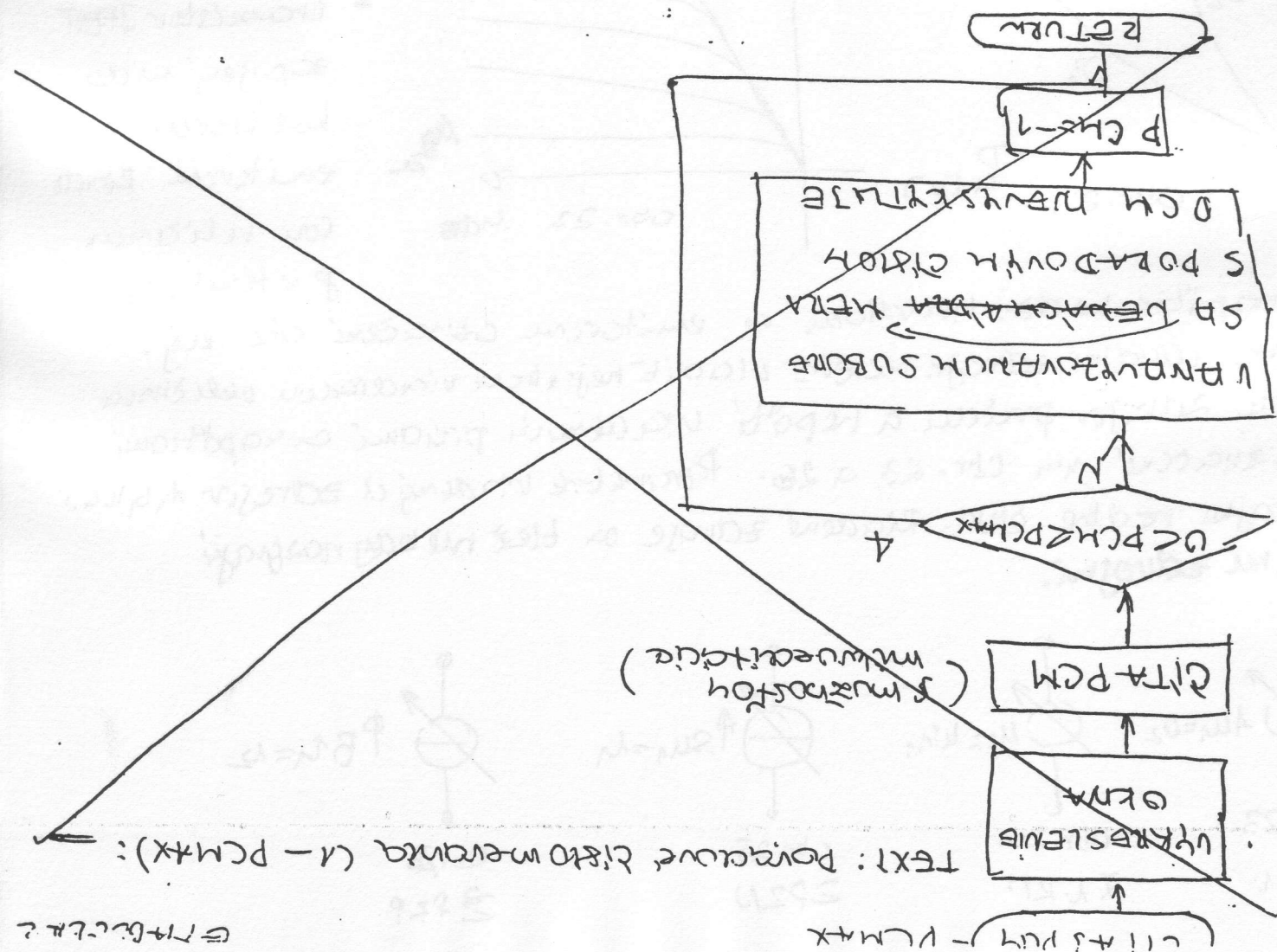
- zmena formy energie



- syntetický prav.

akumulačný prav

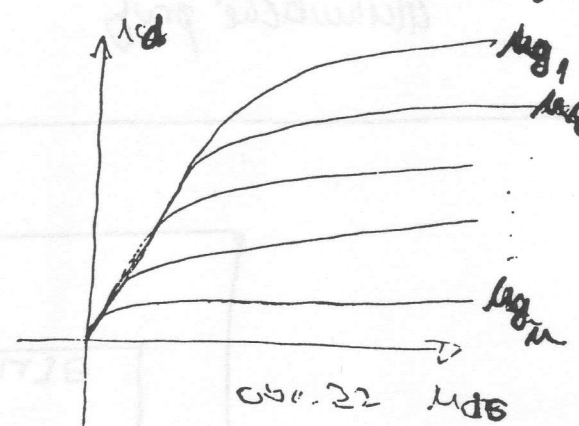
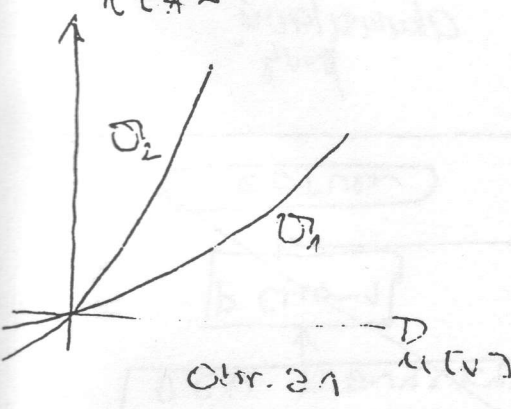
akumulačný  
prav



## 1.2.1.2. Riadenie dvojpôl.

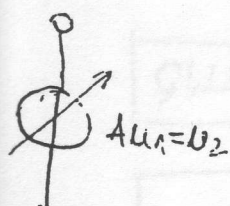
Parametre základných dvojpôlov možno riadiť (meniť, uvažovať), zmenou tiež riadiacich veličín, ktorou môže byť ľahšoučkajúca veličina, napr. teplota, tečky osvetlenia, atď., ale i napäťové alebo prudkostné hodnoty riadiacich dvojpôľ je charakterizovaný jedinou základnou charakteristikou, zobrazenou v rovine v tvare kružnice. Riadený dvojpôl charakterizovaný pôsobením v trojrozmernom priestore (časom a niektorou z hľadiska relíčim). Urvanie základnej relíčky ho charakterizujeme sústavou charakteristik pre výberenie hodnôt riadiacich veličín - vo všeobecnosti, môže byť dvojpôl riadený klasickou riadiacou veličinou. V tomto prípade je charakteristiky všetkých hodnôt pre danú teplotu  $T_1$ , a  $U_1$ . Inym príkladom

Obr. 21

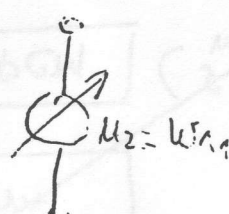


riadeného dvojpôla môže byť tranzistor JFET  
zpravidla medzi kollektorem a emitorom. Riadecou veličinou je v tomto prípade pri-

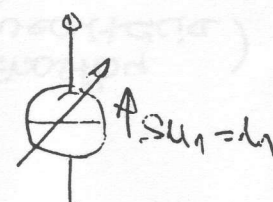
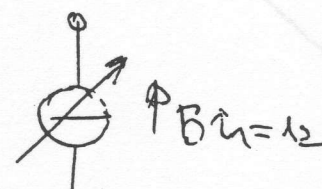
je napäťové hodnoty priemyslu a emitorovej obmedzejacej hodnote  $U_{BE}$ .  
Riadenie základných dvojpôlov je možné realizovať využitím viaceročnej hodnoty základnej hodnoty a nepôsobiacimi prudkimi hodnotami napäťového signálu na obr. 23 a 26. Pomerne riadený je základný typ, ktorý sa využíva v obvyklostiach ako riadenie základných dvojpôlov.



Obr. 23.

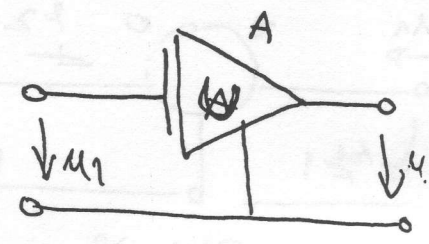
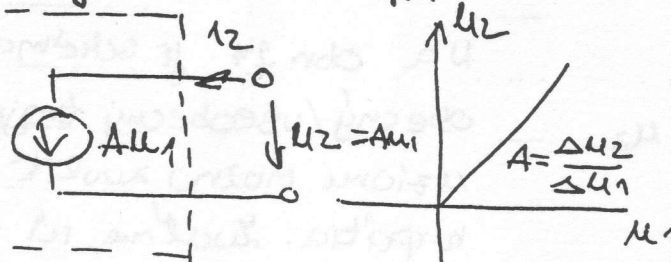
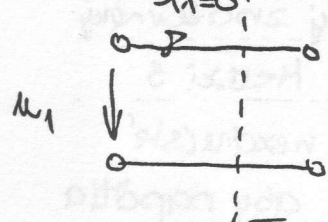


Obr. 24

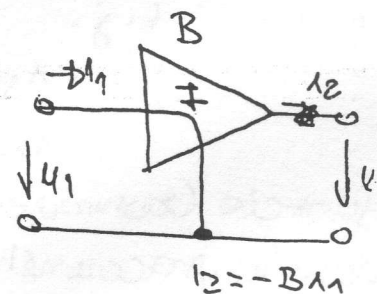
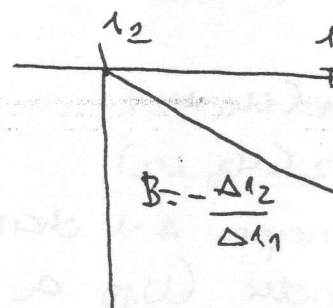
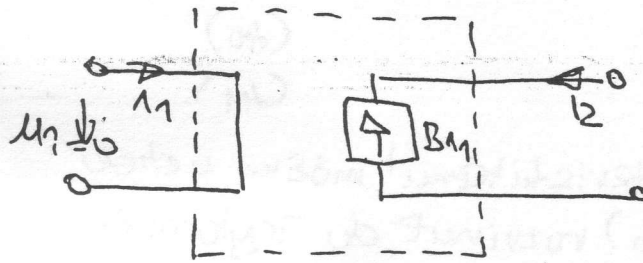
Obr. 25  
ZPZNObr. 26  
Z PZN

(10)

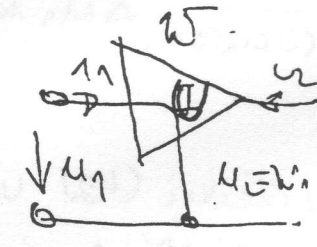
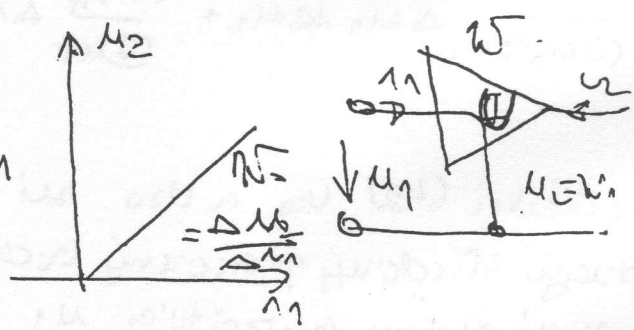
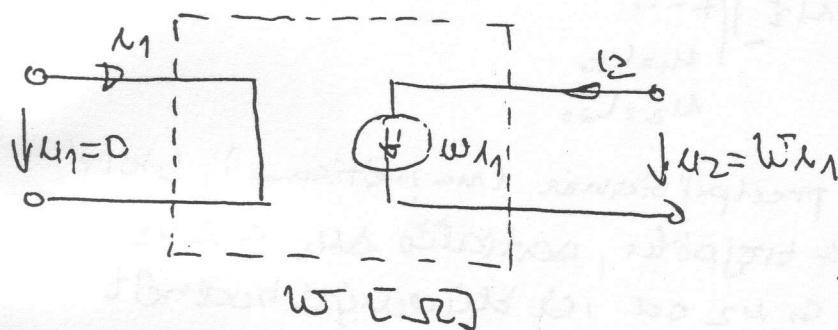
Předene' zdroje.

1. ZMRN = základny zdroj. Amplifik.

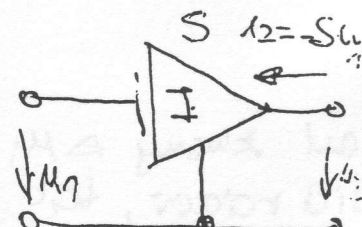
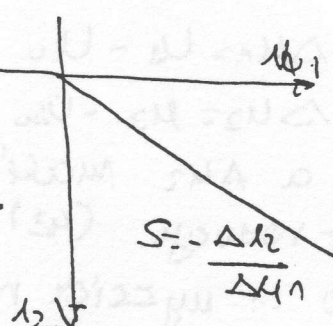
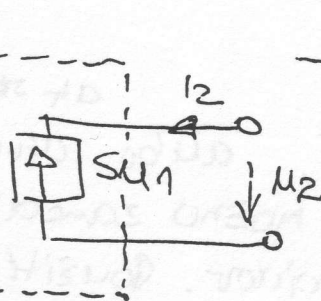
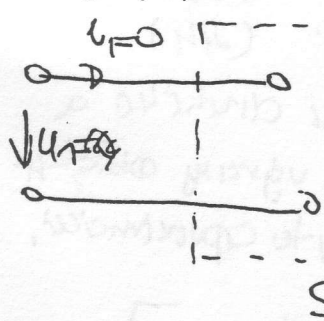
2. ZPRP

základny zdroj. pričin

3. ZNPP.

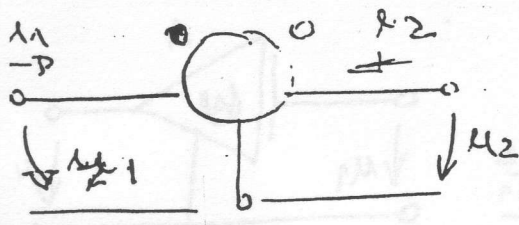


4. ZPRN



(19)

## 2. Trojpolý a monopóly. Linearizácia trojpôlov.



Obr. 27.

Na obr. 14. je schematický znázornený obecný/všeobecný trojpolý. Mezi 3 užiari možno získať dve nezávislé napäťia. Zvolme ich tak, aby napäťia  $(u_1, u_2)$  boli vzhľadom k ďalš. spoloč-  
súvode (spolučinné užiatky). Ak sú to napäťia vantajné zvlášť, tak trojpôdu ťaží prudky  $f_1$  a  $f_2$ . Oba prudky sú závislé na napäťiach  $u_1$  a  $u_2$ , t.j.

$$u_1 = f_1(u_1, u_2)$$

$$u_2 = f_2(u_1, u_2)$$

(40)

(41)

funkcie (zohľadnené napr. s vlastnosťami) môžu v oblasti doména pracovného bodu  $(u_{10} \text{ a } u_{20})$  rozvinúť do Taylorovho

$$\begin{aligned} u_1 &= f_1(u_{10}, u_{20}) + \left[ \frac{1}{1!} \frac{\partial f_1}{\partial u_1} \Delta u_1 + \frac{1}{1!} \frac{\partial f_1}{\partial u_2} \Delta u_2 \right] + \frac{1}{2!} \left[ \frac{\partial^2 f_1}{\partial u_1^2} \Delta u_1^2 + \right. \\ &\quad \left. + \frac{\partial^2 f_1}{\partial u_1 \partial u_2} \Delta u_1 \Delta u_2 + \frac{\partial^2 f_1}{\partial u_2^2} \Delta u_2^2 \right] + \dots \end{aligned} \quad (42)$$

$u_1 = u_{10}$   
 $u_2 = u_{20}$

Udáva sa (42)  $u_{10}$  a  $u_{20}$  sú prenapäťia (neoptímum), ktoré záväzu kľudný pracovný bod trojpôdu, súčasťou  $\Delta u_1$  a  $\Delta u_2$  sú súčasťou súčinu napäťia  $u_1$  a  $u_2$  a ich kľudných hodnôt  $u_{10}$  a  $u_{20}$ , t.j.

$$\Delta u_1 = u_1 - u_{10}$$

(43)

$$\Delta u_2 = u_2 - u_{20}$$

až striedavo (44)

je ak zmeny  $\Delta u_1$  a  $\Delta u_2$  malé, alebo (vividciu druhého a ššicich rokov, teda v redukcii (42) možno zameňovať výrazne obidve, ale viedie druhého a myšlicich rokov. Použitím tejto approximácie, vtedy (42) doskôravame:

$$u_1 = u_1(u_{10}, u_{20}) + \Delta u_1 = f_1(u_{10}, u_{20}) + \left[ \frac{\partial f_1}{\partial u_1} u_{10} \Delta u_1 + \frac{\partial f_1}{\partial u_2} u_{20} \Delta u_2 \right] \quad (45)$$

ak chceme postupne násťame dve významné rôzne užiatky, potom je dobré písť tento vzorec:

$$u_1 = u_{10}$$

$$u_2 = u_{20}$$

(x)

$$i_2 = f_2(U_{10}, U_{20}) + \Delta i_2 = f_2(U_{10}, U_{20}) + \left[ \frac{\partial f_2}{\partial U_1} \Delta U_1 + \frac{\partial f_2}{\partial U_2} \Delta U_2 \right] : \quad (46)$$

$U_1 = U_{10}$   
 $U_2 = U_{20}$

Je budeme uvažovat pouze měny napětí a proudu od kladivého pravouhlého pravouhlého poloh (U<sub>10</sub>, U<sub>20</sub>), takže platí:

$$\begin{aligned}\Delta i_1 &= y_{11} \Delta U_1 + y_{12} \Delta U_2 \\ \Delta i_2 &= y_{21} \Delta U_1 + y_{22} \Delta U_2\end{aligned} \quad (47)$$

-de

$$y_{11} = \frac{\partial f_1}{\partial U_1} = \frac{\partial U_1}{\partial U_1}$$

$$y_{12} = \frac{\partial f_1}{\partial U_2} = \frac{\partial U_1}{\partial U_2}$$

$$y_{21} = \frac{\partial f_2}{\partial U_1} = \frac{\partial U_2}{\partial U_1}$$

$$y_{22} = \frac{\partial f_2}{\partial U_2} = \frac{\partial U_2}{\partial U_2} \quad (48)$$

ú diferenciálné parametry trojpolu, které mají rozměr jednotky. Budeme je nazývat admitančními parametry trojpolu. Zároveň diferenciálními parametry souměře trojpolu lze linearizovat, tedy zdeji proudu a napětí (zmenou) existují vůči výjednacím hodnotám lineární vztahy. Rovnice (44) mohou zapisat tímto užitkovější formou tiskem:

$$\underbrace{\begin{bmatrix} \Delta i_1 \\ \Delta i_2 \end{bmatrix}}_{\text{I}} = \underbrace{\begin{bmatrix} y_{11} & y_{12} \\ y_{21} & y_{22} \end{bmatrix}}_Y \underbrace{\begin{bmatrix} \Delta U_1 \\ \Delta U_2 \end{bmatrix}}_U \quad (49)$$

$$\text{I} = Y U \quad (50)$$

je I až uvedená střední matice proudu a napětí, zahrnující Y je orcová matice - admittance linearizovaného trojpolu. Poznámka: že trojpol je možno popsat tímto množstvem parametrů nezávislých na vnitřních parametrech. Tento ohledon se budeme zabývat, v příštějších kapitolách.

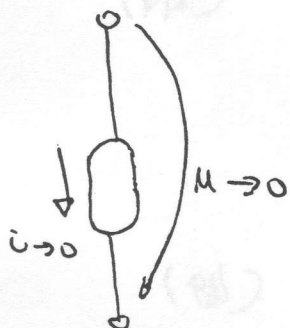
## 2.3. Nepravidelné obvodové pravy.

Regulárnost či nepravidelnost obvodových prav je možné posoudit jinak než jen hledáním. Většinou kritériem je tu možnost popisu obvodového pravidla pomocí některého typu parametrů (např. pulzníku

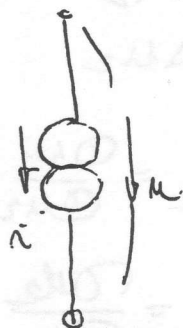
(27)

pri ďalšom uklade  
mitancích) (konečne, že bude vždy zdrobené, v tom spočinie  
eregulárnosť jehočiarych dvojpolových pravov).

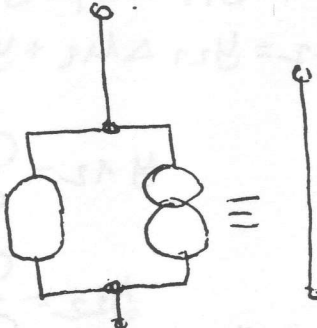
### 2.3.1. Nulátor a norátor.



Obr. 28.



Obr. 29.



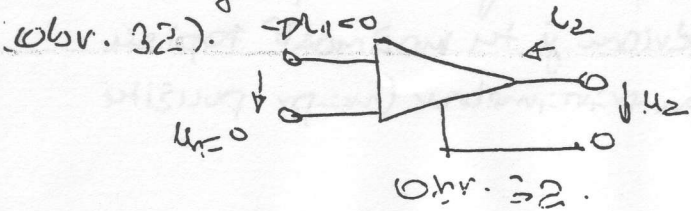
Obr. 30



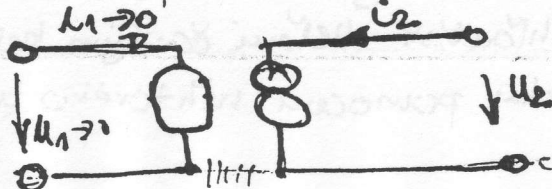
Obr. 31

Nulátor a norátor sú t.z. singulárne (degenerované, polosigricke, hypotetické) dvojpolové, ktoré boli zavedené za účelom zhodnudeľného modelovania vlastností aktívnych elektrických zdrojov.

**Nulátor** (Obr. 28) je dvojpol, ktorému nepotreba žiadny prívad ( $i=0$ ) a ma súvratky, ktorého je nulové napätie. **Norátor** (Obr. 29), naopak dvojpol, u ktorého napätie nezávisí na pretekajúcich súčide. Oba pravy sú nekedy nazývané spoločným menom **nulory**: ich definíciu je zrejmé, že v prípade tejto dvojpolov, nemôžeme súčasťovať o imitanciach (napr. u norátora sú vždy obidve súčasti napäťia a prúdu pri druhom viedomom výkonu), čo je čo urobí ma to, že tiež obvody sú využívané medzi singulárne obvody: Na obr. 30 a obr. 31 je ukázane, ako možno singulárny pári nulátor - norátor použiť na modelovanie aktívnej dvojpoloviny s vlastnosťami, ktoré sú skraty a metkomene už nej npeciame. Jedenoznačne singulárne dvojpolové nemôžme realizovať iba zmysel uvažovať všeobecne dvojice nulátor-norátor, ktoré reprezentuje model t.z. jedinej operacionálnej zosilňovacej.



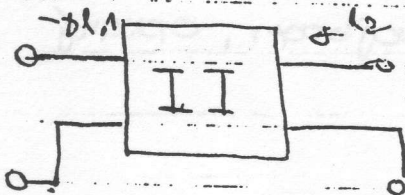
Obr. 32.



(22)

(transformace fáz, čáry).

## 1. 2. 3. 2. Imitačné invertové.



Imitačný invertor (obr. 33) je implementovaný dvojbran popisany kastodinovou rovnicami, ktoré sú vlastne maticový tvor (vzdelanie):

 $u_1 = \text{obr. 33}.$ 

$a_{12} \quad a_{21}$

$$\text{d: } \begin{bmatrix} u_1 \\ u_2 \end{bmatrix} = M \begin{bmatrix} 0 \\ u_2 \end{bmatrix}$$

$$\begin{bmatrix} u_1 \\ u_2 \end{bmatrix} = \begin{bmatrix} 0 & a_{12} \\ a_{21} & 0 \end{bmatrix} \begin{bmatrix} u_2 \\ -u_2 \end{bmatrix} \quad (51)$$

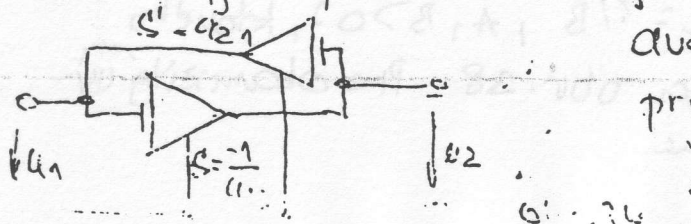
Regulačnosť tohto príručku spočíva v tom, že je možné opísat  
antiparalelný a paralelo-sériovými parametrami. Označky medzi  
časťami  $u_1$  a  $u_2$  pravidom  $t_2$  ( $u_1 \rightarrow u_2$ ) dane vzdelaním (51) neov-  
ficiu. Až prepojenie výkonajších obvodov k II. kastodinej matici  
použitej na vzdelanie (51) zodpovedajú tieto impedančné a ad-  
itívne matice:

$$Z = \begin{bmatrix} 0 & -a_{12} \\ \frac{1}{a_{21}} & 0 \end{bmatrix} \quad (52) \quad Y = \begin{bmatrix} 0 & a_{21} \\ -\frac{1}{a_{12}} & 0 \end{bmatrix} \quad (53)$$

Ke II. kastodinej na výstupnej brane dvojpóluu o impedancii  $Z_2$ ,  
kde pre jeho následom impedanciu platí:

$$Z_{\text{ust}} = \frac{u_1}{u_2} = \frac{a_{12}}{a_{21}} \frac{(t_2)}{u_2} = \frac{a_{12}}{a_{21}} \frac{1}{(-\frac{u_2}{a_{12}})} = \frac{a_{12}}{a_{21}} \frac{1}{Z_2} \quad (54)$$

Ozdele (54) je zrejmé, že výstupná impedancia je úmerná  
societnej / inverznej hodnote záťažovacej impedancie (odstiel  
ke imittance invertoru). Podľa základnej konštanty úmernosti  
 $a_{21}$  sa potom hovori bud o pozitívnom alebo negatív-  
nom imittance inverteore. Z imittancej matic (52) a (53)  
výsledkom je možnosť konštrukcie modelu imittancej invertoru.  
Obr. 34. je napr. naznačený model inverteoru II, obsahujúci



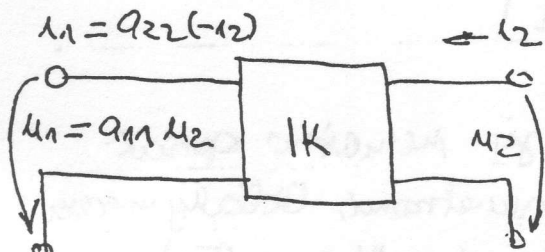
dve antiparalelné zapojenia zo dvoch zdrojov  
prúdu viedúceho násopstvo.

(23)

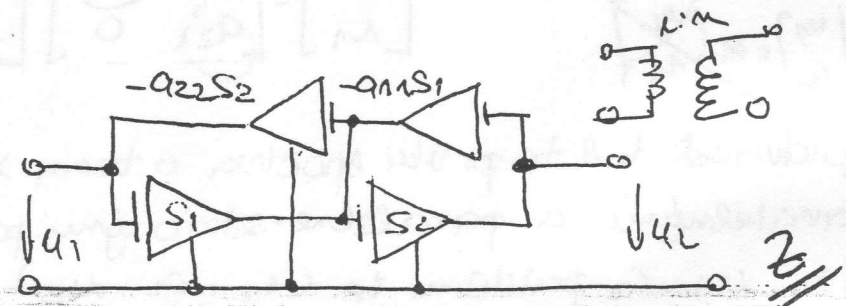
### 1.2.3.3. Odmitančné konvertovery.

Imitančný konvertor (obr. 36) je lineárny dvojibran, opisany rovniciami v tvare

$$\begin{bmatrix} u_1 \\ u_2 \end{bmatrix} = \begin{bmatrix} a_{11} & 0 \\ 0 & a_{22} \end{bmatrix} \begin{bmatrix} u_1 \\ -u_2 \end{bmatrix} \quad (60)$$



Obr. 36



Obr. 36

$$u_2 = a_{22} u_1$$

$$u_2 = -\frac{1}{a_{22}} u_1$$

Pretvorek kladivnej matice A vo vzhľade (60) je diagonálna, niesúci označenie IK popisujúceho impedančnými ani odmitančnými parametrami (prikladom matice neexistuje). Vzťahy medzi napäťami  $u_1$  a  $u_2$  i medzi prúdomi  $i_1$  a  $i_2$  sú dané matricou vedenicou (61) zodpovedajúcou súčinnému riadiaciemu pripojeniu (vzťah  $u_1 = a_{11} u_2$  a  $u_2 = a_{22}(-u_1)$ ). Matrica  $A$  je definovaná ako  $A = \begin{pmatrix} a_{11} & 0 \\ 0 & a_{22} \end{pmatrix}$ . Matrica  $A$  je diagonálna, niesúci označenie IK popisujúceho impedančnými parametrami (prikladom matice neexistuje). Vzťahy medzi napäťami  $u_1$  a  $u_2$  i medzi prúdomi  $i_1$  a  $i_2$  sú dané matricou vedenicou (61) zodpovedajúcou súčinnému riadiaciemu pripojeniu (vzťah  $u_1 = a_{11} u_2$  a  $u_2 = a_{22}(-u_1)$ ). Matrica  $A$  je definovaná ako  $A = \begin{pmatrix} a_{11} & 0 \\ 0 & a_{22} \end{pmatrix}$ .

$$\text{Zust} = \frac{u_1}{u_2} = \frac{a_{11}}{a_{22}} \left( \frac{u_2}{u_1} \right) = \frac{a_{11}}{a_{22}} \mathcal{Z}_2 \quad \boxed{\frac{u_1}{u_2}} \quad \boxed{\frac{u_2}{u_1} = \frac{1}{a_{22}}} \quad \boxed{u_2 = a_{22} u_1}$$

Keďže známe súčinu  $a_{11} / a_{22}$  sa IK rozdeľuje na pozitívne a negatívne. Že vzhľadu (61) je zrejmé, že vedenica impedance je úmerná sultu smerovacej impedance (označí sa južný imitančný konvertor). t.j. IK prenáša imitancie na imitancie rovnobežky. Situácia môže byť recipročná, ak  $a_{11} = 1/a_{22}$ . Učiníme si prekladec a získame  $a_{11} = 1/m$ ,  $a_{22} = m$  pričom IK reprezentuje t.z. inverzor transformator. Ak je  $a_{11} \neq 1/a_{22}$ , hovoríme o t.z. aktívnom transformatore ( $a_{11} = 1/n_1$ ,  $a_{22} = n_2$ ,  $n_1 \neq n_2$ ) resp. o t.z. aktívnom meniči súčinu ( $a_{11} = 1/A$ ,  $a_{22} = 1/B$ ,  $A, B > 0$ ), ktorého schematická značka je naznačená na obr. 38. Pre okamžitý výkon na vedeniciach bude  $IMU$  je zrejmé

(24)

(25)

jedným z dôvodov užívania neregulárnych dvojbočníkov je tiež možnosť uložiť na konštrukciu <sup>eho</sup> charakteru bez použitia hliadky cievok, čo je esite' i z hľadiska miniaturizácie elektrických zariadení 'po-  
vju moderných technológií'. Pre tento účel, sa hľadá prebie PIJ,  
ktože pre

$$L = \frac{1}{\pi^2 C} \quad (55)$$

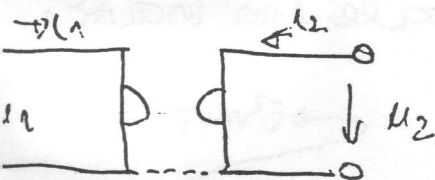
$$L_{\text{VST}} = j\omega \frac{a_{12}}{a_{21}} C = j\omega L_e \quad (56)$$

$$L_e = \frac{a_{12}}{a_{21}} C \quad (57)$$

ak pre ekvivalentnú induktivnosť  $L_e > 0$  musí platil  $a_{12}/a_{21} > 0$ .  
Rovnou krit, keď tento obvodový pravol popisany Tellegenom, nazý-  
vame ho ideálny gyrorór. Jeho schematické značka je uvedená

na obr. 35. Ich imitacioná matice sú  
opravidlo príšu v tvare

(O.V.)



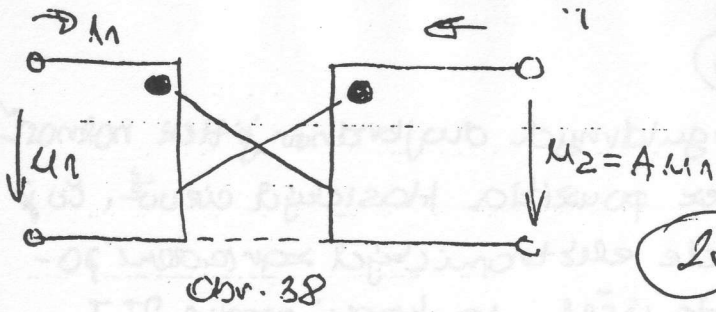
Obr. 35.

$$Z = \begin{bmatrix} 0 & -w_2 \\ w_1 & 0 \end{bmatrix} \quad Y = \begin{bmatrix} 0 & S_1 \\ -S_2 & 0 \end{bmatrix} \quad (58)$$

$w_1$  a  $w_2$  sú t.č. gyročné odpory, a  $S_1$  a  $S_2$  sú t.č. gyro-  
vechnosti. Celkový charakteristiky výkonu gyroróra je výhod-  
nosť daná v základnom:

$$u_1 l_1 + u_2 l_2 = -w_2 l_2 \cdot \frac{u_2}{w_1} + u_2 l_2 = \left(1 - \frac{w_2}{w_1}\right) u_2 l_2 \quad (59)$$

platí:  $w_1 = w_2$ , je  $P=0$ , tak gyrorór predstavuje  
základný pravol: ak  $P>0$  t.j. ak  $w_2 > w_1$ , je gyrorór  
zurých pravol. Uprípade, že platí  $w_2 < w_1$  je  $P<0$  a  
gyrorór má opak. charakteristiky základných pravol.



$$P_2 = u_2(-A_{11}) = \frac{u_1}{A_{11}} \frac{A_{11}}{A_{22}} = \\ = AB u_1 A_{11} = AB P_1 \quad (\text{Eq. 2})$$

Obr. 38

t.j. výkonom na výstupnej brane je  $A_p B$  - kritická frekvencia, keďže výstup je výkon. NIK je medzi prutom neviaceročinný, nakoľko závislosť parametrov  $A_{11}$  a  $A_{22}$  sú rovné. Podľa toho, ktorý z týchto parametrov je odpovídajúci kritickému typu ( $A_{11} = -k_2$ ,  $A_{22} = 1/k_1$ ) alebo odrážajúci typ ( $A_{11} = k_2$ ,  $A_{22} = 1/k_1$ ). Zároveň (61) plynne, že pre konštrukciu impedancie inductorom má charakter, ktorý je významnejší ako NIK, alebo pre  $Z = \frac{1}{j\omega C}$  je významná impedancia

$$Z_{\text{BKT}} = \frac{A_{11}}{j\omega C A_{22}} = j\omega \left( -\frac{A_{11}}{\omega^2 C A_{22}} \right) = j\omega L(\omega) \quad (\text{Eq. 3})$$

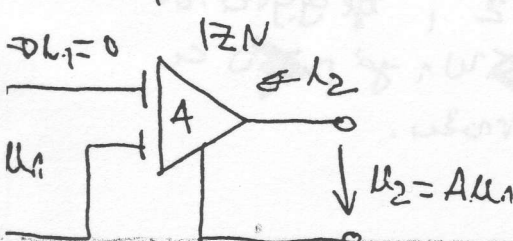
a pre  $L(\omega) > 0$  musí byť  $A_{11}/A_{22} < 0$ . (Equivalentna induktivita je v tomto prípade závislá od frekvencie).

oštreyopely.

#### 2.3.4. Ideálne zosilňovače s jednou zdrojom ako výzdvihom

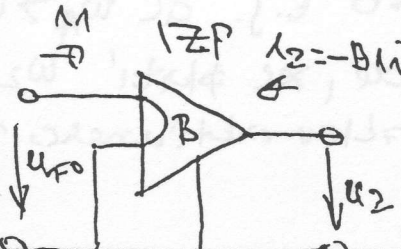
ak súktorí sú lasterodny parameterom ( $A_{11}, A_{22}$ ) ktoré sú rovné 0, sú zdrojmi prúdu charakter konvertnora. Tieto zvláštne prípady sú prečísťenujúce ideálne zosilňovače.

Ideálny zosilňovač s napäťom (Obr. 39) má  $A_{11} = 1/A$  a  $A_{22} = 0$ , tieže ide očne ZNRN. Ideálny zosilňovač s prúdom má napätku (Obr. 40),  $A_{11} = 0$ ,  $A_{22} = 1/B$ , tieže ide očne ZPRP. Ideálny zosilňovač (Obr. 41) je prúd, pre ktorý  $A_{11} = A_{22} = 0$ , tieže ho možno používať za limitného prípada obvod prečísťujúcich zosilňovačov, ak ide zosilenie rastie mimo výstup medzi  $A \rightarrow \infty$ ,  $B \rightarrow \infty$ .

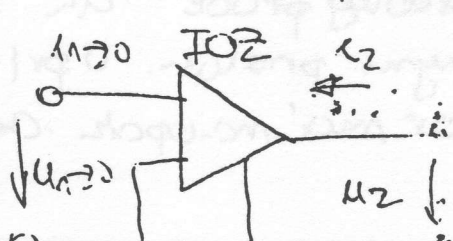


Obr. 39

$\Sigma I = 0$



Obr. 40



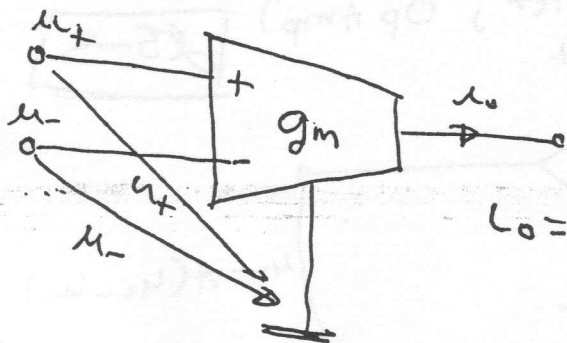
Obr. 41

Operacioner transkonduktanční OT

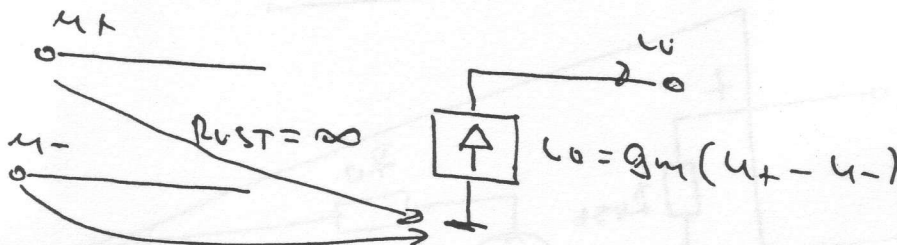
(2542)

(Operational Transconductance

Amplifier - OT+)



$$I_o = g_m (u_+ - u_-)$$



$$u_o = g_m (u_+ - u_-)$$

### transkonduktansi

Impedanční konverzory:

$$\begin{bmatrix} u_1 \\ u_2 \end{bmatrix} = \begin{bmatrix} g_{11} & 0 \\ 0 & g_{22} \end{bmatrix} \begin{bmatrix} u_L \\ i_L \end{bmatrix} \quad \begin{bmatrix} u_1 \\ u_2 \end{bmatrix} = \begin{bmatrix} z_{11} & z_{1L} \\ z_{21} & z_{22} \end{bmatrix} \begin{bmatrix} i_1 \\ i_L \end{bmatrix}$$

$$i_1 = g_{11} u_2 - g_{22} i_L$$

$$u_2 = z_{21} i_1 + z_{22} i_L$$

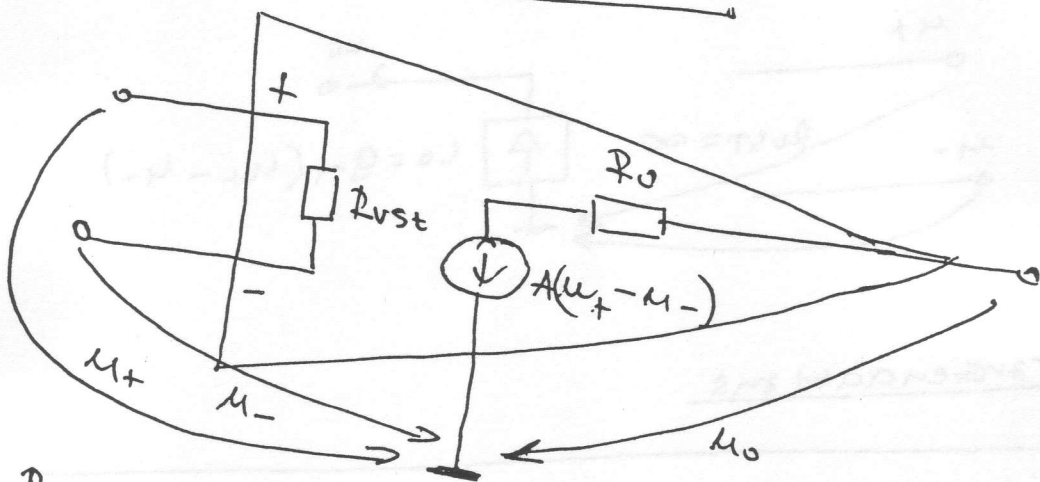
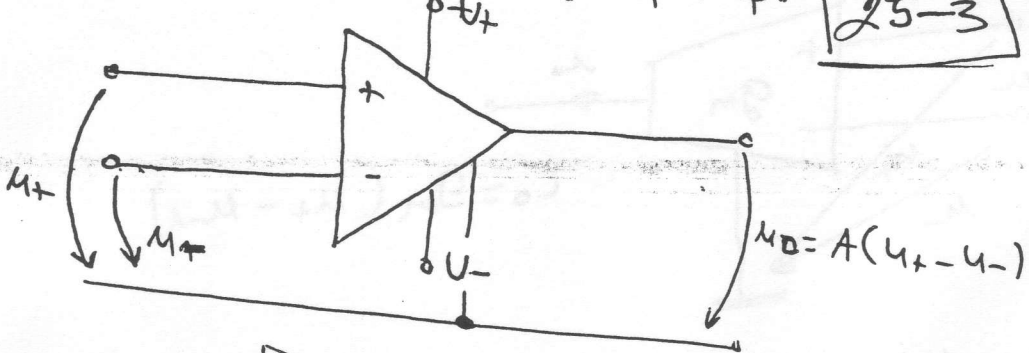
$$g_{21} u_2 = i_1 + g_{22} i_L$$

$$i_2 = \frac{1}{g_{21}} i_1 + \frac{g_{22}}{g_{21}} i_L \xrightarrow{Z-\text{mezidílce}}$$

Operacionální zesilovač s diferenciálním vstupem:

(operational amplifier, Op Amp)

25-3



IOZ:  $R_{UST} \Rightarrow \infty$ ,  $R_o = 0$        $A \rightarrow \infty$   
 $10 - 1000 \Omega$        $10 \Omega$        $200000$

Reálné IOZ:

- kompenсаční hodnoty,  $R_{UST}$ ,  $R_{VST}$ ,  $A$
- frekvencijní téměř tisk
- reálné úsměrňovací vložky
- atd.

## 2. Analýza lineárnych obvodov s regulárnymi n-pólnimi.

V predmetoch "Úvod do teórie mästerstva" a "Teória obvodov I" je sa naučili analyzovať sústavy elektrických obvodov, ktoré obsahujú neutrne dvojpôly, metódu Kirchhoffových zákonov, metódu slúčovacích údor a metódou uzlových napäť. Priama aplikácia Kirchhoffových zákonov nie je pre výpočty užitocná, pretože musíme riešiť  $\Sigma$  lineárnych rovnic, kde  $\Sigma$  je počet velkostí sústavy. Neznámijsme (t.j. hľadáme) vektorami, súpravu v jednotlivých velkostach sústavy. Ke analýze sústava obsahujú n-uzlovi, musíme napsať  $p=n-d$  rovníc aža  $I_KZ$  a  $S=\Sigma-p$  rovníc podľa II. KZ.  $d$ -tu reprezentuje cel separačných časťí sústavy. Menším počtom rovnic možno organizovať sústavu popísat pri použití metódy slúčovacích prúdov alebo záverov užívajúc napäť.

Učíme si postupom členy zapájajeme, a potom ich zároveň pre každé elektrické obvody obstarávejce regulačné hodiny. Učíme sa taktiež, že budeme zameriavať analýzu lineárnych sústav s nezáľudnými n-pólnimi.

### 1. Metóda slúčovacích prúdov.

#### 1. Základné rovnice.

Aby sme mohli zmeniť počet lineárnych rovnic nutných pre analýzu sústav, budeme uvažovať len bezdrôtové slúčky, ktorých je

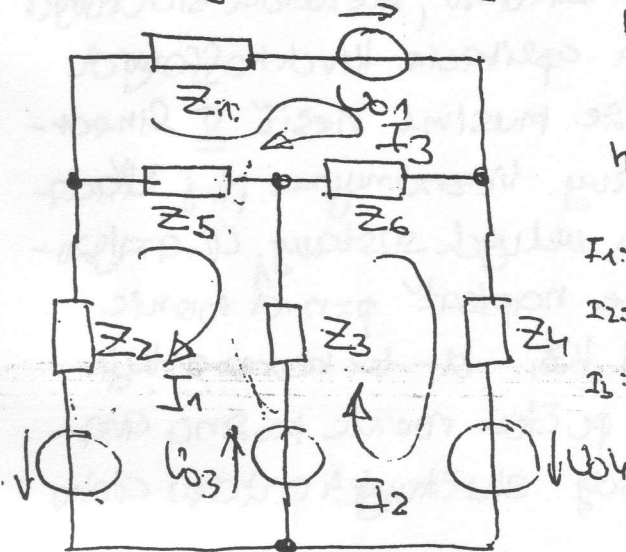
$$S=\Sigma-p \quad (64)$$

$S$  je počet bezdrôtových slúčok,  $\Sigma$  je počet retier a  $p$  je počet násobkých užívajúcich prúrov. Uvažujme čílej el. obvod zložený len zo závodov. (EN ZDZIWAJTE NAPÄŤIA).

Okrem pojmu slúčovacích prúdov, záverečne čílej termín slúčovacie čítie. Slúčovacie napäťia sa riešia zároveň vzájomne algebraickoumi súčinovými napäťami všetkých zdrojov napäťí v slúčke. Pretože na každej slúčke uplatňujeme ten žKZ, prepúšťame najskôr všetky výživové prúdy na elektrické zdroje napäťia. Potom určíme s kaž-

(27)

torej porovnajeme za hľadanej veličinu. Kľačky súmer slúčových prúdov, ktoré orientovať lúbovo můžeme. Obyčajne si súmer smeru všetkých slúčových prúdov, nazývame. Slúčové prúdy označme indexami  $1, 2, \dots, S$  (t.j.  $I_1, I_2, \dots, I_S$ ). Pre každú slúčku napíšeme  $\Sigma I = 0$ , čím obdržíme - kinedrmých nezávislých rovníc.



Obr. 42.

Po určení smerov pre každú slúčku na obr. 42. sa získajúce nezávislé slúčky napíšeme ako:

$$\begin{aligned} I_1: & Z_5(I_1 - I_5) + I_3(I_1 - I_2) - U_{03} + Z_2I_1 - U_{02} = 0 \\ I_2: & Z_6(I_2 - I_3) + U_{04} + I_4I_2 + U_{03} + I_3(I_2 - I_1) = 0 \\ I_3: & I_1I_3 + U_{01} + Z_6(I_3 - I_2) + Z_5(I_3 - I_1) = 0 \end{aligned} \quad (64)$$

Tieto rovnice možno potom zapísat v prehľadnej matricovej forme:

$$\begin{bmatrix} U_{02} + U_{03} \\ -U_{03} - U_{04} \\ -U_{01} \end{bmatrix} = \begin{bmatrix} 1 & & \\ - & 2 & \\ - & & 3 \end{bmatrix} \underbrace{\begin{bmatrix} Z_2 + Z_3 + Z_5 & -Z_3 & -Z_5 \\ -Z_3 & Z_3 + Z_4 + Z_6 & -Z_6 \\ -Z_5 & -Z_6 & Z_1 + Z_5 + Z_6 \end{bmatrix}}_{\mathbf{Z}} \begin{bmatrix} I_1 \\ I_2 \\ I_3 \end{bmatrix} \quad (65)$$

Rovnice (65) môžeme skratene zapísat v tieto tvare

$$\mathbf{U} = \mathbf{ZI} \quad (66)$$

de  $\mathbf{U}$  je stĺpcová matice slúčových napäti,  $\mathbf{I}$  je stĺpcová matice súmerných slúčových prúdov a  $\mathbf{Z}$  je tri-impedančná matice malyzovanej obvodovej sústavy. Rovnica (66) platí pre lúbovoľný cieľ nezávislých slúčiek. Matrica  $\mathbf{Z}$  je regulárna matice (t.j.  $\det \mathbf{Z} \neq 0$ ). Vzhľadom matri, možno vektor ohľadujúcich veličín  $\mathbf{I}$ , určiť z rovnice (66) tak, že celu rovnici následne nverzou maticou  $\mathbf{Z}^{-1}$  zložia. Potom platí:

$$\mathbf{I} = \mathbf{Z}^{-1}\mathbf{U} \quad (67)$$

Lineárne zložky reaktora  $\mathbf{I}$ , napr.  $\underline{I}_{\text{R}}$ , možno určiť pri-  
itom Cramerovou metódou.

$$I_b = \frac{1}{\Delta} [\Delta_{1:k} U_1 + \Delta_{2:k} U_2 + \dots + \Delta_{s:k} U_s]$$

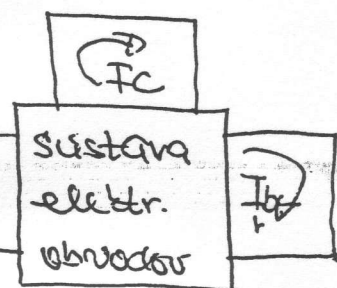
(27)

(68)

Je symbol  $\Delta$  označuje determinant impedancnej matice  $Z$ , zatiaľ symbol  $\Delta_{i:k}$  je jeho algebraický doplnok, ktorý sa mení  $(-1)^{i+k}$  v súčtu determinantu matice, ktorú dostaneme z matice  $Z$  tak, že vymedzame  $i$ -ty riadok a  $k$ -ty stĺpec. Symbol  $a$  naznačuje počet súmnych čísel medzi indexmi algebraického doplnku. Ak je súmna napäjacia  $U_a$  pravým smerom zapojene napäťia  $U_a$  (obr. 43) priečka  $b$  -čiary súčinu  $I_b$

napäjania a len jednou zapojene napäťia  $U_a$  (obr. 43) priečka  $a$  -čiary súčinu  $I_a$

$$I_b = \frac{\Delta_{a:b}}{\Delta} U_a \quad (69)$$



Obr. 43.

Počítka racionálneho predpisu možeme vypočítať i prúd  $I_a$ .

$$I_a = \frac{\Delta_{a:a}}{\Delta} U_a \quad (70)$$

závadnice (70) možno vypočítať ušľahci impedanciu systému podľa ťažia.

$$Z_{\text{rst}} = \frac{U_a}{I_a} = \frac{\Delta}{\Delta_{a:a}} \quad (71)$$

aký hoci zaujíma prenos prúdu, definujeme ako power prúd  $I_b$  a tiež  $b$  k prúdu  $I_a$  ušľahci sledne a:

$$K_i = \frac{I_b}{I_a} \quad (72)$$

• 43. Hlásený power dostaneme ruvnic (69) a (70) a tiež tieto

$$K_i = \frac{I_b}{I_a} = \frac{\Delta_{a:b}}{\Delta_{a:a}} \quad (73)$$

ak sme chceli vypočítať power prúdov  $I_c$  /  $I_a$ , vypočítame prúd podľa vzťahu

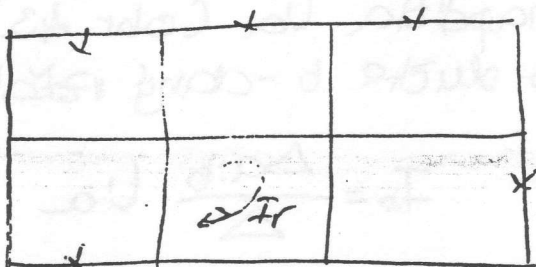
$$I_c = \frac{\Delta_{a:c}}{\Delta} U_a \quad (74)$$

• Tieto výsledky sú výsledkom (69) a (70) a tiež racionálneho predpisu.

(29)

$$Z_{rr} = \frac{U_r}{I_r} \quad (1) \quad (29)$$

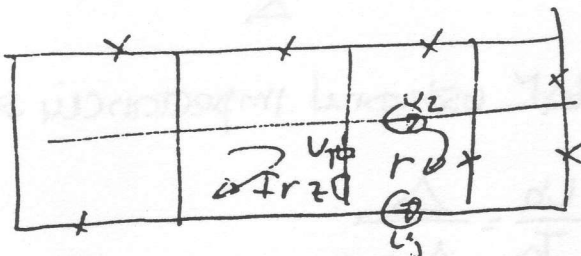
$I_r = 0 \quad r=0, 1, \dots, L-1, L, \dots, S$



CLASIFICACIONES IMPEDANCIA

$$U_r = (\sum z_i) I_r; \quad Z_{rr} = \sum z_i$$

(2)



$$U_2 - U_3 - U_1 - I_K Z = 0$$

$$- I_K Z = -U_2 + U_3 + U_1 = U_1$$

$$-Z = \frac{U_r}{I_K} = \underline{\underline{Z}_{rr}}$$

CLASIFICACIONES IMPEDANCIA

$$\frac{\partial A}{\partial x} = \frac{\partial E}{\partial t} = f$$

$$f = \frac{\partial A}{\partial t}$$

$I_c$  a  $I_b$ , dostaneme vztah

$$\frac{I_c}{I_b} = \frac{\Delta a:c}{\Delta a:b} \quad (75)$$

### 2.1.2. Impedančná matice sústavy.

Udávali sme, že stĺpcovú matice slúčových prúrov zostavujme tak, že do matice usporiadame zvolené slúčové prúry  $I_1, I_2, \dots, I_s$ . Použite stĺpcovú matice slúčových napäť zostavíme jednoducho. Každé slúčové napätie si hovorí súčtu súčinových napäť v tomto smeru (čo následne súčet, pričom s každým z hľadiskom napäteme napäť orientované proti súpeľ slúčového prúdu), že zápornym znamienkom napíšeme napäťa, ktoré súhlasia s hľadiskom smerom slúčového prúdu. K súčinnou otázkou je tu zloženie matice  $Z$ . Jejou 2 možnosti je napísat  $Z$  pre zvolené nezávislé slúčky a tieto prepísat do maticeľného tvára. Potkáme sa s ľahším vzhľadom algoritmus pre výpočet impedančnej matice  $Z$ .

Ak by požádzališie všetkinej impedančnej matice v rovnici (65), listime, že  $Z$  je súmerná podľa hlavnej diagonály. Je toproto, lebo matice  $R, L, C$  sú recipročné /reciproke/. Praktická matice  $Z$  môžeme definovať ako sústavy rovnic (66'), ktorí zapíšeme v tvare

$$\begin{aligned} U_1 &= Z_{11}I_1 + Z_{12}I_2 + \dots + Z_{1s}I_s \\ U_2 &= Z_{21}I_1 + Z_{22}I_2 + \dots + Z_{2s}I_s \\ &\vdots \\ U_s &= Z_{s1}I_1 + Z_{s2}I_2 + \dots + Z_{ss}I_s \end{aligned} \quad (76)$$

Praktický impedančnej matice budeme označovať malými písmenami, aby sme ich nezamieňali zo symbolmi pre impedanciu). Tu sústavy rovnic (76), môžeme definovať prakticku v hlavnej diagonále matice: takto:

$$Z_{rr} = \left( \frac{U_r}{I_r} \right)_{I_k=0} \quad (r=1,2,\dots,s; k \neq r) \quad (77)$$

ak  $Z_{rr}$  bude v  $r$ -tom riadku a  $i$ -tom stĺpci matice  $Z$ .  
Schématicky  $I_k=0$  pre  $k=1,2,\dots,s$  znamená, že všetky

(31)

čeky obrem r-tej, sú rozpojené. Preto ktoraký prvek s klávouj diagnostickým riadom súčtu impedancií v sekcii, ktorá je označená umete ako horiak (stlpec) matice, v horej časti je zadaný. Impedancia zru mriežky je vlastnou impedanciou slúčky.

Analogicky možme definovať i říkovací pravomučku klávnej argumenty:

$$Z_{km} = \left( \frac{U_k}{I_m} \right)_{I_t=0} \quad k=1,2, \dots, S, \quad t=m \quad (78)$$

Teda v tomto prípade pripomíname, že sú rozpojené všetky slúčky, obrem mi-tej, že

$$Z_{km} = \pm \frac{U_k}{I_m} \quad (79)$$

(48) a (49) viedom, že prvok zru matice  $Z$  sa rovná impedancii, ktorá je spoločná pre slúčky  $r$  a  $m$ . TÚTO impedanciu nazívame **vzájomnou impedanciou** slúčiek  $r$  a  $m$ . Vzaujimnosť závisí oce orientácii priči u  $I_r$  a  $I_m$ . Čo orientácia slúčiek je rovnaká/rôzna je znamienko impedancie  $Z_{rm}$  aktívne/explícne.

### 1.3. Transformácia súradnic.

Počas pohybu súradnice dôpeme závisle a nezávisle precesie, lú ťačka a pričky. Vyzývame si súčinu čiernych, bielej a čiernej nezávisle slúčové pričky, ktoré zostavíme do stĺpcovej matice  $\tilde{I}$  pomocou slúčové napäťa, reprezentovaného vektorm  $\tilde{U}$  a vektorom  $\tilde{I}$ , možno písat túto maticu:

$$\tilde{U} = \tilde{Z} \tilde{I} \quad (80)$$

A zvolíme v tejto sústave iné nezávisle slúčové pričky ( $\tilde{I}$ ), ktoré pre daný zdaní sústavy plati iné, napr. tato matičová súčina:

$$U = Z I \quad (81)$$

ach medzi pohodlnejšiu a nákladnejšou súčinnou prudkou platí zákon

$$\tilde{I} = C I \quad (82)$$

de  $C$  je transformačná matica pričiek. Počíme, možno využiť niečo slúčové napäťa pomocou pôvodných slúčových napäťí

$$U = D \tilde{U} \quad (83)$$

... a zároveň súčinnou prudkou. Z uvedeniu (81) a (83) je (81)

vztažme vztah

$$U = D \tilde{U} = D \tilde{Z} I = D \tilde{Z} C I = Z I \quad (84)$$

e

$$Z = D \tilde{Z} C \quad (85)$$

zmeneďme, že vztah (85) obsahuje pouze jednu neznámou vztahovou (84) a (81). Rovnica (85) popisuje regulárnu transformáciu matice  $\tilde{Z}$  maticu  $Z$ , resp. opäť. Teraz učíme, aby je vztah medzi významnými maticami  $D$  a  $C$ . Pretože rovnice (80) a (81) popisujú tento istý obvod, z čoho plýnie, že súčet okamžitých výpočnov v obidvoch vektoroch v obidvoch prípadoch rovnaký, t.j. musí plodiť:

$$P = \tilde{U}^T I = U^T I \quad (86)$$

zistiu vztah (82), možno pridať  $I$  výjadriť tiež takto:

$$I = C^T \tilde{I} \quad (87)$$

zadarmo (81) a (84) do (86) potom dostaneme:

$$\tilde{U}^T \tilde{I} = U^T I = (D \tilde{U})^T (C^T \tilde{I}) = \tilde{U}^T D^T C^T \tilde{I} = \tilde{U}^T E \tilde{I} \quad (88)$$

vztaž (86) a (88) potom plýnie

$$D^T C^T \tilde{I} = E \quad (89)$$

e  $E$  je jednotková štvorcová matica. Z vztahu (89) možno využiť premenné s klasickou medzi maticami  $D$  a  $C$  učízat tiež

$$C = DI \quad (90)$$

$$D = CT \quad (91)$$

zadarmo (90) do (85) a (83) dostaneme vzťahy

$$Z = CT \tilde{Z} C \quad (92)$$

$$U = CT \tilde{U} \quad (93)$$

transformácie <sup>preto</sup> rôznych (92) a (93) možno prekonať tiež dôležitou: klasického našobenia matic, a to podľa algoritmu, ktorý viacom opíšeme.

## Výpočetné vzorce matice

$$D(p,k) = A(p,q) B(q,m) C(m,k) \quad (94)$$

Kde  $p, q, m$  jsou řádky, kde  $k$  je typ matice. Jde o výpočet  
matice očekávané, když je produkt dříve uvedených matic v plánu.

$$d_{rs} = \sum_{j=1}^m \sum_{i=1}^{qr} a_{ri} c_{js} b_{ij} \quad (95)$$

Při stanovení produkce dříve uvedených matic. Uvažujme  
zde výpočtem (95), si poznáme výpočet řádku  $r$ -tého výslednéj matice  
produkty, které leží v  $r$ -tom řádku matice  $A$ , a tedy každém řádku  
poznáme do závorky, v kterém řádku matice  $A$  leží. Následně  
poznáme produkty matice  $A$  a  $C$  k řádkům ani k sloupcům nezávisle. K  $s$ -tému  
sloupci výslednéj matice  $D$  poznáme produkty matice  $C$ , když  
leží v  $s$ -tom sloupci. Produkty dříve uvedené tak, že výpočet se  
kazdyj produkty matice  $A$  pořadový řádek s každým produktem  
matice matice  $C$  i pořadovým sloupcem. Kazdyj takto získaný  
síčin násobíme produktem matice  $B$ , kdežto v řádku  $c$  výpočtu  
užíváme násobení z matice  $A$  a  $s$ -stoupem poznámenou pri  
výpočtu matice  $C$ . Produkty dříve uvedené takto:

$$s : c_{r1}(1), c_{r2}(2), \dots, c_{rm}(m)$$

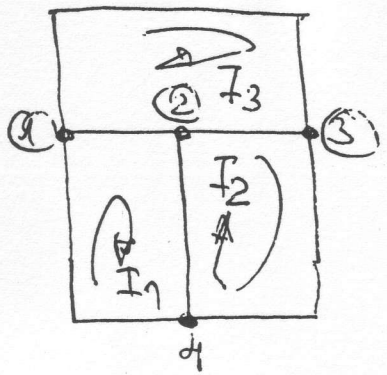
$$a_{r1} c_{1s} b_{11} + a_{r2} c_{2s} b_{12} + \dots + a_{rm} c_{ms} b_{1m}$$

$$\vdots \\ a_{r1}, a_{r2}, \dots, a_{rm}$$

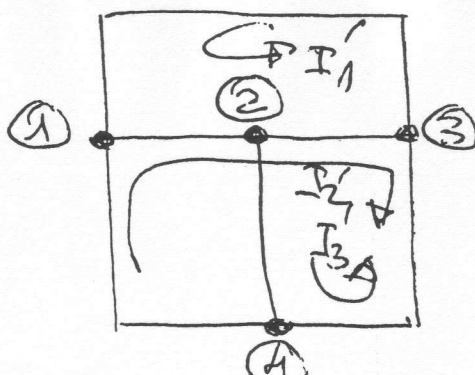
$$+ a_{r2} c_{1s} b_{21} + \dots +$$

$$+ \dots + a_{rm} c_{ms} b_{2m}$$

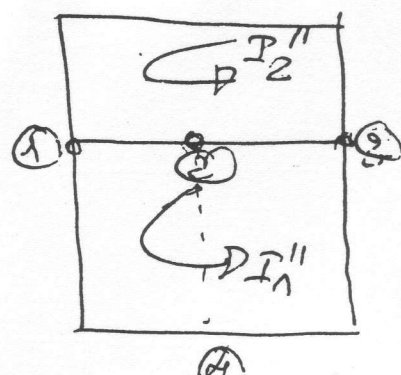
Lýžník výpočetního algoritmu budeme ilustrovat na příkladu s teorie  
strukture. Na obrázku podla 42. obr., kterého struktura průdu je upřesněna  
načeráváním topologickéj schéma podla obr. 44 používají matice  $U_4$   
a matice  $U'_4$  pro selektivní průdu podla obr. 45. Matice  $U_4$  je zadávají  
průdu zde uvedené: když je výpočetní řádek řádkové struktury (I)  
redukce, může zahrnovat řádkové struktury (II), a rekvizitou



Obr. 44.



Obr. 45



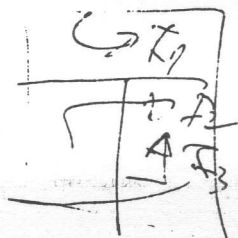
Obr. 46.

$$I_1 = I_2'$$

$$I_2 = I_2' - I_3'$$

$$I_3 = -I_1'$$

$\text{stav} = C \text{ stav}'$



Ito rovnice musim zapisat v maticovej forme takto:

$$\begin{bmatrix} I_1 \\ I_2 \\ I_3 \end{bmatrix} = \begin{bmatrix} 0 & 1 & 0 \\ 0 & 1 & -1 \\ -1 & 0 & 0 \end{bmatrix} \begin{bmatrix} I_1' \\ I_2' \\ I_3' \end{bmatrix} \Rightarrow C = \begin{bmatrix} 0 & 1 & 0 \\ 0 & 1 & -1 \\ -1 & 0 & 0 \end{bmatrix}$$

Na tiche novych sllectivach napsati potom dostaneme podla vzetku  
 $C' = CTU$

Na to neskorie matic CTU realizuju podla opisanho algoritmu  
 takto:

$$\begin{bmatrix} 1 \\ 2 \\ 3 \end{bmatrix} \begin{bmatrix} U_{02} + U_{03} \\ -U_{03} + U_{04} \\ -U_{01} \end{bmatrix}$$

$$\begin{array}{l} (1) \rightarrow (3) \\ (2) \rightarrow (1) \\ (3) \rightarrow (2) \end{array} \begin{bmatrix} U_{01} \\ U_{02} - U_{04} \\ U_{03} + U_{04} \end{bmatrix}$$

$$\begin{aligned} I_{10} &= I_1' - I_2' \\ I_{10} &= I_2' - I_3' \end{aligned}$$

$$\begin{aligned} U_{01} &= CTU \\ U_{02} &= CTU \\ U_{03} &= CTU \\ U_{04} &= CTU \end{aligned}$$

Analogicky postupujeme pri nasobenej 3-matici:  
 $Z' = CTZC$

$$C = \begin{bmatrix} 0 & 1 & 0 \\ 0 & 1 & -1 \\ -1 & 0 & 0 \end{bmatrix} \quad C^T = \begin{bmatrix} 0 & 0 & -1 \\ 1 & 1 & 0 \\ 0 & -1 & 0 \end{bmatrix} \quad (35)$$

$$U = C^T \tilde{U} \quad \tilde{Z} = C^T \tilde{Z} C$$

$$\tilde{u}_{11}(\tilde{1}) : U_{02} + U_{03}$$

$$\tilde{u}_{21}(\tilde{2}) : -U_{03} - U_{04}$$

$$\tilde{u}_{31}(\tilde{3}) : -U_{01}$$

$$U = -(\tilde{3})$$

$$(\tilde{1})(\tilde{2})$$

$$-(\tilde{2})$$

$$\left[ \begin{array}{c} \frac{-U_{01}}{U_{01}} \\ \hline \frac{U_{02} - U_{04}}{U_{02} - U_{04}} \\ \hline \frac{U_{03} + U_{04}}{U_{03} + U_{04}} \end{array} \right]$$

$$\begin{array}{l} \tilde{I}_1 = I_2 \\ \tilde{I}_2 = I_2 - I_3 \\ \tilde{I}_3 = -I_1. \end{array}$$

$$- (\tilde{3}) \quad (\tilde{1})(\tilde{2}) \quad - (\tilde{2})$$

$$\tilde{Z} = \begin{bmatrix} -(\tilde{3}) & \begin{array}{c|c} Z_2 + Z_3 + Z_5 & -Z_3 \\ \hline -Z_3 & Z_3 + Z_4 + Z_6 \end{array} & -Z_5 \\ (\tilde{1})(\tilde{2}) & \hline & -Z_6 \\ -(\tilde{2}) & \hline & Z_1 + Z_5 + Z_6 \end{bmatrix}$$

$$- (\tilde{3}) \quad (\tilde{1})(\tilde{2}) \quad - (\tilde{2})$$

$$\tilde{Z} = \begin{bmatrix} -(\tilde{3}) & \begin{array}{c|c} Z_1 + Z_5 + Z_6 & Z_5 + Z_6 \\ \hline Z_5 + Z_6 & Z_2 + Z_4 + Z_5 + Z_6 \end{array} & -Z_6 \\ (\tilde{1})(\tilde{2}) & \hline & Z_3 - Z_5 - Z_4 - Z_6 \\ -(\tilde{2}) & \hline & Z_3 + Z_4 + Z_6 \end{bmatrix}$$

(36)

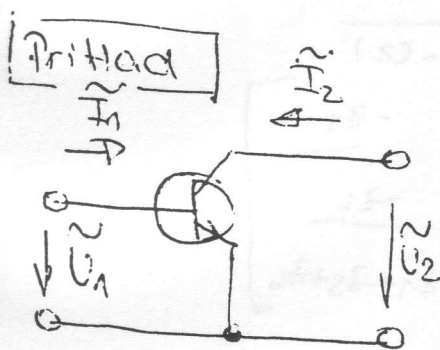
$$Z' = \begin{bmatrix} 1': -(3) \\ 2': (1)(2) \\ 3': -(2) \end{bmatrix}$$

$$1': -(3) \quad 2': (1), (2) \quad 3': -(3)$$

$$\left[ \begin{array}{c} | \\ | \\ | \end{array} \right] \quad Z = \left[ \begin{array}{c} | \\ | \\ | \end{array} \right]$$

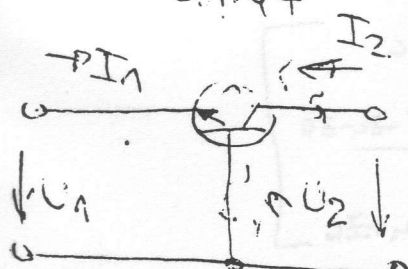
$$Z = \begin{array}{lll} 1: & 2: & 3: \\ 1: & Z_1 + Z_3 + Z_5 & -Z_5 \\ 2: & -Z_3 & Z_5 + Z_4 + Z_6 \\ 3: & -Z_5 & -Z_6 \\ & & Z_1 + Z_5 + Z_6 \end{array}$$

$$\begin{array}{lll} 1': -(3) & 2': (1)(2) & 3': -(2) \\ 1': -(3) & Z_1 + Z_5 + Z_6 & -Z_6 \\ 2: & Z_5 + Z_4 & \\ 2': (1)(2) & Z_2 + Z_3 + Z_5 - Z_3 - Z_3 + & Z_5 - Z_3 - Z_4 \\ 3': -(2) & Z_5 + Z_4 + Z_6 = Z_2 + Z_4 + Z_5 + Z_6 & -Z_6 \\ & -Z_6 & Z_3 - Z_3 - Z_4 - Z_6 \\ & & Z_3 + Z_4 + Z_6 \end{array}$$



Vypočítajme impedanční matici tranzistoru v zapojení SB (Obr. 48), až poznáme impedanční matici tranzistoru v zapojení SE (Obr. 47).

Obr. 44



Obr. 48.

Obr. 47:

$$Z = \begin{bmatrix} z_{11e} & z_{12e} \\ z_{21e} & z_{22e} \end{bmatrix}$$

$$\begin{aligned} I_1 &= -I_1 - I_2 \\ I_2 &= I_2 \end{aligned}$$

$$Z = 1: -(1) \quad 1: -(1)$$

$$2: -(1) \quad 2: -(1), (2)$$

$$(2)$$

$$1: -(1), (2)$$

$$z_{11e} - z_{12e}$$

$$z_{21e} - z_{22e} +$$

$$+ z_{21e} + z_{22e}$$

ak v existuje podľa obr. 42 rozpojme posledného kaučukového valca, ktoré sú v ňom  $I_3 = 0$  až  $U_3 = 0$ . Súčasne bude mať polohu len dve nezávisle slúčky. Matice rovnice (80) preto upravime tak, že vektor  $I$  až strátme o posledný riadok, zatiaľ čo Ž strátme o posledný riadok i stĺpec. V užobecnosti, strátme matice  $I$ ,  $U$  až o toto posledného riadku / riadku / riadku a stĺpcov, ktorého poslednej kaučukového valca nelení rozpojme. Ak chceme rozpojiť iné valce, nie tento, môžeme hľadať transformáciu súčinu tých, aby rozpojené valce mali posledné číslo. Týmto môžeme matice stratiť symetria prijednáčikových vektorov. Obrázok je následujúci:

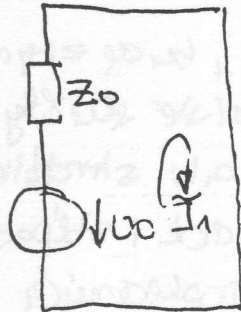
Transformáciu môžeme preniesť i v jednej operácii, ktorú nazývame **kombinovanou transformáciou súčiníc**. Táto jedna operácia príkazuje, aby všetky paralelne priborovane zdrojené elektrické prúdy po rozpojení tieto. Dostaneme tak transformáciu rovnice. Ďalší príklad je rozprávajúci ako v prípade regulárnej transformácie. Ak opäť rozpojme súčinu (80) obdobu podľa obr. 42. Neviem si či je príklad správny, ale je to v tomto prípade dobrý.

$$I_1 = -I''_1 \quad I_2 = -I''_2 \quad I_3 = -I''_3$$

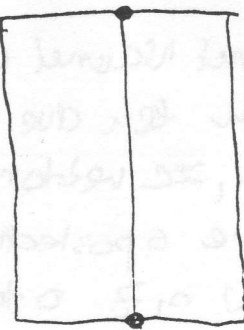
Kombinované transformácie matice Ž v rovnici (80) a matice Ž v rovnici (81) budeme považovať i v prípade, ak možno súčinu bude mať väčší počet slúčiek, než transformovaný súčinu, ktoréj sú môžeme pri myšlienke tohto prípadu slúčiť, o kolko ich má súčinu. Traktáme slúčky tým, že impedančnú matice.

#### 1.1.4. Ščriore' spojenie dielektrických sústava.

Pod pojmom dielektrická sústava, rozumieeme sústavu súčinov, ktoré majú s nezávislými slúčkami. Do súčinu môžu spojiť všechny dielektrické sústavy, ktoré majú rovnaký počet slúčiek súčinov, ktoré sú nezávislé na slúčkach. Túto časť si myslím, že najjednoduchším obvodom je protom Ž dvojpôl, charakterizovaný impedanciou Ž. Ak máme k dvojpôlu Ž ideálne zdroje napätia  $U_0$ , súčasne s jeho súčinou



Obr. 49

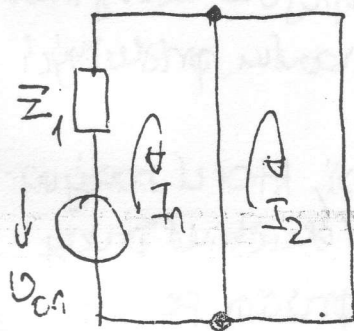


Obr. 50

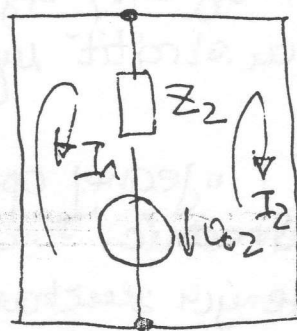
obvod s jedinou elektrónou (obr.49),  
pre ktorý možno napísat tieto matice  
vôbec:

$$\tilde{U} = \tilde{Z} \tilde{I}$$

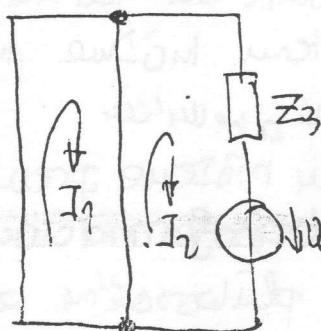
kde však vždy matice, na ktoré žiadame  
počítačom spracovať matice definované  
takto:



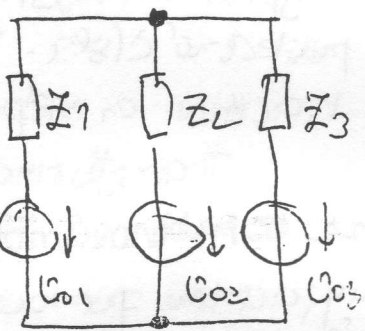
Obr. 51



Obr. 52.



Obr. 53.



Obr. 54.

$$\tilde{U} = U_0$$

$$\tilde{Z} = Z$$

$$\tilde{I} = \tilde{I}_1$$

Na obr. 50 je nazvestená dvojslučková bezimpedančná matice EO -  
tieto čiary tu reprezentujú straty. Ak sú dvojpoli cestové zapojené  
v ťaži súbe (obr.51), môžeme viedť napäť  $\tilde{U}$  a ľamatučku  $\tilde{Z}$   
prepočítať do matice  $Z_1$ , pri použití transformačného vzťahu

$$\tilde{I}_1 = I_1$$

Elementárny dvojpol môže byť zapojený spoju so zdrojom i ako  
funkcia  $\tilde{Z}$ . (obr.52), keď súkromu charakterizuje matice  $Z_2$ ,  
Ak je transformačný vzťah tu možno použiť vzorec

$$\tilde{I}_1 = I_2 - I_1$$

Podobne platí i pre súkromu 3., ( $Z_3; \tilde{I}_1 = \tilde{I}_2$ ). Sériou je spojenie  
dielčiach súkromov (obr.51-53) dôsledne súkromu obr.54, podľa

Sériou je spojenie rozdielneho také spojenie dielčiach súkromov  
keď ~~je~~ súkromie napäťne nezáležnej od strany na výmenu súčtu  
súčinných hodnôt spojených dielčiach súkromov. Vôbec obecne, když  
súkromie pre súkromu je spojené s n - dielčia súkrom plati:

$$U = U' + U'' + \dots + U^{(m)} = \sum_{k=1}^m U^{(k)} \quad (96)$$

Dosiahneme, že rovnica (96) platí tiež obratne. Ak rozložime stepcové matice dielektrických napäťi určitej sústavy zo súčtu stepcových matic, stov ktorá sú z dielečich matic, preostanú stepcové matice dielektrických či dielektrických sústav. Ak do (96) dodačime za  $U^{(k)}$  tento výraz

$$U^{(k)} = Z^{(k)} I \quad (97)$$

ak dostaneme:

$$U = \sum_{k=1}^m U^{(k)} = \sum_{k=1}^m Z^{(k)} I = \left[ \sum_{k=1}^m Z^{(k)} \right] I \quad (98)$$

O užatre (98) potom plynne platnosť tohto výzera:

$$Z = \sum_{k=1}^m Z^{(k)} \quad (99)$$

že sú  $m$  počet dielektrických sústav spojených dosene. Táto faktika nás viedie, Impedančná matice je sústava, hoci dostaneme ďalšie informácie o zapojení miestnych dielektrických sústav, sa však sústava Impedančnej matice dielektrických sústav.

Vzťah (99) ľahko mym spôsobom možno aplikovať na získanie impedančnej matice sústavy. Postupujeme tu tak, že postupne získame impedančné matice jednotlivých prvkov až do výslednej súčtové dielektrického príkonu a transformované matice sústavy. Kdežto ľahkosť tohto postupu sa závisí na jeho analýze, či sústava obsahuje trojpóly a monopóly.

## 1.5. Použitie metódy na sústavy ktoré obsahujú regulárne monopóly.

Regulárnym obrázovým príkonem, z hľadiska metódy dielektrických sústav máme možnosť tvoriť príkon, ktorý má impedančnú matice. Potom pre každý regulárny n-pôj môžeme získať  $(n-1)$  niečo ďalších, hociži môžeme prípejsť k výnimočným okoliam a napísat významne ďalšie sústavy mi napäťami (zodlakremi) do matice  $\tilde{U}$  a zodlakremi slúčovými príkonmi (zodlakrenimi) do matice  $\tilde{I}$ ,

$$\tilde{U} = \tilde{Z} \tilde{I} \quad (100)$$

2). 46  
 je  $\tilde{Z}_j$  impedančna matica uvaževaneho n-poly. Matice se rovná  
 $Z = \tilde{Z} I$  (101)

oví písacího celé analyzovaný EJ, dostalme takto:



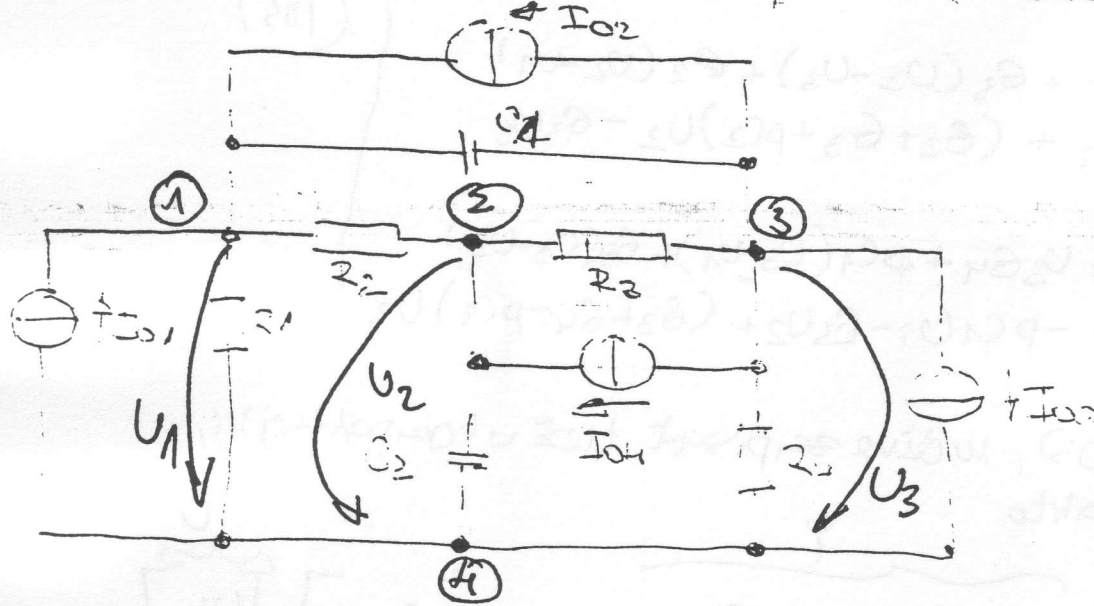
Analýza vegetačních období, tučné kovy ilustrovat  
na nekolik dílčích příkladů.

(41)

## 2. d. Metoda uzlových a brdových napäť.

### 2.2.1. Metoda uzlového napäť.

Víme, že pre sústavu s jednou separačnou časťou, ktorá má len jednu napäť, môžeme napiísť m-1 rovnice prúdu. Je to z uzlov (ako reťabok my) nezávisieme, ktorého prúdy, ktoré sú vstupujúce z uhol vyskupuje a sú nezávisie závisie na prúdoch ostatného uzlov. Tento vzor bude nazývať **uzlovým uzlom sústavy**. (rekedy tiež **referenčným**). Prvý uhol je základ za referenčný uhol sústavy ten uhol, ktorému je príslušný magazčí poser vektor. Ako príklad, uvažujme ēo podľa obr.



Obr. 60.

Dielne priamo  
busene vychádz  
z 12, súčame  
predstavujúce  
ēo pripojenie  
len zo zadnej  
(referenčnej) pris  
cil to teda nie  
bude závisie na  
pripravane  
na závisenie  
čiže prúdu.

Umožníme výhodu, keďme vymením a zároveň zmeníme príslušné prúdy. Horé pojednávame s nezávislými závisiacimi symbolami  $I_1, I_2, \dots, I_{m-1}$  a zostavime ich do slúpečnej matice  $I$ . Keďme tak nazývame **uzlové prúdy**. Poznamenávame, že sú to reálny súčin, závisiaci na zadanej na nezávislosti (t.j. na zadanej) prúdu v kábla medzi nezávislými uzlami a uzlovým uholom (čiže sú označené ich symbolmi  $U_1, U_2, \dots, U_{m-1}$ ). Tieto napätia bude riešiť **uzlové napäťia**. Rovnako ako v prípade uzlových prúdov zostanúci s uzlovým napäťom akéľkoľvek matice uzlových napäť. Systém sústavu uzlových napäť zverejčňa tak, že sú v hľadisku napäťa je orientovaný väčší o nezávislom uholu, k vektoru u uholu, ktorým súhlasne orientovaná súkva.

Keď sústava je v súlade s  $U_1, U_2, \dots, U_{m-1}$ , je možné:

Např. pro napětí mezi uzlym ① a ② uzlym ③,  $U_{12}$ , platí:

$$U_{12} + U_2 = U_1 \Rightarrow U_{12} = U_1 - U_2.$$

Upřímně tedy pro rozložení obv. (1), pro už vý (1), (2) a (3), sít zde tedy použijme záložní napětí. Potom dle dleme:

$$\begin{aligned} i. \quad I_{01} + I_{02} &= G_1 U_1 + G_2 (U_1 - U_2) + pC_1 (U_1 - U_3) \\ I_{01} + I_{02} &= (G_1 + G_2 + pC_1) U_1 - G_2 U_2 - pC_1 U_3 \end{aligned} \quad \left. \begin{array}{l} \\ \end{array} \right\} (10^{\circ})$$

$$\begin{aligned} ii. \quad I_{04} &= pC_2 U_2 + G_3 (U_2 - U_3) + G_2 (U_2 - U_1) \\ I_{04} &= -G_2 U_1 + (G_2 + G_3 + pC_2) U_2 - G_3 U_3 \end{aligned}$$

$$\begin{aligned} iii. \quad -I_{02} - I_{03} - I_{04} &= U_3 G_4 + pC_1 (U_3 - U_1) + G_3 (U_3 - U_2) \\ -I_{02} - I_{03} - I_{04} &= -pC_1 U_1 - G_3 U_2 + (G_3 + G_4 + pC_1) U_3 \end{aligned}$$

Zároveň je (10<sup>°</sup>), můžeme zejména tedy v kompaktnější,

maticej forme takto:

$$\begin{bmatrix} I \\ I \end{bmatrix} = \begin{bmatrix} I_{01} + I_{02} \\ I_{04} \\ -I_{02} - I_{03} - I_{04} \end{bmatrix} = \begin{bmatrix} G_1 + G_2 + pC_1 & -G_2 & -pC_1 \\ -G_2 & G_2 + G_3 + pC_2 & -G_3 \\ -pC_1 & -G_3 & G_3 + G_4 + pC_1 \end{bmatrix} \begin{bmatrix} U_1 \\ U_2 \\ U_3 \end{bmatrix} \quad (10^{\circ})$$

resp. takto:

$$I = Y U \quad (10^{\circ})$$

zde  $I$  je matice uzlových prúdov,  $U$  je matice založený a kroužek načáti a  $Y$  je tedy Admitanční matice sústavy. Z predmetu ležiačka složitá i víme, že  $Y$ -matice i pre  $E = 10^{\circ}$  je založená zdrojovými prúdmi orientovanými napäťami, mohužno zosobnit pekla tohto algoritmu.

a) Dle návody následující matice  $Y$  pišeme sice vždycky s admittancií dvojpôdov, pri pojení k užiu s orieškou matice (stupeň) matice  $Y$ .

b) Mimo hľadajúci diagonálne napísaveme odporniky zdanlivou admittanciu dvojpôdu, ktoré sú spojené s inémi uzlym a sú vlastne súčasťou príslušného

7.8

Vektor uzložených prúčok  $\vec{r} = [I_1 \ I_2 \ \dots \ I_n]^T$  je kameť, že jeho k-tý prútok  $I_k$  je rovný algebraickému súčtu prúčok, ktoré sú súčasťou k-tého uzla zo zdrojov napojenia. Súčinom smeru smeru mi vziajeme prútoky, ktoré sú uzly smeru a zo smeru smeru smeru, berieme tie prútoky, ktoré sú uzly vystreľujú. Vysvetlujúce spojenie / uvedenie pravidla má dôvod podľa obr. 60, oskrútené sedemnásť rovníc (104) (resp. (105)).

Zo známej maticej rovnice (105) môžeme vypočítať bločnú vektorovú (uzlové napäťia) použitím vzťahu

$$U = \Psi^T I \quad (106)$$

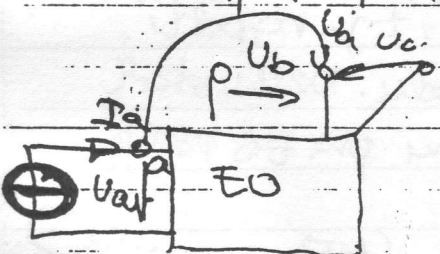
matikou platí:

$$\det \Psi \neq 0 \quad (107)$$

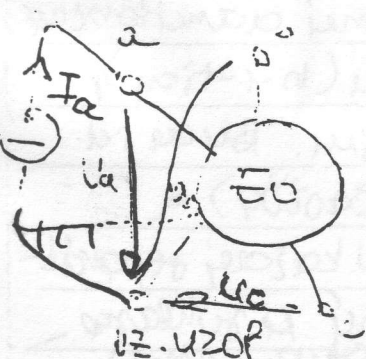
Ale mäs zaujíma nejpočet len jednej vektorovej, napr. napätie  $U_k$ , tak ho možeme obarobiť použitím Grammova pravidla, teda:

$$U_k = \frac{1}{\Delta} (\Delta_{1:k} I_1 + \Delta_{2:k} I_2 + \dots + \Delta_{n-1:k} I_{n-1}), \quad (108)$$

Kde  $\Delta$  je determinantom adjunktnej matice, ktorá je súčasťou  $\Psi$  a je algebraickým doplnkom jeho prúku, ktorý leží a-tom na druhom b-tom stĺpco. , ktorý sa rovná  $(-1)^d$  násobkom determinanta



Obr. 61.



matice, ktorú je matice  $\Psi$ . Obdrželi sme teda chybajúci j-si a-tého radku a b-tého stĺpca. Symbol  $\Delta$  je názov počtu reálnych čísel medzi indexami algebraického doplnku.

Ci je súčinu množíme len s pôvodnou zdrojovou prúckou (Obr. 61), je napäťia  $U_a$  /  $U_b$  / resp.  $U_c$  a odvodené

$$U_b = \frac{\Delta_{a:b}}{\Delta} I_a \quad (109)$$

$$U_c = \frac{\Delta_{a:c}}{\Delta} I_a \quad (110)$$

$$U_d = \frac{\Delta_{a:d}}{\Delta} I_a \quad (111)$$

(44)

Použitím rovnice (111) možno vypočítat náplň impedancie jednej súčtu:

$$Z_{\text{st}} = \frac{U_a}{I_a} = \frac{\Delta a : c}{\Delta} \quad (112)$$

Pri tom poznáme náplň, že ide o  $Z_{\text{st}}$ , zodpovedajúcej proti uvedenej súčte a a referenčnému uzolu.

Niekedy nás zaujíma prenos ~~pre napäťia~~, definujúciho súčinovýomer  $K_U = I_b / U_b$  resp.  $K_U = U_c / U_b$ . Použitím vzťahu (109) a (110) možno tento prenos vypočítať takto:

$$K_U = \frac{U_c}{U_b} = \frac{\Delta a : c}{\Delta a : b} = \frac{\Delta a : c}{\Delta a : b} \quad (113)$$

resp

$$K_U = \frac{U_c}{U_b} = \frac{\Delta a : c}{\Delta a : b} \quad (114)$$

D Nezávisle budeť tento napäťie vtedy ak množina súčtu máte slúči.

## 2.2. Transformácia súradníc.

Vektory, ktorí majú len jeden vektorovo spojenú časť a majú by-užlovo, no slanovili ( $n > 1$ ) mezičielych uzlových napäťí, t.j. napäťí ešte (alež) užlov, užívadou k referenčnému uzolu. Nedostatok ešte užlových prípadu a užlových napäťiam pre to podľa br. 60, je využitím matricovej voznice

$$\tilde{Y} = Y \tilde{U} \quad (115)$$

ak vlnovka označuje pôvodné vektorové a pôvodné orientačné vektori. Vektory užov môžeme nájsť i inú trojici ( $n-1$ -tici), ktoré majú napäťí, orientačné rôzne spôsobom. Bude rád  $\det P = n-1$  (pre existenciu  $\Delta$ -ch súčtu separačných častí) a  $= n-d$  pre súčty  $\Delta$ -s separačných časťami. (V každej separačnej časti je potrebné zvoliť jeden užol za vzdialosť a súčasne orientovanú súčtu). Všeobecne zvolené napäťia budeťe rovnaké branové napäťia (resp. napäťia uzlových pôsobí).

Tie napäťie uzlového pôsobí pôsobíce za branu súčtu, branovým módusom (súčtu uzlového pôsobí).

úča uzlového prúdu do brány vystupuje na strane vyššieho potenciálu a brány vystupuje na strane nižšieho potenciálu. Uprímač elenadých a linearizovaných sústav, moheme niesť príklad uzlových prúdov ( $I_1, I_2, \dots, I_{n-1}$ ) a napäťiam užlových prúdov ( $U_1, U_2, \dots, U_{n-1}$ ), spísat (n-1) meziučíslých rovníc, v matičnom tvare:

$$\mathbf{I} = \mathbf{Y} \mathbf{U} \quad (116)$$

ke  $\mathbf{I}$  a  $\mathbf{Y}$  sú stĺpcové matice prúdov a napäťí užlových prúdov a je regulárna admittančná matice  $A$  zlyšky.

Okrem toho využívame pôvodné napätie  $\mathbf{U}$  pomocou napätie  $\mathbf{U}_a$  sú príary užlových prúdov pomocou prúdov pôvodných, taktie:

$$\mathbf{U} = \mathbf{C} \mathbf{U}_a \quad (117)$$

$$\mathbf{I} = \mathbf{D} \mathbf{I}_a \quad (118)$$

ke  $\mathbf{C}$  je transformačná matice napäťí a  $\mathbf{D}$  je transformačná matice prúdov, tak po dosadení (115) do (118) obdržime:

$$\mathbf{I} = \mathbf{D} \mathbf{I}_a = \mathbf{D} \mathbf{Q} \mathbf{U} \quad (119)$$

teraz do (117) dosadme vztah (117) tak dostaneme:

$$\mathbf{I} = \mathbf{D} \mathbf{Q} \mathbf{C} \mathbf{U} \quad (120)$$

zjednodušme vztahov (120) a (116), zistíme, že platí:

$$\mathbf{U} = \mathbf{D} \mathbf{Q} \mathbf{C} \quad (121)$$

- keďže o regulárnu sústavu, v ktorej celkový oblastiteľ výber blok sústav je romaty, tak využívajúc postupom ako upriamiac hľadá elektrických prúdov, možno doložiť, že platí:

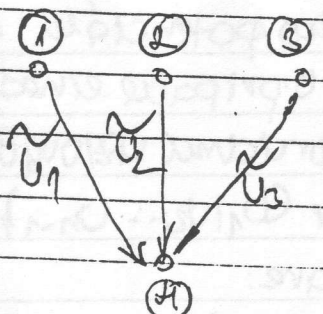
$$\mathbf{C} = \mathbf{D}^T \quad \text{a} \quad \mathbf{D} = \mathbf{C}^T \quad (122)$$

takže

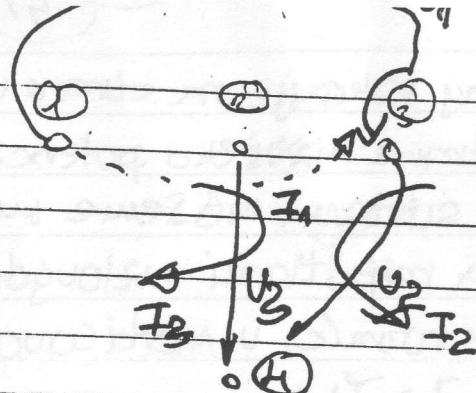
$$\mathbf{U} = \mathbf{D}^T \mathbf{Q} \mathbf{C} = \mathbf{D} \mathbf{Q} \mathbf{D}^T \quad (123)$$

- keďže pozdĺžne transformačných rovníc (117) možno pomocou kľúčového algoritmu násobenia B-matic vypočítať príary hľadajúcich prúdov (pozitív (118)) až aj admittančnú matice užlových prúdov.

Keďže príklad nesúzvisí sústavou s. 4 užívame podľa obr. 2. kľúčové admittančnú matice  $\mathbf{Y}$ , teda  $\mathbf{Y} = \mathbf{D} \mathbf{Q} \mathbf{D}^T$ .



Obr. 62.



Obr. 63.

(46)

$$\begin{array}{l} \tilde{U}_1 = U_1 \\ \tilde{U}_2 = U_2 \\ \tilde{U}_3 = U_3 \\ \tilde{I}_1 = I_1 \\ \tilde{I}_2 = I_2 \\ \tilde{I}_3 = I_3 \end{array}$$

Teraz můžeme zjistit:

I a Y přenosem řešíme

schraďnic, uvedené na obr. 63. Nejdřív napsíme transformační rovnice (operaciu  $\langle Y \rangle$ ), t.j. tak, že původní napájacia výjednací pomocou napájí nových:

$$U_1 = U_1 + U_2$$

$$U_2 = U_3$$

$$U_3 = U_2$$

$$\Rightarrow \begin{array}{l} \tilde{U}_1 = U_1 \\ \tilde{U}_2 = U_3 \\ \tilde{U}_3 = U_2 \end{array}$$

$$I_1 = I_1$$

$$I_2 = I_2$$

$$I_3 = I_3$$

$$I_n = I_n$$

$$I_{n+1} = I_n + I_3$$

$$I_n = I_n$$

Použijme známého algoritmu prevedenie kraj z transformační matice  $\Psi$  do nového systému schraďnic:

$$\begin{array}{lll} 1: (\tilde{X}) & 2: (\tilde{Y}) (\tilde{Z}) & 3: (\tilde{E}) \\ \begin{array}{l} 1: (\tilde{X}) \\ 2: (\tilde{Y}) (\tilde{Z}) \\ 3: (\tilde{E}) \end{array} & \begin{array}{l} \tilde{Y}_{11} \\ \tilde{Y}_{11} + \tilde{Y}_{13} \\ \tilde{Y}_{11} + \tilde{Y}_{13} + \tilde{Y}_{31} + \tilde{Y}_{33} \\ \tilde{Y}_{21} + \tilde{Y}_{31} \end{array} & \begin{array}{l} \tilde{Y}_{12} \\ \tilde{Y}_{12} + \tilde{Y}_{32} \\ \tilde{Y}_{22} \end{array} \end{array}$$

Ak otočíme uzel posledného množstva napájia zo vztazovym HOMu u řešení původné, alebo ak spojíme matematicky druhu sledného množstva opisu, bude zrejmé platiť:

$$\tilde{I}_3 = \Psi_{3,3} \tilde{U}_3$$

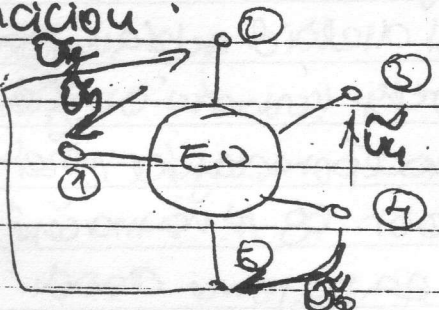
$$\tilde{I}_3 = Y_{3,3} U_3$$

J. všechny maticiach ujmecme posledný riadok a v iných maticiach mavyje posledný sloupec. ( $U_3 = 0, I_3 = 0, \tilde{U}_3 = 0, \tilde{I}_3 = 0$ ) to operaciu nazývame reakciou schraďnic. (t.j. operaciu členia užia-mezdruvitely do vztazovym užiu, aleb zojemu významu opisu matematiky).

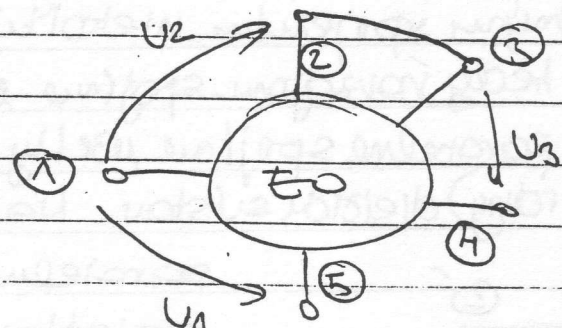
Naleží je potrebné spojiť reaktory mezi matematickou operaciou s transformační řešením. Môžeme to si robiť tým, že

(77)

zmiešané súradnice tak, aby dvojice (pol)členov, ktoré majme spojiť, mali v tvorbe ich súradnic označenie postedným číslom. To reguluje transformáciu vymenovanú matricou postedným radom a v súčinitnej matici i postednym říšepem. Títo operátori majme spojiť v jednej operácii, ktorú nazývame kombinovanou transformáciou.



Obr. 64.



Obr. 65

ak prebieha tie uvažujúce súradnice podľa obr. 64 a 65.  
Naďalej podľa  
obr. 64, mali byť  
spojené na brátnu  
uzly (2) a (3).

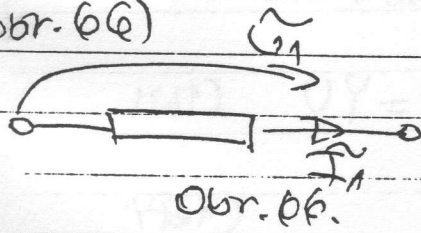
Pri riešení týchto

súpravách tak, že pôvodne výpočítia uzlových prúrov, my budíme možnosť nových mapatí, t.j. napišeme  $\tilde{U} = CU$ :

$$\begin{aligned}\tilde{U}_1 &= -U_2 \\ \tilde{U}_2 &= U_2 - U_1 \\ \tilde{U}_3 &= U_1 - U_2 - U_3 \\ \tilde{U}_4 &= -U_3\end{aligned}$$

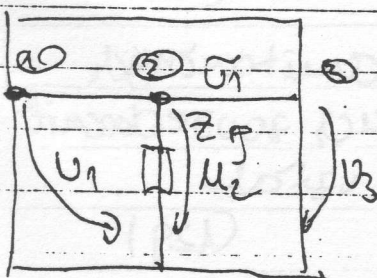
akto zistame transformačné rovnice použijeme potom priamo na transformačné matice  $T$  a  $Q$ .

kombinovanú transformačnú súradnicu možemo poslat i v tomto pohode, ak chceme transformovať súčitanec  $U_k$  do výpočtu.



Obr. 66.

do libovolejšej súradnice. Mapatia má dvojpole možno používať súčitanec brány  $I_1, I_2, U_1$  a ostatné nezávisle mapatia mapatia možno zvoliť libovolne. Súčitanec matice tejto súradnice (ktorá má jasného nenebenský pruhok), prevedieme podľa základného algoritmu do novej súradnice (obr. 67). Vyplňte toto rovnanie, až tiež



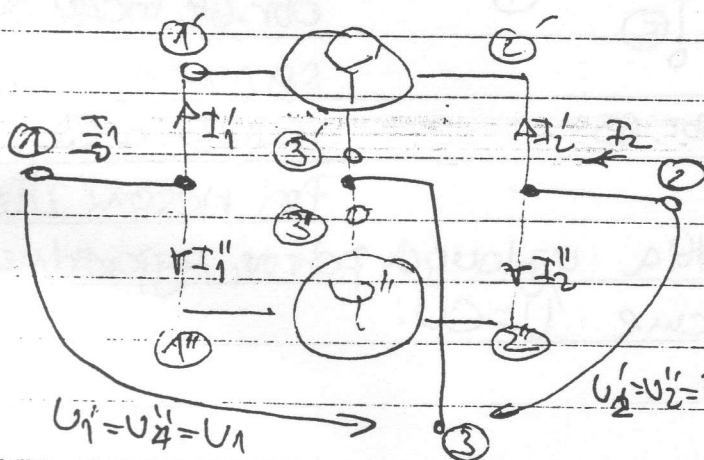
$$\tilde{U}_1 = U_3$$

Obr. 67.

pôvodnú matice  $Q$  použijeme za počítačom (komputerom). Použijte si programy, ktoré vám

### d-a-3. Paralelné spojenie dielčidi sústav.

Paralelné spojenie spojajú len také dielčie sústavy, ktoré majú rovnaký počet uzlov. Vo všetkých dielčidiach sú stavidla orientované rovnakým spôsobom (uzly i súradnice (názvisť napäťovia smerom doľava reprezentujúce prúdy), pri čom sú stavidlá sústavy obojsmene napr. len členami). Paralelnému spojeniu niesmú byť dielčidi sústav, ktoré majú také spojenie, keď rozdielnym spojom sú užly v rámci sústav (Obr. 68) alebo paralelné spojiny sú v súdopredajici rozdielneho polohy (polohy) dielčidi sústav. Na obr. 68 je naznačené



Obr. 68

paralelné spojenie dvoch trojpôlov. Vôbec vo väčšine trojpôlov ako aj v trojpôle, ktoré sú v súdopredajici spojení, sú o označenie orientovania sústav. Pre aktívne sústavy:

$$I' = \gamma' U' \quad I'' = \gamma'' U'' \quad (124)$$

zatiaľ pre významné sústavy

môžme

$$I = \gamma U$$

z Obr. 68 vieme, že pre napäťa  $U' = U'' = U$  platí:

$$U' = U'' = U \quad (125)$$

Doteraz použitím 1kz a utiahnutím (124) - (125) dosadíme:

$$I = I' + I'' = \gamma' U' + \gamma'' U'' = \gamma' U + \gamma'' U = (\gamma' + \gamma'') U = \gamma U \quad (126)$$

takže

$$\gamma = \gamma' + \gamma'' \quad (127)$$

Následne matice  $\gamma$  môžeme dostať súčet dvoch vymenovaných matic dielčidi sústav. Uťah (128) možno použiť na výpočet spojenia m-dielčid sústav, čím obdržíme vzťah:

$$\gamma = \sum_{k=1}^m \gamma(k) \quad (128)$$

Abych priblížil ďalšie paralelné spojenie nechávam dielčidi sústav pri súčetnej súbe metadružstva užlovcu sústav, no hľadám súčin m-dielčid sústav, priblížiť výsledok približne.

(49)

Vzor (49) je velmi dôležitý, protože má jeho základce až pomocí transformací sekvadnic zadaného címitaného maticu získavatelnou výpočetnou formu.

#### 2.2.4. Metoda branových rezistorů.

Metoda branových rezistorů hovoríme taky, aby zjednodušit rozvrat matici v zadání tak, že maticová sekvadna orientovaná tříduje. Samozřejmě i třídy případ, když analyzovaný systém má několik sepraných částí. Správame se se stavky popisujícími zablokování maticovou výměnou.

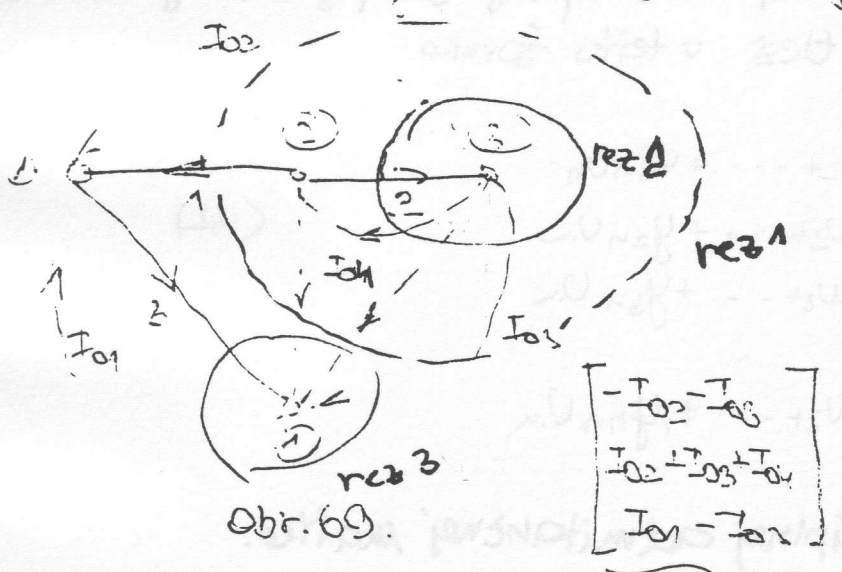
$$I = \Psi U$$

(130)

Je  $\Psi$  stlpcová matice hledaných veličin, kterými jsou všechny součinnosti uzavřené podm.,  $I$  je stlpcová matice zadaných veličin branových průtah a  $U$  je řádcová maticová matice sestávající ze základních matic.

Základní matice  $\Psi$  dostaneme až se sice matic, které obsahují všechnou transformaci matic funkcionující u-poly. Řešení matic branových průtah zistíme transformací uzavřených průtah až do pozitivní tř. nezávislých rezov.

Pozitivní maticy nezávislých rezov je ilustrováno na obr. 69.



$$\begin{bmatrix} -I_{12}^1 - I_{13}^1 \\ I_{12}^1 + I_{13}^1 + I_{23}^1 \\ I_{13}^1 - I_{23}^1 \end{bmatrix}$$

Topologické svody zosobují nezávislé rezové sítě vedené tak, aby přetínaly danou větu, například základní napájení větu. Dostupné jsou algebraicky základní průtahy, které představují křížek ve směru hodiny. Přetínají každou branu výpočetného grafu. Výpočet je založen na algoritmu.

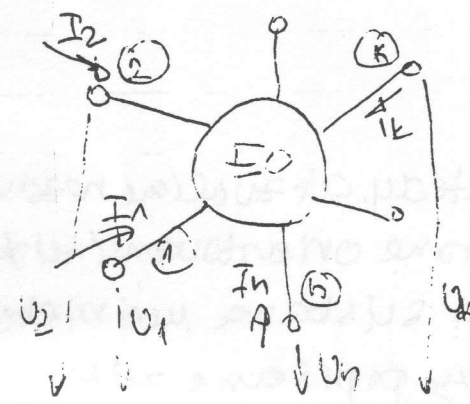
Na akčtu představuje napříjed zdrojové, které přetínají vnitřní rez. Zdroje jsou klasifikovány podle vedení průtahy: k-tot matici vzhledem k rezu oznamuje, že k-tot věta vstupuje do rezu. Přetínají rezové věty sítě. Je důležité, aby rezové věty byly v sítích sítě. Dostupné jsou:

$$1. -I_{12}^1 - I_{13}^1$$

$$2. I_{12}^1 + I_{13}^1 + I_{23}^1$$

$$3. I_{13}^1 - I_{23}^1$$

## 2.2.5. Zoušebenenská metoda uzlových napábi.



Vzťahy uzel

Obr. 70

Uvažujme sústavu EO podľa obr. 70, ktorá má n-uzlov. Špecifikujme teraz pojem uzlového napäcia sústavy, keď referenčným bodom nie je žiadny z už sústavy. Taktto definovaných uzlových napäci je teraz m, teda ich mery zo sústavy dajú označenie uzlov. Uzlovým prúdom bude tie vedenie prúdu, ktorý tebie zo sústavy do pripojeného už sústavy. Použite užové prúdy ( $I_1, I_2, \dots, I_m$ ) majú indexy, ktoré sú zhodné s označením uzlov.

U lineárnej sústave platí medzi uzlovými prúdmi (zobrazenej do stĺpcovej matice  $\mathbf{I}$ ) a medzi uzlovými napäťami (zobrazenej do stlpcovej matice  $\mathbf{U}$ ), lineárny vzťah,

$$\mathbf{I}^* = \mathbf{Y} \mathbf{U} \quad (131)$$

Tie symbol  $*$  označuje štvorcové matice, ktoré nazývame **úplnou admittančnou maticou**. (Indefinite, equifactor, floating matrix). Rovnice (13) môžeme zapísat tiež v tejto forme:

$$\begin{aligned} I_1 &= y_{11} U_1 + y_{12} U_2 + \dots + y_{1n} U_n \\ I_2 &= y_{21} U_1 + y_{22} U_2 + \dots + y_{2n} U_n \\ I_3 &= y_{31} U_1 + y_{32} U_2 + \dots + y_{3n} U_n \\ &\vdots \\ I_m &= y_{m1} U_1 + y_{m2} U_2 + \dots + y_{mn} U_n \end{aligned} \quad (132)$$

### 2.2.5.1. Niektoré vlastnosti úplnej admittančnej matice.

1. Úplná admittančná matica je singulárna matice, pretože jej determinant

$$\Delta^* = 0 \quad (133)$$

jež vsetkých prúrov u každom riadku (stĺpci) je rovný nule, to možno zapísat tiež.

$$\sum_{r=1}^n y_{rs} = 0 \quad (r=1,2,\dots,n) \quad (51) \quad (134)$$

$$\sum_{s=1}^m y_{rs} = 0 \quad (s=1,2,\dots,m) \quad (135)$$

je symbol  $y_{rs}$  reprezentuje prvej matice  $\hat{Y}$ , ktorý ježi v  $r$ -tom riadku  
v stĺpci ( $r$  je prvek  $y_{rs}$  matice  $\hat{\Phi}$ ). Vzťah (135) dokazujeme tým,  
že scítame všetky rovnice (132), čím dostaneme

$$\begin{aligned} \sum_{r=1}^n I_{rr} &= \sum_{r=1}^n y_{r1} U_1 + \sum_{r=1}^n y_{r2} U_2 + \dots + \sum_{r=1}^n y_{rn} U_n = \\ &= \sum_{r=1}^n \sum_{s=1}^m y_{rs} U_s = \sum_{s=1}^m \left[ \sum_{r=1}^n y_{rs} \right] U_s \end{aligned} \quad (136)$$

vzhľadom podľa (132) platí:

$$\sum_{r=1}^n I_{rr} = 0 \quad (137)$$

tak pre nezávislú maticu  $U_s$  ( $s=1,2,\dots,m$ ), ~~musí plodiť~~<sup>je (137) splnené, ak</sup>

$$\sum_{r=1}^n y_{rs} = 0 \quad \text{pre } s=1,2,\dots,m, \quad (138)$$

čím sme dokázali vzťah (135).

Záver. 10. prejavujem, že záväzky sú vždy spĺňané pravidom o nezávislosti, ale  
akty užívateľov matícia zodôsíme o  $\Delta U \neq 0$ . Preto sú všechny platné.

$$I_r = y_{r1} U_1 + y_{r2} U_2 + \dots + y_{rn} U_n \quad (139)$$

$$I_r = y_{r1} (U_1 + \Delta U) + y_{r2} (U_2 + \Delta U) + \dots + y_{rn} (U_n + \Delta U) \quad (140)$$

záväzky (135) a (140) zodôsíme

$$0 = \left[ \sum_{s=1}^m y_{rs} \right] \Delta U \quad (141)$$

z čoho plynie dôsledok (134) už len keď  $\Delta U \neq 0$ .  $\Delta$  plati pre (134) a  
ak je zrejme, že kedyž sú stĺpce (vádzor)  $\hat{\Phi}$  jinak nezávislé  
nezávislou rovnica (vádzor) je takisto väčšia (vádzor)?  
Ak pripustíme, že  $\det \hat{\Phi} = 0$  (142)

(52)

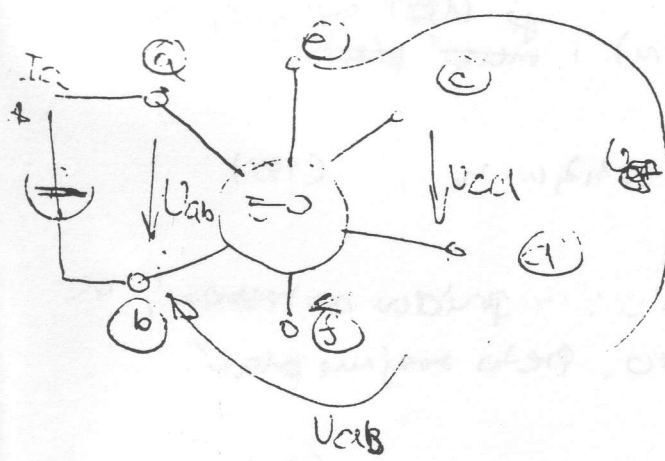
číslicou dôležitou vlastnosťou upnej admittančnej matice  $\Psi$  je, že jej metry algebraické slopeny majú rovnaké hodnoty, t.j. platí

$$\partial = \Delta_{ij} \quad (i,j=1,2,\dots,n) \quad (143)$$

čo znamená, že determinanta matice, ktorú vypočнемe zo  $\Psi$  po vynechaní jej libovolného riadku a stĺpca, má stejnú hodnotu  $(-1)^k$ , kde  $k$  je počet nepárných riadkov a stĺpcov ktoré sú vypočítané mal vždy rovnaké hodnoty. Dôkaz túto časť (143) vypĺňa z predchádzajúcich rovníc (132) možnosť uvažovať i-tý riadok ako súčinu iných riadkov, ktoré sú výsledkom využitia (143). Pretože vtedy výsledok je rovnaký, musí platiť (143).

### 2.2.5.2. Základné vypočítanie rovníc.

Už máme zo (131) vypočítanú  $\hat{U}$ , nemôžeme násťať ďalšie rovnice z hľadiska inverznej matice, pretože môžeme sám vypočítať  $\Psi$  pre jednotku dvoj-čižežný potenciál, uložené do pôsobenia z uzlov. Neexistujúce pravidlo je (Obr. 71). Potom pre uzly sa napíše:



Obr. 71

$$U_d = 0 \quad (144)$$

Pretože máme m-lineárne závislosti v rímskej, mimo ňu sú kolineárne s nimi a teda sú kolineárne. Teda máme  $m-1$  rovníc, ktoré sú kolineárne s nimi a teda sú kolineárne. V matici  $\hat{\Psi}$  vynechávame b-tý stĺpec naďalej čím vypočítame matice  $I_b$ ; v matici  $\hat{\Psi}$  je to prejavi vynechaním b-tého riadku, čím dostaneme matice  $\hat{\Psi}_b$ .

Pretože  $U_d = 0$ , vynechávame v  $\hat{\Psi}$  a-tý riadok (Obr. 71) → v získanej matici  $\hat{\Psi}$ -a-tý riadok je vypočítaný. Potom dostaneme:

$$I_b = \hat{\Psi}_{b:a}^{-1} U_a \quad (145)$$

z ktorej vymenújeme a-strieknú admittančnú maticu  $\hat{\Psi}_{b:a}$  vypočítame, ktoré je výška písat:

$$U_a = \hat{\Psi}_{b:a}^{-1} I_b \quad (146)$$

At je zložená napájajúca len zdrojom prúdu  $I_a$ , nazeme pre výpočet  
napätie  $U_{ab}$ , poukáž na báze súčítace Ekvátorovo pravidlo tento  
zdroj:

$$U_{ab} = \frac{1}{c} \Delta_{ba} : ab I_a = \frac{1}{c} \Delta_{ab} : ba I_a \quad (144)$$

zdroj

$$\text{dél } \overset{*}{Q}_{b:a} = c \quad \text{a } \overset{*}{\Delta}_{ba} : ab = \overset{*}{\Delta}_{ab} : ba \quad \begin{matrix} \text{vstupná brachna} \\ \text{počítanie} \\ \text{napätie} \end{matrix}$$

je už vás  $\overset{*}{\Delta}_{ab} : ab$  oznámy a výpočet je algebraický aplikácií. Dizgi-  
racionálneho algebraického aplikácia  $\overset{*}{\Delta}_{ab} : ab$  je rovná  $(-1)^{a+b}$  nasobku zlož-  
itostného matice, ktorú zloženie vyznačujú faktory  $a, b$  a stupnice  
matice. Čiže pre počet nepravý ažel výpočtu výsledkov  
sú výsledkové stupně  $\alpha$  a  $\beta$  počet uzavŕňajúcich výmen v stupniach  
voľných malov a v stupniach možnosti napätie, potrebujúceho  
výsledkového stupňa  $\alpha + \beta$ . Táto možnosť je tiež pre výpočet algebraického aplikácie.

pre  $\overset{*}{\Delta}_{2:1} = (-1)^{2+1} = -1$ , ( $a=2, b=1; \alpha=2$ ), alebo pre  
 $\overset{*}{\Delta}_{3:2} = (-1)^{3+2} = 1$  ( $a=3, b=2; \alpha=3, \beta=2$ );

Napätie  $U_{ab}$  možno vypočítať tiež ako rotaciou napäť  $U_{ba}$  a  
takto:

$$U_{ab} = U_{ba} - U_{ab} = \frac{1}{c} [\overset{*}{\Delta}_{ab} : ab - \overset{*}{\Delta}_{ab} : ab] I_b \quad (145)$$

Druhiny (147) a (148) sú istejne že platí:

$$\overset{*}{\Delta}_{ab} : cd = \overset{*}{\Delta}_{ab} : cb - \overset{*}{\Delta}_{ab} : ab \quad (147)$$

Studenie platí tiež

$$\overset{*}{\Delta}_{ab} : cd = \overset{*}{\Delta}_{ac} : cd - \overset{*}{\Delta}_{bc} : cd \quad (148)$$

z toho (147) platí tiež pre napätie medzi uzlavami  $a, b, c, d$ . t.j. pre výs-  
ledokame

$$U_{abcd} = \frac{1}{c} \overset{*}{\Delta}_{ab} : cd I_a \quad (149)$$

zistiu (149) možme vypočítať súčin impozitnej súčiny  $\overset{*}{\Delta}_{ab} : cd$   
súčinou súčin  $a, b, c, d$ , takto:

$$U_{abcd} = \frac{U_{ab}}{I_a} = \frac{\overset{*}{\Delta}_{ab} : cd}{I_a} = \quad (150)$$

(55)

redukcie  $V_{ef}$  dostavme použitím (147) tento vzťah:

$$V_{ef} = \frac{\Delta_{ab:ef}}{c} I_a \quad (153)$$

ocelenej rovnice (153) a (151), a (155) a (147) dôsledne potom tiež  
renošy napäť:

$$\frac{V_{ef}}{U_{ca}} = \frac{\frac{\Delta_{ab:ef}}{c} I_a}{\frac{\Delta_{ab:cd}}{c} I_a} = \frac{\Delta_{ab:ef}}{\Delta_{ab:cd}}, \quad k_U = \frac{V_{ef}}{U_{ca}} = \frac{\Delta_{ab:ef}}{\Delta_{ab:cd}} \quad (154)$$

$$\frac{V_{ef}}{U_{ca}} = \frac{\frac{\Delta_{ab:ef}}{c} I_a}{\frac{\Delta_{ab:ab}}{c} I_a} = \frac{\Delta_{ab:ef}}{\Delta_{ab:ab}}, \quad k_U'' = \frac{V_{ef}}{U_{cb}} = \frac{\Delta_{ab:ef}}{\Delta_{ab:ab}} \quad (155)$$

### 1.2.5.3. Zostavovanie výchozích rovnic.

Prípade melďaj užlouky napäť budeme pracovať s čívaním sústav  
rovnic je to sústava dvoch vzťahov

$$I^* = Y U \quad (156)$$

zistava

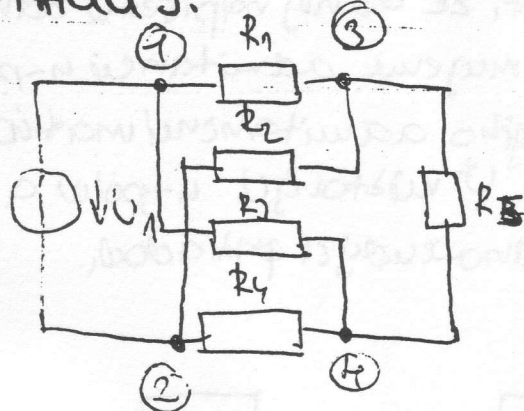
$$I = Y U \quad (157)$$

Základnej rovnice (154) vieme už zostaviť tak pre melďaj užlouky  
pôti oto i pre metódu napäť užlouky potom. Matice rovnic  
(157) dostaneme z (154) tak, že I doplnime o prvej In (.  
 $I^* = [I^T \quad I_n \quad J^T]$ ), kde In je rovná kôporne vzťahu sa ďalej užlo-  
jú prudom  $I_1, I_2, \dots, I_p$ . Matice U zostavime podľa vzťahu

$$U = [U^T \quad U_n \quad J^T] \quad (158)$$

Zostavíme tak, že U doplnime o ďôlžsi riadok a stĺpe. Prvky  
postedujúci riadok a v poslednom stĺpci sú rovnajú kôporne  
vzťahu sa ďalej prudom upravené miestami (stĺpcí) regularnej  
matriky U. Inak inštanciu Uplne, alebo sústenu admittancie  
či sa zo stavit podľa algoritmu, ktorý platí pre regulárne  
schématické maticy v prípade melďaj užlouky napäť.

### Príklad 5.



Pre obvod uvedený na obr. 42, vypočajte vstupný odpor. Pre hodnoty párametrov obvodových prútorov platí:

$$R_1 = 1 \text{ k}\Omega \quad R_3 = 4 \text{ k}\Omega \quad R_5 = 10 \text{ k}\Omega$$

$$R_2 = 2 \text{ k}\Omega \quad R_4 = 5 \text{ k}\Omega$$

Riešenie:

Počíť (152) pre RUST platí:

$$RUST = \frac{\Delta_{12}:12}{C} = \frac{\Delta_{12}:012}{\Delta_{2:2}}$$

Nakol'ke v obodech prípravoch, (v obodech algebraických doplniek), sú nechávané f. riadok a 2. stĺpec, postupne zostavíme reakčovou admittanciu matice  $\Psi_{2:2}$ :

$$\Psi_{2:2} = \begin{matrix} 1: \\ 2: \\ 3: \\ 4: \end{matrix} \left[ \begin{array}{c|ccc} G_1 + G_3 & | & -\epsilon_1 & | & -\epsilon_3 \\ -G_1 & | & G_1 + G_2 + G_5 & | & -G_5 \\ -G_3 & | & -G_5 & | & G_3 + G_4 + G_5 \end{array} \right]$$

### 1. 8.5.4. Transformácia súradníčí.

Transformáciu súradníčí realizujeme spôsobom, s ktorým sme sa ē zoženčili, t.j. najskôr pôvodné uzlové napätia pomocou svých hodnôt a pomocou transformačnej maticy, nē skôr zistíme funkcie funkcií pre počítanie

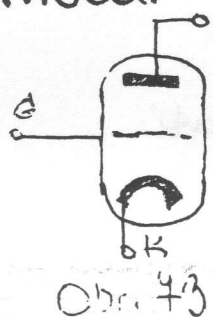
### 1. 8.5.5. Analýza obvodov s regulárnymi h-pólmami.

Regulárnosť je tu charakterizovaná priamo s ohľadom na použitie webov, t.j. využíva sa v prípade, melódy užívajúce napäť (vstupné napäť) hľadajúce prúdy, ktorých admittancia matice existuje. Čo hľadajú triistory, trioda, pentoda, zdroje prúdu, výkonové záplňky, transformátor (veľký) a gyroskop je výhodný, čo vychádza z matícovej rovnice (152), t.j. tracujme  $\Delta^+$ .

(56)

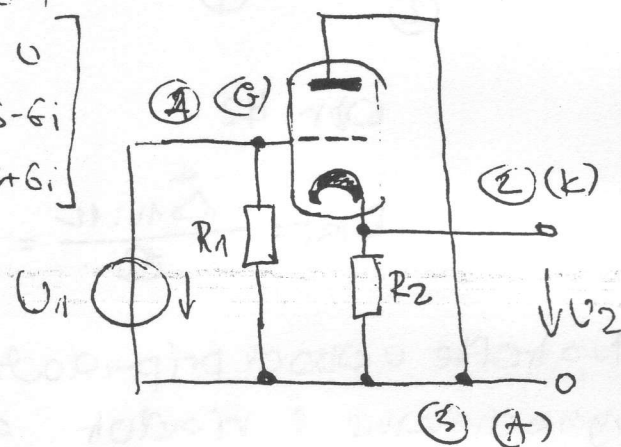
Po zastavení maticy  $\hat{Y}$  postupujeme tak, že do nej nepiseme admittance dvojpôla. Potom do nej transformujeme admittance u-pôla je vhodné, aby u každeho u-pôla, pozdĺžne jeho admittancnej matice, v časovej ~~časové~~ vlnové stručnej prehľade  $\hat{Y}$  niesť výčet u-pôla a vystremiti ilustrovať ich aplikáciu v jednotlivých príkladoch.

a. Trioda. (Obr.73)



Obr. 73

$$\hat{Y} = \begin{pmatrix} (G) \\ (A) \\ (K) \end{pmatrix} \begin{pmatrix} (E) & (A) & (K) \end{pmatrix} = \begin{pmatrix} 0 & 0 & 0 \\ S & G_i - S - G_i & 0 \\ -S & -G_i + S + G_i & 0 \end{pmatrix}$$



Obr. 74

### Príklad 6.

Pre katodový stredovací podľa obr.74, vypočítajte prenos výpadku  $K = U_2/U_1$ .

Riešenie:

Riešenie (55) platí pre prenos napäti tento vzťah

$$K = U_2/U_1 = U_{13}/U_{23} = \frac{\Delta_{13:23}}{\Delta_{13:13}}$$

? ktorého význam, že pre výpočet  $K$  potrebujeme použiť stratenú admittanciu matice  $\hat{Y}_{13:3}$ .

$$\hat{Y}_{13:3} = (2)\underline{\underline{\Delta}} \begin{bmatrix} (1)(G) & (2)(K) \\ -S & S_a + G_2 + S + G_i \end{bmatrix}$$

Dosiahnutím pre výpočet do uverca pre výpočet k cieľovým.

$$R = \frac{\Delta_{13:23}}{\Delta_{13:13}} = \frac{-S (-1)^3}{(S_2 + S + G_i) (-1)^4} = \frac{S}{S + G_i + G_2}$$

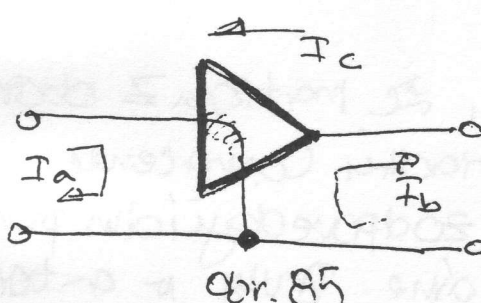
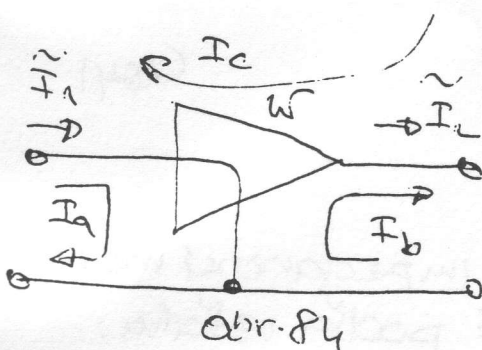
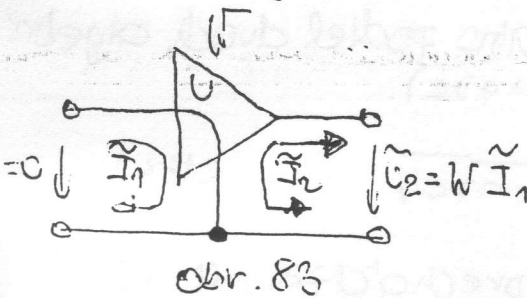
3

## Analýza obvodov s neeregulárnymi prúdmi.

### 3.1. Metóda slúčových prúdov.

Medzi neeregulárne prúdy z hľadiska metódy slúčových prúdov zaujeme tie prúdy, ktorých admitančná matice  $\not\exists$  neexistuje. V rámci našho kurzu sa tu budeme zaoberať ideálnymi OZ, convertormi (vrátane špeciálnych prípadov - transformátor, ZUV) a PLN.

#### 3.4.1. Ovody s IOZ



IOZ s jednou svorkou dostaneme zo ZNRP (Obr. 83), takt., že  $w \rightarrow \infty$ .

Keďže OZ zapojený v sústave tak, že sa ke dotykovému sprútu  $I_a$ ,  $I_b$  a  $I_c$  (Obr. 85). Prevedieme najskôr impedančnej maticu ZNRP

$$\begin{bmatrix} \tilde{U}_1 \\ \tilde{U}_2 \end{bmatrix} = \begin{bmatrix} 0 & 0 \\ w & 0 \end{bmatrix} \begin{bmatrix} \tilde{I}_1 \\ \tilde{I}_2 \end{bmatrix} \quad (159)$$

do súradnej sústavy v ktorej leží IOZ. (Obr. 84). Potom, použitím transformačných rovníc

$$\tilde{I}_1 = I_a - I_c \quad \tilde{I}_2 = I_b - I_c \quad (160)$$

sú parametre  $w$  dostaneme do nasledujúcich poličiek matice impedančnej matice funkcie podľa obr. 84:

$$a: (\tilde{I}_1) \quad b: (\tilde{I}_2) \quad c: (\tilde{I}_1)(\tilde{I}_2)$$

$$\tilde{I} = b: (\tilde{I}_2) \quad \pm w \quad \quad \quad \pm w \quad (170)$$

(5)

Ľubovoľný algebraický doplnok matice  $\Delta$  (označme ho  $\Delta'$ ) môžeme rozdeliť podľa parametra  $w$  takto:

$$\Delta' = \Delta - w \Delta_{b:a} \quad (b > c; a > c) \quad (162)$$

kde bez 'sú algebraickej' doplnky matice  $\Delta$ , v ktorej sme mynech parameter  $w$  a

$$\Delta_{b:a} \quad (b > c; a > c)$$

je algebraický doplnok príruču v b-tom riadku a a-tom stĺpcu matice, ktorú odstranime z matice  $\Delta$  (bez príruču) tak, že b-tý riadok pripravíme k c-tému riadku a a-tý stĺpec pripravíme k c-tému stĺpcu.

Nakoniec obnovové funkcie počítame ako podiel dvoch algebraických doplnkov, napr.

$$F = \frac{\Delta'}{\Delta} = \frac{\Delta - w \Delta_{b:a}}{\Delta - w \Delta_{b:a}} \quad (b > c; a > c) \quad (163)$$

dostaneme pre  $w \rightarrow \infty$  (tedy  $\gtrsim$  NRP prechádzajúce  $\rightarrow \infty$ ),

$$F = \frac{\Delta_{b:a}}{\Delta_{b:a}} \quad (b > c; a > c) \quad (164)$$

To ale známená, že  $\infty$  transformuje impedančné matice  $\Sigma$  sústavy bez zosilňovača na matice  $\Upsilon$  podľa vzťahu:

$$\Upsilon = \Sigma_{b:a}'' \quad (b > c; a > c) \quad (165)$$

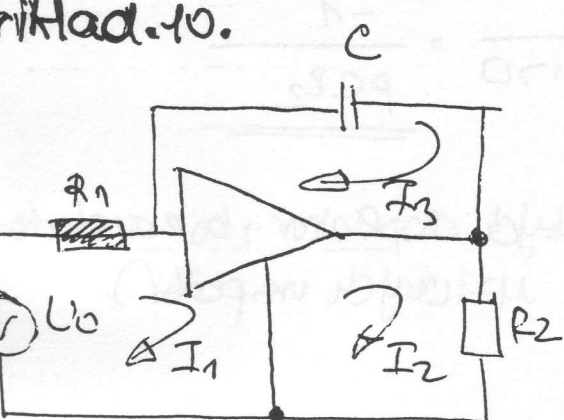
Symbolika použitá vo vzťahu (165) hovorí, že matice  $\Sigma$  obdržíme z matice  $\Sigma''$  tak, že príruču v b-tom riadku (označenie v závorku napäť od :), pripravíme k zodpovedajúcim príručkám v c-tom riadku a b-tý riadok mynechime. Príruču v a-tom stĺpci (označenie napäť od :) pripravíme k zodpovedajúcim príručkám v c-tom stĺpci a c-tý stĺpec mynechime.

AK v sústave neexistuje rezistívna súčasť  $c$ , potom sa transformačný preceptis (165) zjednoduší na ugyaz

$$\Upsilon = \Sigma_{b:a}'' \quad (166)$$

zj: v matici sústavy  $Z$  bez  $0\Omega$  my mechanické b-tý nájdeme a-tý tlpec.

Náhad. 10.



Obr. 86.

Pre obvod podľa obr. 86, my počítajte prenos prúdov

$$K_T = I_2 / I_1 .$$

Riešenie:

Pre impedančnú maticu sústavy podľa obr. 86, bez uvaženia uplynu  $0\Omega$  dostávame:

$$\begin{array}{c} \text{1:} \\ \text{2:} \\ \text{3:} \end{array} \left[ \begin{array}{ccc} R_1 & | & \\ & | & \\ & | & R_2 \\ & | & \\ & | & +1/\text{PC} \end{array} \right]$$

Keďže transformáciu (105) obdržime matice, -impedančnú pišejúcu sústavu podľa obr. 86:

$$Z = \frac{1}{\Delta} \begin{bmatrix} 0 & 2 \\ 3 & R_2 - 1/\text{PC} \end{bmatrix} = Z_{2:1}^{(2>3:1>3)}$$

-e prúja  $I_2$  potom plati:

$$I_2 = \frac{\Delta_{1:2}}{\Delta} U_0 \quad \text{kde} \quad \Delta_{1:2} = 1/\text{PC} \quad \Delta = -R_1 R_2$$

t. o.

$$I_2 = \frac{1}{\rho C R_1 R_2} U_0 .$$

-e prenosprúdov  $K_T = I_2 / I_1$ , potom dostávame:

$$K_T = I_2 / I_1 = \Delta_{1:2} / \Delta_{1:1} = \frac{-1/\text{PC}}{-(-R_2)} = \frac{1}{\rho L_2 C} =$$

$$K_T = I_2 / I_1 = I_2 / (\Delta_{1:1}) = \Delta_{1:2}$$

(60)

Štart riešenia, možno modifikovať tak, že použijeme viacnačoboj algebrických doplnkov:

$$K_2 := \frac{I_2}{I_1} = \frac{\bar{D}_{1:2}}{D_{1:1}} + \frac{D_{1:2}}{\Delta_{1:1}} = \frac{\Delta_{21:12}}{\Delta_{21:13}} = \frac{-1}{PC_2}$$

(Spôsob využitia viacnačobojich algebrických doplnkov, bolo vysvetlený v kapitole vyučovanej metódou maticových napäť).

Iné riešenie:

TOZ obdržime z ZURP podľa obr. 83 pre  $W \rightarrow \infty$ , ktorého  
impedančné matice pre  $W \rightarrow \infty$  pozriame:

$$\tilde{Z} = \begin{bmatrix} \tilde{R}_1 & \tilde{C}_1 \\ \tilde{C}_1 & \tilde{R}_2 \end{bmatrix} = \begin{bmatrix} 0 & 0 \\ w & 0 \end{bmatrix}$$

Táto matice sa do matice  $Z'$  transformuje takto:

$$\tilde{I}_1 = I_1 \quad \tilde{I}_2 = I_2$$

E.j.

$$Z' = \begin{bmatrix} 1(a) & 2(b) & 3(c) \\ R_1 & -w & R_2 \\ -w & R_2 & w \\ 3(d) & w & 1/PC - w \end{bmatrix}$$

Totom preprínia  $I_2$  platí:

$$I_2 = (\Delta_{1:2}/\Delta) V_0 ; \quad \Delta_{1:2} = (-1)^{1+2} \begin{vmatrix} -w & w \\ w & 1/PC - w \end{vmatrix} = -(w/PC + w^2) = -w/PC$$

$$\Delta = R_1 R_2 (1/PC - w) = R_1 R_2 / PC - w R_1 R_2$$

= cero:

$$I_2 = 1/PC w (R_1 R_2 / PC - w R_1 R_2)$$

re O&S platí:  $\tilde{W} \rightarrow \infty$ , t.j. pre  $I_2$  dosadime:

$$i_2 = \lim_{W \rightarrow \infty} \frac{U_0 w/pc}{W \left( \frac{R_1 R_2}{w/pc} - R_1 R_2 \right)} = -\frac{1}{PC R_1 R_2} U_0$$

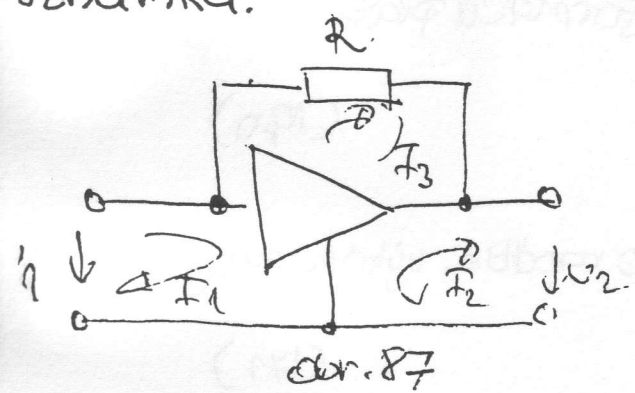
zobeme možno vypočítat prenosový koeficient  $k_I = I_2/I_1 = \Delta I_2 / \Delta I_1$

$$\text{ze } \Delta I_1 = (-1)^{n+1} \begin{vmatrix} R_2 & W \\ 0 & -W + \eta/pc \end{vmatrix} = R_2/pc - W R_2$$

colej poč dosadení dosadime: (pre O&S)

$$\tilde{\gamma}_T = \lim_{W \rightarrow \infty} \frac{1/pc}{R_2/w/pc - R_2} = -\frac{1}{PCR_2}$$

závěrka.



Pre impedančné matice obvodu podľa obr. 87 platí:

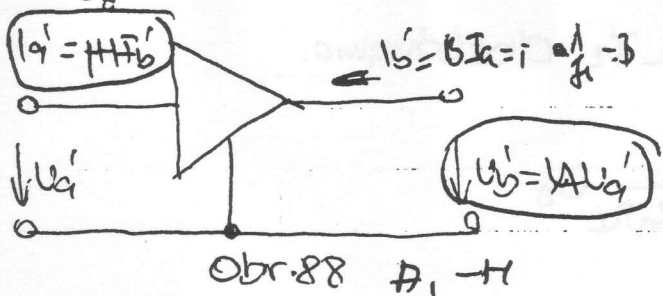
$$\tilde{Z} = \tilde{Z}^{[3>2 - 3>1]} = \begin{cases} \tilde{Z} & 1: \\ R & 2: \\ 0 & 3: \end{cases}$$

$$\begin{bmatrix} U_1 \\ U_2 \end{bmatrix} = \begin{bmatrix} 0 & 0 \\ R & 0 \end{bmatrix} \begin{bmatrix} I_1 \\ I_2 \end{bmatrix}$$

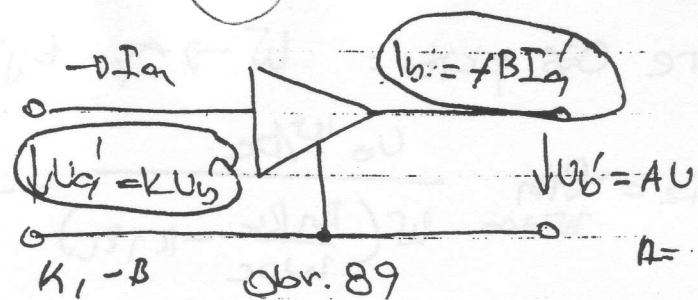
Atica  $\tilde{Z}$ -tej reprezentuje impedančnej atice  $Z_{PLN}$ , dôstecku toho, obvoda podľa obr. 87 predstavuje model  $Z_{PLN}$ .

### 9.1.2. Obvody s konvertormi. (2.3.3)

Do tejto skupiny nazívame obvody s jediným meničom výkonu obvody NIK. Ziadny z uvedených príkladov nemá impedančnú matice. Možeme ich tiež pohľadať za transformátor súradnic nácul a napäť, pretože u týchto obvodov je príkon (existuje aj dvojzónový vzťah medzi prúdom  $I_2$  (napäťom  $U_2$ ) na výstupnej bode a súčinom  $I_1$  (napäťom  $U_1$ ) na výstupnej bode) (obr. 88, 89).



Obr. 88 A, -H



Obr. 89 K, -B

IK podľa obr. 88/89 transformuje pôvodné prúdy  $I'$  na  $I$  podľa vzťahu

$$I' = C I \quad f' = C f \quad (164)$$

keď počet prúdov  $I$  je o jeden prúd menší ako počet prúdov  $I'$  (protože výstupný prúd IK je lineárne závislý od vstupného prúdu). Keď ten istý príkon transformuje napätie tak, že platí:

$$U = D U' \quad U = D \tilde{U} \quad (168)$$

tedy  $U$  je nové a  $U'$  pôvodné napätie (j.).

$$U = D Z' C I = Z I \quad (169)$$

Z čoho pre impedančnú maticu po transformácii platí:

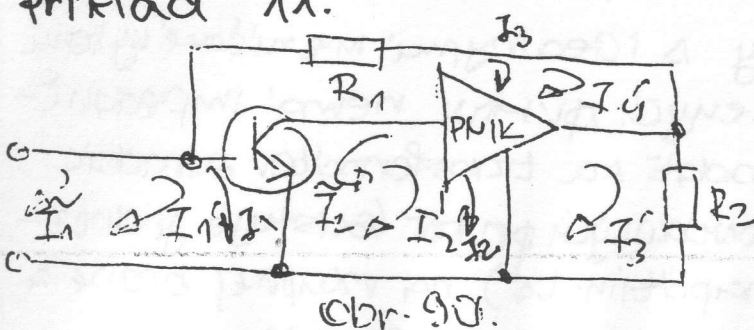
$$Z = D Z' C \quad (170)$$

Keď sa transformuje prúd v inom panere ako napätie, výkon nie je konštantný a preto vo všeobecnosti neplatí:

$$D T = C \quad (171)$$

Nenulové prúdy matíc  $C$  a  $D$  sú vo všeobecnosti miestami odhadnutej 1. Matice  $D$  odstránime z matice  $C$  tak, že najskôr tvoríme matice  $C$  a potom nahradíme prevozové prúdy zo súpravy súčinnimi prevozovými napäťia.

### Priklad 11.



Obr. 90.

Pre obvod uvedený na obr. 90, zostavte impedančnú maticu.

Riešenie:

(63)

a. zostavenie impedančnej matice sústavy bez T a PUIK

$$\mathcal{Z} = \begin{bmatrix} (1') & (2') & (3') & (4') \\ (1') & | & | & | \\ (2') & | & | & | \\ (3') & | & | & R_2 \\ (4') & | & | & | \\ & | & | & -R_2 \\ & | & | & R_1 \end{bmatrix}$$

b. transformácia impedančnej matice tranzistora do matice  $\tilde{\mathcal{Z}}$ 

$$\tilde{I}_1 = I'_1 - I''_1$$

$$\tilde{I}_2 = I'_2 - I''_2$$

$$\tilde{\mathcal{Z}} = \begin{bmatrix} Z_{11} & Z_{12} \\ Z_{21} & Z_{22} \end{bmatrix}$$

$$\begin{array}{c} (1) \quad (\tilde{1}) \\ (2) \quad -(\tilde{2}) \\ (3) \\ (4) \quad -(\tilde{4}) \quad (\tilde{2}) \end{array} \left[ \begin{array}{c} z_{11} \\ -z_{21} \\ z_{22} \\ -z_{11} + z_{21} \end{array} \right] \begin{array}{c} -(2) \\ -z_{12} \\ z_{22} \\ z_{12} - z_{22} \end{array} \right] \begin{array}{c} -(1)(\tilde{2}) \\ -z_{11} + z_{12} \\ -z_{22} + z_{21} \\ R_2 \\ R_1 + z_{11} - z_{12} \\ -z_{21} + z_{22} \end{array} \right]$$

Transformácia impedančnej matice FET-u do  $\tilde{\mathcal{Z}}$ , - zameňanie závislých prúrov a napäťí do súčasnej reprezentácie počtu súradníč.

$$I'_1 = I_1$$

$$I'_2 = I_2 \rightarrow$$

$$\cancel{I'_3} = I_3$$

$$I'_1 - I''_1 = B(I'_2 - I''_2)$$

$$I'_3 - I''_3 = B(I'_2 - I''_2)$$

$$I'_3 = B I'_2 + (1-B) I''_3$$

$$I'_1 = I_1$$

$$I'_2 = I_2$$

$$I'_3 = B I'_2 + (1-B) I''_3$$

$$I''_3 = I_3$$

$$(1-B)(3')(4')$$

trans.  
práca

$$\begin{array}{c} (1) \quad (1) \\ (2) \quad (2) \times (3') \\ (3) \quad (1-B) I''_3 \quad (4) \end{array} \left[ \begin{array}{c} Z_{11} \\ -Z_{21} \\ -Z_{11} + Z_{21} \end{array} \right] \begin{array}{c} (1') B(3') \\ -Z_{12} + B \\ Z_{22} + KB R_2 \\ B(1-K) R_2 + \end{array} \right] \begin{array}{c} -Z_{11} + Z_{12} \\ -Z_{22} + Z_{21} + \\ (+R_2 K(1-B)) \\ (R_1 + Z_{11} - Z_{12} + Z_{22} - Z_{21} + \\ + R_2(1-B)(-K)) \end{array} \right]$$

A.3.1.3. Obuvay zo zdrojom príruč riadeného ~~pracovnou~~

$$\underline{k=0}$$

Zdroj prúdu následujúcim prúdom zložíme zo ľimitačného konvertora  
 (obr. 09) pre  $\delta=0$ . Pri analýze postupujeme tak, ako u ľimitačného konver-  
 tora. Prenos napäťia z výstupu na vstup  $\delta$  ale bukový ( $k=0$ ).  
~~Prenos napäťia~~

1-3. 1-4. Obvody so zdrojom napäcia riadeného napättíom  $H=0$   
 LRU dostaneme z LK (ax-89) ak  $\beta=0$ , t.j. ak prenos  
 níau z výstupnej brány na vstupnú bránu je nulový.  
prvou príčinu

1.3.1.5. Ovady so zdrojom vodnej riadenym napätiom.

ZPRN nemá impedance matice a nie je to ani zvláštny prípad 1K. Možno ho však potlačiť za zvláštny prípad funkčnosti (mesí mevneho), ktorý má admittance matice danú výčasom

$$\Psi = \begin{bmatrix} 0 & S_1 \\ -S_1 & 0 \end{bmatrix} \quad (17c)$$

admitanci matice ZPPN odczaremie z przedstawiaj $\acute{c}$ ej maticy  
tak,  $\exists S_0 \succ 0$   $a - S_0 = S$ . Impedancja maticy  $Z$  osta-  
remie inwersja maticy, t.j.

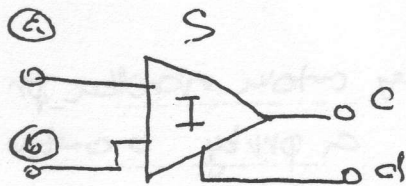
$$T_{\text{B}}^{\text{B}} = \begin{bmatrix} 0 & -1/S_2 \\ 1/S_1 & 0 \end{bmatrix} \quad (173)$$

en opdt'  $s_1 \rightarrow 0 \Rightarrow 1/s_1 \rightarrow \infty$  en  $-1/s_2 = s$ . februarije  
uitbundig, dat na analyse obsolet positieve zo  $\Sigma P N \rightarrow$   
positieve met een uitzoekrapport.

### 2.3.2 Metoda uzlových napětí.

Mezi nepravidelné obvodové průby z hlediska metodiky uzlových mřížek patří různé OZ, I<sub>K</sub>, ZNRP, ZPPP a ZNRP. Všechny uvedené průby (které poskytne) můžeme počítadlat za transformátory sítirodic. Díl 2 (obr. 91) dostaneme např. jako limitní případ diferenčního zdroje (druh vraceného magnetu, kdy  $S \rightarrow \infty$ ). At  $\delta = \pi/2$  - D-ZPR. A tímto vraceným magnetem, když je zapojený tak, že vstupní poloviny súvisejí připojeny k uzlu  $\oplus$  a výstupním do súvisek + už v c. 91 (obr. 91-2), dostaneme

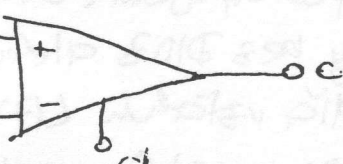
65



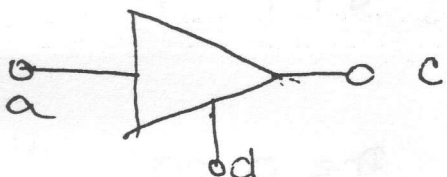
Obr. 91

$$\lambda_1 = \lambda_2 = 0 \quad (144)$$

$$\lambda_2 = \lambda_c = S u_{ab}$$



Obr. 92



Obr. 93

Na základe týchto rovníc môžeme zosteriť upravu admittančnej matice  $\tilde{Y}$  takto:

$$\tilde{Y} = \begin{bmatrix} a & b & c & d \\ b & a & -s & s \\ c & -s & a & -s \\ d & s & s & a \end{bmatrix} \quad (144')$$

Každý algebraický doplnok  $\Delta$  uprostred admittančnej matice možno rozviesť dodatk. parametra  $S$ . Potom pre výsledné má:

$$\Delta = \tilde{\Delta} + S \tilde{\Delta}_{c:a}^{[c>a: a>b]} \quad (145)$$

zde  $\tilde{\Delta}$  označuje doplnok matice, bez parametra  $S$ . Pretože každá reálná funkcia sa roznia podielu dvoch algebraických doplnkov, zde pre  $S \rightarrow \infty$  (v čitateli i menovateli) výsledok (145) má

$$\Delta \rightarrow \tilde{\Delta}_{c:a}^{[c>a: a>b]} \quad (146)$$

(istme ak je u predošlom odsetku) To ale znamená, že DIUZ informuje matice sústavy  $Y$  bez DIUZ na matice  $Y$  takto:

$$Y = \tilde{Y}_{c:a}^{[c>a: a>b]} \quad (147)$$

je znázomujúci oz (Obr. 93), kde

$$b=d \quad (148)$$

potom vzťah (147) zmení ma

$$Y = \tilde{Y}_{c:a}^{[c>b: b>b]} = \tilde{Y}_{b:b}^{[b>c: b>b]} \left[ \begin{array}{l} Y_{c:b}^{[c>b: b>b]} \\ Y_{c:a}^{[c>b: b>b]} \end{array} \right] \quad (149)$$

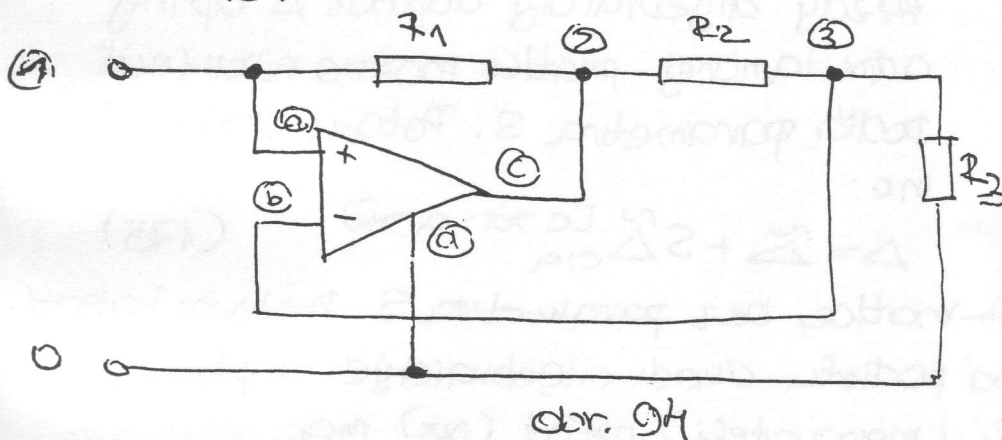
(40)

(66)

Pri ťažnej strane návodu (144) interpretujeme tak, že prvej c-tom riadku pre čítanie k zodpovedajúcim príjomom v d-tom riadku a prvy v c-tor stĺpci, priprávame k zodpovedajúcim príjomom v b-tom stĺpcu, a ostatné uynecháme riadok c a stĺpec a.

Pri analýze obvodov > D10Z alebo 10Z postupujeme tak, že nás stôr zostavíme admittančnú matice sústavy bez D10Z alebo 10Z a potom urobíme transformáciu súradnic podľa vzťahu (177) alebo (179). Pri analýze môžeme postupovať i tak, že nás stôr urobíme ažžen so ZPLV, ktorého admittančná matice je daná vzťahom (146'). Užšteckosť vzťahy, elektrické netomiec ako limituj prípade pre  $\rightarrow \infty$

Príklad 12.



Pre obvod podľa obr. 94. hypodôjte vstupnémi impedanciami.

Riešenie.

Riešenie: 1. Spôsob.

a) Admittančná matrica bez D10Z:

$$Y = \begin{bmatrix} (1)(a) & (2)(c) & (3)(b) & 0(c) \\ (1)(a) & B_1 & -B_2 & 0 \\ (2)(c) & -B_1 & B_1 + B_2 & -B_2 \\ (3)(b) & & -B_2 & B_2 + B_3 \\ 0(c) & & & -B_3 \end{bmatrix}$$

rezonančné

$$\Delta_{\text{Lust}} = \Delta_{1:1} / \Delta$$

transformáciu súradnic podľa (144) urobíme tak, že riadok uye-  
necháme (a je spojená po reťazujúcich užom) a stĺpec b priprávame  
- stĺpu a, netomiec stĺpec b uynecháme. Tým dostaneme

$$Y = S(b) \begin{bmatrix} G_1 + G_2 & -G_2 \\ -G_2 & G_2 \end{bmatrix}$$

(04)

$$\text{Z dôvodu: } \Delta_{1:n} = -G_2 \quad \Delta = -G_1 G_2 + G_1(G_2 + G_3) = G_1 G_3$$

a teda:

$$I_{\text{UST}} = -\frac{G_2}{G_1 G_3} = -\frac{R_1 R_3}{R_2}$$

Druhý spôsob riešenia:

U obvodu podľa obr. 94 namiesto DZPRN uvažujeme DZPRN - Najstá upísané admitančné matice obvodu bez DZPRN a potom dotejto admitančnej matici, do príslušnej poli upísané prúdy matice DZPRN vedením spôsobom odstavenie.

1(a)      2(c)      3(b)

$$Y = \begin{pmatrix} 1 & 1 & 1 \\ 2 & 1 & 1 \\ 3 & 1 & 1 \end{pmatrix} \begin{pmatrix} G_1 & -G_1 & 0 \\ -G_1 + G_2 & G_1 + G_2 & -G_2 - G_3 \\ 0 & -G_2 & G_2 + G_3 \end{pmatrix}$$

stromy pre  $I_{\text{UST}}$  platí:

$$I_{\text{UST}} = \Delta_{1:n} / \Delta$$

ztoľko:

$$\Delta_{1:n} = \begin{vmatrix} G_1 + G_2 & -G_2 - G_3 \\ -G_2 & G_2 + G_3 \end{vmatrix} = (G_1 + G_2)(G_2 + G_3) - G_2^2 - G_2 G_3 = \\ = G_1 G_2 + G_1 G_3 + G_2 G_3 - G_2^2$$

$$\Delta = G_1(G_1 + G_2)(G_2 + G_3) + G_1(G_2 + G_3)(G_2 - G_1) - G_1 G_2(G_2 + G_3) = \\ = G_1 G_2 G_3 + G G_1 G_3$$

$$I_{\text{UST}} = \frac{\Delta_{1:n}}{\Delta} = \frac{G_1(G_2 + G_3) + G_2 G_3 - G_2^2}{G_1 G_2 G_3 + G G_1 G_3} = -\frac{G_2}{G_1 G_3} = -\frac{R_1 R_3}{R_2}$$

## 5. Riešenie prechodových javov v lineárizovaných obvodoch.

Prechodovým javom rozumieeme prechod z jedného ustáleного stavu do druhého. Narušenie ustáleного stavu môže byť spôsobené buď zmenou budiaceho signálu, alebo zmenou štruktúry analýzo-vanej sústavy obvodov. Najčastejším druhom zmeny napájajúcich napäťí (zdroja signálu) je zmena státom. Pretože sa môže meniť napájacie napätie alebo napájaci prívod, uvádzame všeobecnú skokovú funkciu, ktorá zmenu budiacej/napájacej veličiny skokom.

Ži súboru netonejnej množiny sústavových funkcií má významnú funkciu, opisanaú vzájomom

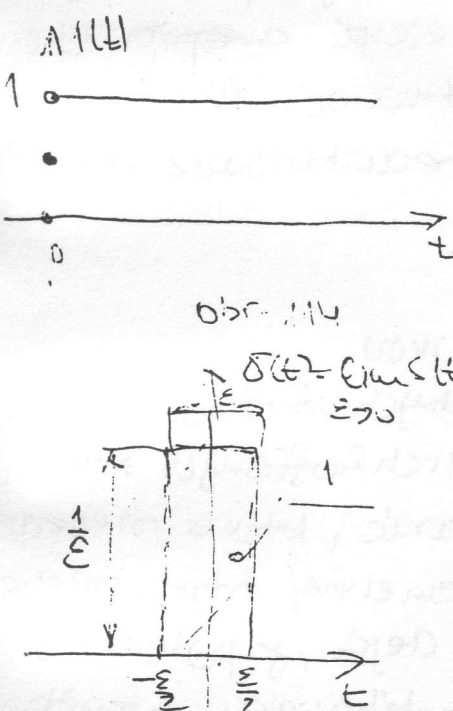
$$i(t) = \begin{cases} 0 & \text{pre } t < 0 \\ 1 & \text{pre } t > 0 \\ 1/2 & \text{pre } t=0 \end{cases} \quad (186)$$

ktorú spôsobí, že naznačený na obr. 114. Táto funkcia, ktorá v literatúre označujeme (niekedy) ako jednotkový skok (alebo tiež Heavisideova skoková funkcia, distribučka).

Odpovedá (či už zvažujeme) výstupného napäťia (pričtu) prenosového článku na jeho vstupný skok napäťa. (Pričtu) na vstupných súvisech sa nazýva prechodovou charakteristikou lineárneho obvodu. Štandardnou dôležitou funkciu/signalom, ktorý nadväzuje spojiteľciu v oblasti riešenia prechodových javov v lineárnych obvodech je tz. Diracov impulz, ktorý je matematicky definovaný tzv. Diracovou delta-funkciou, ktorá má vlastnosťami:

$$\delta(t) = \begin{cases} \infty & \text{pre } t=0 \\ 0 & \text{inak} \end{cases} \quad (187)$$

$$\int \delta(t) dt = 1 \quad (188)$$



Obr. 115.

Signál opísaný v základni (187) a (188) možno odviesť ako Členitý prípad signálu <sup>slo</sup> nazývaného pre obr. 115. pre  $\epsilon \rightarrow \infty$ . Odpoveď lineárnej sústavy (sústavy elektrotechnických obvodov) na signál, ktorý vedecej  $\delta(t)$ -funkcii (členotvorením impulzu), je nazýva impulzová charakteristika (impulzová odpoveď) lineárnej sústavy.

Impulzová a prechodová charakteristika majú uvedené lineárnych veľkých významu. Na tento súťasťnosť v stručnosti poukazuje uvedomosť v tejto, i nasledujúcej kapitole. Podrobnejšie bude teles problematika diskutovaná v predmete Signály a sústavy.

Uradujúci tejto kapitoly, ~~poukazuje na aplikácie~~ nesenia prechodových dejov v lineárnych sústavach. Táto buďca stručne opisuje tieto klasické metódy, a to požitek Laplaceovej a Fourierovej transformácie, ale aj požitek Gibramelajúcich integrátorov. Ľahko z najefektívnejších metód nesenia prechodových javov v lineárnych sústavach, požitek metódy stavovej premennej (stavových premenných) hociže tieto metódy sú vychodiskom i na riešenie ~~pre~~ prechodových dejov sú melineárnych zotracených obvodov, ale aj na ich opis, tento metódou bude podrobne diskutované v predmete lineárne analógové obvody.

### 5.1. Klasické metódy riešenia prechodových javov.

Riešenie prechodových javov v sústave elektrických obvodov Hosických metodou, vychádzia z toho, že pomocou Kirchhoffových zákonov zostavíme sústavu integro-diferenciálnych rovnic, ktorú prevedeme do diferenciálnych rovnic tej premennej, ktorá priebežne počasovanej stanoví. Riešenie prechodového dejja, je potom v úseku charakteristiky riešením diferenciálnej rovnice s telehoradou s konštantnými koeficientami, dany v základnom

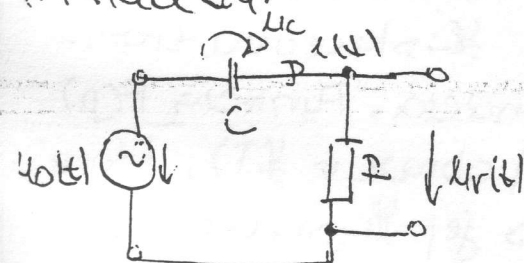
$$b_m \frac{d^m y(t)}{dt^m} + b_{m-1} \frac{d^{m-1} y(t)}{dt^{m-1}} + \dots + b_1 \frac{dy(t)}{dt} + b_0 y(t) = a_m \frac{d^m x(t)}{dt^m} + a_{m-1} \frac{d^{m-1} x(t)}{dt^{m-1}} + \dots + a_1 \frac{dx(t)}{dt} + a_0 x(t) \quad (189)$$

ak  $x(t)$  je buďca reologickej sústavy a  $y(t)$  je veličina ( $u, i$ )

Ktoré pribeh číame stanoviť. Poučím rovnice (187) miestoju z množa nesmier diferencovačných rovíc obdržime usobené riešenie a diferenciálnej rovnice (189). Aplikovaním počatačnej postupeň a odzrážanou usobenou riešení, rovnice (189), obdržime jej partikularnú riešenie, ktoré opisuje prechodujúci dej, ktorého pribeh číame stanoviť. (možno použiť i numerické metódy!).

Užitadom máme, že tieto nečíme užívajúceho typu bolo preberane v 1. ča. ročníku, náhľadom na tento problematiku podrobne zoobrazí.

Príklad 24.



Obr. 116.

Jednotec prúdu:

$$U_0(t) + i(t)R = U_0(t)$$

$$\frac{1}{C} \int u_C(t) dt + i(t)R = U_0(t) \quad | \frac{d}{dt}$$

$$R \frac{di(t)}{dt} + \frac{1}{C} i(t) = \frac{du_C(t)}{dt};$$

Predstavujúci derivatívaj obvodiek pôda  
Obr. 116, zistíme diferenciálnu rovnice, umožňujúcu vypočítať prúdu  $i(t)$ , kto gij rapporti'  $u_C(t)$  a  $u_R(t)$ .

Riešenie:

Vypočítať  $u_R(t)$ :

$$\frac{d(Ri(t))}{dt} + \frac{1}{RC} (Ri(t)) \frac{di(t)}{dt}$$

$$\frac{di(t)}{dt} + \frac{1}{RC} u_R(t) = \frac{di(t)}{dt}$$

Vypočítať magnetickú  $u_C(t)$ :

$$u_C(t) + i(t)R = U_0(t)$$

$$u_C(t) + C \frac{du_C}{dt} R = U_0(t)$$

$$RC \frac{du_C}{dt} + u_C(t) = U_0(t)$$

Iné riešenie:

$$u_R(t) = U_0 - u_C(t)$$

2. Operacionálna metóda riešenia prechodových farov.

Aplikácia: Šípokreovej transformácie.

Nefunkcia  $f(t)$  nájdeme tým dôležite:

(26)

(41)

po zastavu

- a, na intervalu  $t \in [0, \infty)$  je počasťia spojitej  
b, Existuje také reálne číslo  $c_0, c_1, \dots$  pre ktoré  
 $t \in [0, \infty)$  platí:

$$|f(t)| < c \cdot e^{c_0 t}$$

Potom možno pre túto funkciu uvažovať jej ~~časové~~ integrál

$$F(p) = \int_0^\infty f(t) e^{-pt} dt \quad (186)$$

Výzera (186) predstavuje tzv. príamu Laplaceova transformácia časovej funkcie  $f(t)$  do komplexnej roviny v Laplaceova transformácia je lineárna integraľná transformácia. Funkcia  $F(p)$  sa nazýva obrázok funkcie  $f(t)$  (Laplaceova obrázok v  $\mathcal{P}$ ), ktorá je nazývaná originál. Výpočet funkcie  $f(t)$  sa je v Laplaceovej sústave, umožňuje dve sústavy SPÄTNEJ LAPLACEOVEJ TRANSFORMÁCIE, ktoré sú definované v závorku

$$f(t) = \frac{1}{2\pi j} \int_{\sigma-j\infty}^{\sigma+j\infty} F(p) e^{pt} dp \quad (187)$$

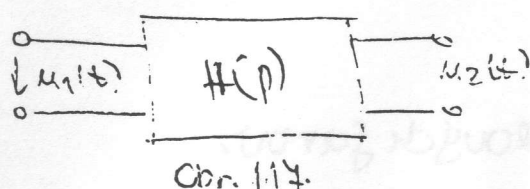
vizuálne  
zde je medzi originálnou funkciou  $f(t)$  a jeho operátorskym (Laplaceovým) obrazom  $F(p)$  uvedene zodpovednosť v závorku

$$f(t) \triangleq F(p) \quad (188)$$

Uvedené tvrzenie lineárnosti a jednotky sa vypočíta napriek tomu, že funkcia  $f(t)$  je využívajúca funkciu bieleho kvadratického kruhu.

$$F(p) = \mathcal{L}[f(t)] \quad f(t) = \mathcal{L}^{-1}[F(p)] \quad (188)$$

Uvedené tvrzenie lineárnosti a jednotky sa vypočíta napriek tomu, že funkcia  $f(t)$  je využívajúca funkciu bieleho kvadratického kruhu.



Potom, medzi Laplaceovým obrazom (reprezentáciu) vstupného signálu signál je nazývaný  $U_1(p)$  a Laplaceovým obrazom odpoveďu súčasne platí nasledujúci vzťah:

$$U_2(p) = H(p) U_1(p) \quad (189)$$

~~Funkcia  $H(p)$  nazýva sa vlastnosťou funkcie~~

(42)

$$H(p) = \frac{U_2(p)}{U_1(p)}$$

(190)

intenciu  $H(p)$ , definovanú rovnicou (190) ako počet Laplaceových obrazov v porovnaní s vstupnou signálom sústavy, nazývame PRENOSOVOU FUNKCIU SÚSTAVY.

Predpokladajme teraz, že vstupným signálom sústavy je signál v tvare rázovej funkcie  $\delta(t)$ . Potom pre Laplaceov obraz odpovede sústavy pláti:

$$Z(p) = H(p) U_1(p) = H(p) \mathcal{L}[u_1(t)] = H(p) \mathcal{L}[\delta(t)] = H(p) \cdot 1 = H(p) \quad (191)$$

Rovnica (191) naznačuje, že Laplaceov obraz impulzovej odpovede sústavy je zhodný s vstupným signálom a diracova funkcia je rovná zadanej funkcií sústavy, t.j. platí:

$$h(t) \stackrel{!}{=} H(p) \quad (192)$$

a  $h(t)$  je impulzová odpoveda lineárnej sústavy.

At vstupným signálom sústavy je signál v tvare jednotkového skoku, t.j. Laplaceov obraz odpovede sústavy dostávame tentu výraz:

$$Z(p) = U_2(p) = H(p) U_1(p) = H(p) \mathcal{L}[u_1(t)] = H(p) / p = \frac{H(p)}{p} \quad (193)$$

Využíva (193) novon, že medzi prenosovou funkciou  $H(p)$  lineárnej sústavy a jej Laplaceovim obrazom predstavuje charakteristiku sústavy (odpovede sústavy na jednotkový skok) existuje zároveňnosť, čiže

$$G(p) = H(p) / p \quad (194)$$

$$H(p) = p G(p) \quad (195)$$

Na výraz (195) opäťujeme späťnej Laplaceovu transformáciu, t.j. využívame, že medzi impulzovou a prekonačovou charakteristikou jedinej sústavy pláti tento vztah:

98

93

Užíváme se teraz k užitku (189). Na jeho levé straně je obraz operátorského vstupního signálu sítě. Odpořecíjící je tu originál je tu  $u_1(t)$ . Na pravé straně máme súčin obrazov  $H(p)$  a  $U_1(p)$ . Až na tento vztah aplikujeme konvolučný teoremu, tento možno psat nasledující vztahy:

$$u_2(p) = H(p) U_1(p) \stackrel{?}{=} h(t) * u_1(t) = \int_0^t h(t-\tau) u_1(\tau) d\tau = \int_0^t h(t-\tau) u_1(t-\tau) d\tau \quad (190)$$

Je symbol  $*$  označuje konvolučný vztah. Z užitku (190) vyplýva, že odpověď sítě v čase  $t = t$  můžeme vypočítat, a to konvolucí impulzových charakteristik sítě a vstupní (budešcej) veličiny. Potom pro odpověď sítě vystopí:

$$u_2(t) = h(t) * u_1(t) = \int_0^t h(t-\tau) u_1(\tau) d\tau = \int_0^t h(t-\tau) u_1(t-\tau) d\tau \quad (191)$$

### 5.3. DUHAMELOVÉ INTEGRALY

Uvažujme dvojbránu podle obr. 114. s nulovými počítacemi podmínkou i vlasti Laplaceovým obrazem odpovědi sítě  $u_2(p)$  a Laplaceovým obrazem vstupného napětí (signálu)  $U_1(p)$  platí vztah (189) pouze v denice (191) do (189), kde

$$G(p) = \mathcal{L}[g(t)] \quad (192)$$

vystáváme pro odpočet dle vztahu  $u_2(p)$  tento vztah:

$$U_2(p) = p G(p) U_1(p) \quad (193)$$

Z Laplaceovy transformace je známo, že sčítání obrazov zodpovídá konvoluci originálů

$$x(t) + y(t) = X(s) + Y(s) \quad (194)$$

při sčítání devítiček originálů, upozorněme dleto užitku

DEFINITION: (44)

$$u_2(p) = h(p) u_1(p)$$

$$u_2(t) = r(t) * u_1(t) = u_1(t) * g(t)$$

$$u_2(t) = \int_{-\infty}^{\infty} r(\tau) u_1(t-\tau) d\tau$$

$$u_2(t) = \int_{-\infty}^t u_1(\tau) g(t-\tau) d\tau$$

Specialny prirod:  $h(t) = \begin{cases} 0 & \text{pre } t < 0 \\ \text{inic pre } t \geq 0 \\ \delta(t) \end{cases}$

$$u_2(t) = \int_0^t r(\tau) u_1(t-\tau) d\tau$$

$$u_2(t) = \int_{-\infty}^t u_1(\tau) g(t-\tau) d\tau$$

pre  $x(t) = 0 \neq 0$ .

### Duhamlove integraly

$$\stackrel{?}{=} u_2(t) = \int_0^t h(\tau) u_1(t-\tau) d\tau$$

$$u_2(t) = \int_{-\infty}^t x(\tau) h(t-\tau)$$

## Convolúcia:

(44)

$$U_2(p) = H(p) U_1(p)$$

$$u_2(t) = r(t) * u_1(t) = u_1(t) * g(t)$$

$$u_2(t) = \int_{-\infty}^{\infty} r(\tau) u_1(t-\tau) d\tau$$

$$u_2(t) = \int_{-\infty}^t u_1(\tau) g(t-\tau) d\tau$$

Speciálny prípad:  $r(t) = \begin{cases} 0 & \text{pre } t < 0 \\ \text{inicijalne} & \text{pre } t \geq 0 \end{cases}$

s1(4):

$$u_2(t) = \int_0^t u_1(\tau) g(t-\tau) d\tau$$

$$u_2(t) = \int_0^t u_1(\tau) g(t-\tau) d\tau$$

pre  $x(t) = 0$  trdi.

## Duhamelova integraľa

$$\stackrel{?}{=} u(t) - \int_0^t h(\tau) u_1(t-\tau) d\tau$$

$$u_2(t) = \int_{-\infty}^t x(\tau) h(t-\tau) d\tau$$

$$w_s(t) = \sum_{n=0}^{\infty} w_n (t-n)$$

$$w(t) = s(t) + w(t) = w'(t) + s(t)$$

$$(w(t) = H(t) w(t))$$

$$P X(t) \hat{=} dX(t) = \frac{dX(t)}{dt}$$

(45)

(201)

K pravidlu (200) a (201) aplikujeme na vztah (199), tedy počasový nelineár odpověď systému můžeme obdržet tento vztah:

$$\begin{aligned} y_2(t) &= P F(t) u_1(t) \hat{=} \frac{d}{dt} [g(t) + u_1(t)] = \frac{d}{dt} \int_0^t g(\tau) u_1(t-\tau) d\tau = \\ &= \frac{d}{dt} \int_0^t g(t-\tau) u_1(\tau) d\tau = \\ &= g(t) u_1(t) + \int_0^t g'(\tau) u_1(t-\tau) d\tau = \\ &= g(t) u_1(t) + \int_0^t g'(\tau) u_1(t-\tau) d\tau = \\ &= -g(t) u_1(t) + \int_0^t g'(\tau) u_1(t-\tau) d\tau = u_2(t) \end{aligned} \quad (202)$$

Zkdyž máme originální použitým ve vztahu (202) důznecího k Duhamelově integraci. Z (202) je zřejmé, že k obdržení derivovaném homogenném integrálu potřeba parametrat. K vztahu (202) platí, že ak je zadána předchozí charakteristika systému lineární funkce  $g(t)$ , tedy odpověď systému (např.  $y_1(t)$ ) na bázi dle jedného  $x(t)$  ( $x(t)=0$  pro  $t<0$ ), můžeme využít tento vztah k řešení dalších sledujících vztahů:

$$\begin{aligned} y_1(t) &= g(t) x(t) - \int_0^t g(\tau) x(t-\tau) d\tau \\ y_1(t) &= g(t) x(t) + \int_0^t g(t-\tau) x(t-\tau) d\tau \\ y_1(t) &= g(t) x(t) + \int_0^t g'(t-\tau) x(\tau) d\tau \\ y_1(t) &= g(t) x(t) + \int_0^t g(t-\tau) u_1(\tau) d\tau \end{aligned} \quad (203)$$

(69)  $\text{Rozložit } t=100$

(70)  $\text{Rozložit } t=100$

## (+)

### 5.4. SPEKTRALNA METÓDA.

Dopodstatnej, že funkcia  $f(t)$  splňuje tieto podmienky:  
 (čas. Dirichletove podmienky)

a.  $f(t)$  je obdobne integravateľná, t.j. existuje také číslo  $M$ , že platí:

$$\int_{-\infty}^{\infty} |f(t)| dt < M < \infty \quad (204)$$

b)  $f(t)$  má na každom konečnom intervale konečný počet maxim a minim

c)  $f(t)$  má na každom konečnom intervale konečný počet bodov nepravidlosti

Potom možno pre funkciu  $f(t)$  vypočítať integrál

$$F(j\omega) = \int_{-\infty}^{\infty} f(t) e^{j\omega t} dt \quad (205)$$

Výnica (205) predstavuje taz. priame Fourierovo transformácie časovej funkcie  $f(t)$  do spektralnej (frekvencnej) oblasti. Funkcia  $F(j\omega)$  nazýva Fourierovu obrazom funkcie  $f(t)$ , ktorú sa nazýva originál. Funkcia  $F(j\omega)$  je následky nazývaná tiež spektrálnou funkciou. Výpočel funkcie  $f(t)$  a jej Fourierovu obrazu umožňuje použitie spôsobe FOURIERSKEJ TRANSFORMÁCIE, ktorú je definujúca vzťahom

$$f(t) = \frac{1}{2\pi} \int_{-\infty}^{\infty} F(j\omega) e^{-j\omega t} d\omega \quad (206)$$

Užat naznačíme originálom funkcie  $f(t)$  a jej operátorskym obrazom (Fourierovym obrazom) budeme zapisovať takto:

$$f(t) \hat{=} F(j\omega) \quad (207)$$

Výnimku pre prípad, a spôsob Fourierovej transformácie budeme nazývať tieto symbole:

$$f(j\omega) = \overline{f}[f(t)] \quad f(t) = \overline{f}[F(j\omega)] \quad (208)$$

Uvažujme teraz lineárnu sústavu podľa obr. 114. so vstupnou signálom  $u_1(t)$  a odvodenou súčasťou  $u_2(t)$ , kde impulzová odpoveď sústavy je  $h(t)$ . Potom pre odvodenú súčasť sústavy placi:

$$u_2(t) = \int_0^t h(t-\tau) u_1(\tau) d\tau \quad (209).$$

Na tento vzťah aplikujeme konvolučné teoreme, znamu pre FT, tak pre Fourierov obraz odvodeného lineárnej sústavy platí:

$$U_2(j\omega) = H(j\omega) U_1(j\omega) \quad (210)$$

$$\text{de } H(j\omega) = \mathcal{F}[h(t)], \quad U_2(j\omega) = \mathcal{F}[u_2(t)], \quad U_1(j\omega) = \mathcal{F}[u_1(t)] \quad (211)$$

Funkcia  $U_1(j\omega)$  ( $U_2(j\omega)$ ) nazývame spektrum vstupného signálu (signálu) impulzovej sústavy. V prípade, že ~~signál~~ funkcia  $x(t)$  je matematicky ~~modelom~~ symetrická, taktiež je Fourierov obraz nazývané spektrum (frekvenciálny spektren, Fourierov spektrum) signálu  $x(t)$ . Fourierov obraz impulzovej charakteristiky lineárnej sústavy možno frekvenciou charakteristickou lineárnej sústavy. Frekvenciálna charakteristika sústavy je komplexná funkcia, komplexnej premennej  $j\omega$ . Preto ju možno vyjádriť tiež v tejto forme:

$$H(j\omega) = |H(j\omega)| \cdot e^{j\varphi(j\omega)} \quad (212)$$

$$\text{tie } \varphi(j\omega) = \arg[H(j\omega)] \quad (213)$$

Funkcia  $|H(j\omega)|$  nazývame amplitudovou (modulovou) frekvenciálnej charakteristikou lineárnej sústavy. Funkcia  $\varphi(j\omega)$  nazývame fazovou (argumentovou) charakteristikou frekvenciálnej charakteristiky lineárnej sústavy. So súviedzí, že frekvenciálnej charakteristickej lineárnej sústavy možno označiť ako prenosovú funkciu sústavy  $H(j\omega)$  alebo  $H(j\omega)$  nazývame za príjmu, t.j.

$$H(j\omega) = H(0) \Big|_{D=j\omega} \quad (214)$$

(70)

Uříme, řeďtež k vztahu (210), a počteme nyní pre opäťnú FT (206). Potom pre odpočet linearnej sústavy došlo k tomu tento vzťah:

$$u_2(t) = \frac{1}{2\pi} \int_{-\infty}^{\infty} u_1(j\omega) H(j\omega) e^{j\omega t} d\omega \quad (215).$$

Keďže funkcia  $u_1$  je tiež pozadované frekvenčné charakteristiky sústavy, a súčinným výpočtom výpočet odpočet sústavy pre časový interval  $t=0$  mohu použiť vzťah (215).

Kinetické systémy sú obyčajne opísané svojimi charakteristikami v časovej oblasti, v oblasti Laplaceovej transformácie ale aj vo frekvenčnej oblasti.

### Spôsob opisu

### Charakteristiky / parameter

diferenciálna rovnica  
(lineárna, s konštantnými koeficientami)

koeficienty diferenciálnej rovnice

konvolúcia  
 $R * h(t)$

impulzová odpoveď lineárnej systému  $h(t)$

difukmelové integráty

prechodové charakteristiky lineárnej sústavy

### časovo-invariantnosť

Uvažujme lineárnu sústavu, ktorá reakčiu  $y(t)$  má vzhľadom k signálu  $x(t)$ , potom možno ju tiež možno opísať pomocou tejto diferenciálnej rovnice

$$\text{tj. } \frac{dy(t)}{dt^n} + a_{n-1} \frac{dy^{n-1}(t)}{dt^{n-1}} + \dots + a_1 \frac{dy(t)}{dt} + a_0 y(t) = b_m \frac{dx^{(m)}(t)}{dt^m} + b_{m-1} \frac{dx^{(m-1)}(t)}{dt^{m-1}} + \dots + b_1 x(t) + b_0 x(t)$$

Applikáciu Laplaceovej transformácie na (1), následne pre prenosovú funkciu sústavy obdržíme tento výraz:

$$H(s) = \frac{Y(s)}{X(s)} = \frac{\sum_{i=0}^m b_i s^i}{\sum_{i=0}^n a_i s^i} \quad (2)$$

Zámenici (2) (vzťah (2)) možno vyjádrit tímž v této formule:

$$\text{ZD} \quad H(D) = K \quad (2)$$

$$H(D) = K = \frac{bm}{an} \quad (3)$$

$$\text{ZD} \quad H(D) = \frac{P_{in}}{P_{out}} \quad (4)$$

Takže  $K = \text{konstanta}$ ,  $P_{in}$  je totální proud výkonu v systému a  $P_{out}$  je výkon záložného systému (tj. výkon, který je využíván pro přenos energie, funkce, informací).

ZD vzťah (3) lze ještě zjednodušit na tvar:

$$H(D) = 0 \quad \text{pro } D = 1, 2, \dots, n \quad (p_{in} \neq p_{out})$$

$$H(D) = \infty \quad \text{pro } D = 1, 2, \dots, n \quad (p_{in} = p_{out})$$

ZD vzťahov (2) a (3) (3) a (5) vidíme, že v komplexní rovině (3) jsou také body, pro které je  $H(D) = 0$ , a toto je rastrový bod, když  $H(D)$  rastrová měď všechny medze. Tato body tvoří vlastnosti (3) pro které platí vztah (4), nazývame **POLOMI PŘENOSOVÉ FUNKCIE**. Tato body patří k komplexní rovině (3), když  $H(D)$  rastrová nad všechny medze, nazývame **POLYMI PŘENOSOVÉ FUNKCIE**.

Vycházající z týchto poznatků, můžeme sestrojit opět hirodiovský systém v oblasti komplexní roviny (3) zahrnující všechny

### SPOSOB OBRNU

### Charakteristiky / parametry

Drenosová funkcia

koefficienty čítatelů a menovatek

$H(D)$  [racionálna lomnica funkcia]

telská přenosová funkcia

polygonaly přenosové funkcie (faktorizačno přenosová funkcia)

$K = p_{in}, p_{out}$  (zisk + polygonaly)

(diagram poloh - analýz přenosové funkcie lineární systém)

$$K = \frac{bm}{an}$$

Dôvod:

precopodielu sú koeficienty  $H(p)$  sú reálne, takže polynómy sú reálne, alebo možu byť reálne, alebo musia existovať dvojice komplexných súradieb, ktoré sú reálne, alebo musia existovať dvojice komplexných súradieb, ktoré sú reálne, alebo možu byť jednoduché, alebo súrovné.

Metoda:

zjistenie prenosových funkcií

$$H(p) = p^3 + p^2 + p + 1$$

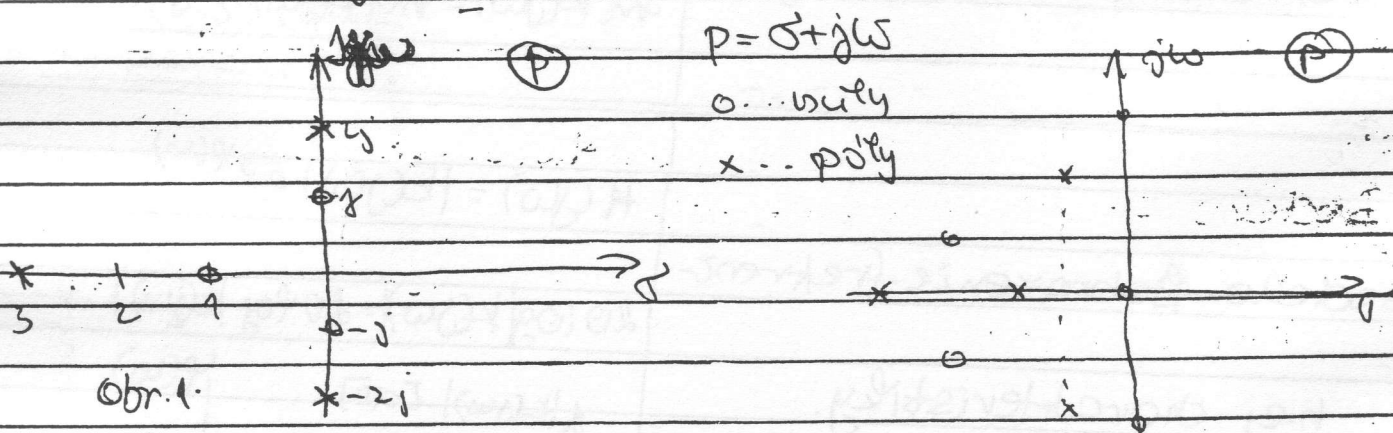
$$H(p) = p^3 + 3p^2 + 4p + 12$$

stavte diagram polív a nút.

členenie:

$$H(p) = \frac{p^3 + p^2 + p + 1}{p^3 + 3p^2 + 4p + 12} = \frac{p^2(p+1) + (p+1)}{p^2(p+3) + 4(p+3)} = \frac{(p^2+1)(p+1)}{(p^2+4)(p+3)}$$

$$H(p) = \frac{(p+1)[(p+j)(p-j)]}{(p+3)(p+2j)(p-2j)}$$



základka: Za predpokladu, že  $\sigma > 0$ , môžme obdržať:  
1. inú prenosovú funkciu napr. diagram polív a nút podľa r. 2.

+ 3. Opis linearnych systemów o frekvenckiej charakterystyce

ZAPRZYSTAŁYMI SYSTEMAMI

TYPU FREKVENCKIEGO  
CHARAKTERYSTYKI

MATEMATYCZNA FORMA  
GRAFICZNA ZARZĄDZENIA

$\text{Im}[K(j\omega)]$

NYQUISTOWA FREKV. CHARAKTERYSTYKA

(Nyquistowe zobrażenie frekvenckiej charakterystyki)

$\text{Re}[K(j\omega)]$

$$K(j\omega) = \text{Re}[K(j\omega)] + j\text{Im}[K(j\omega)]$$

$j\varphi(\omega)$

NICHOLSOVA FREKVENCKA  
CHARAKTERYSTYKA

(Nicholsowe zobrażenie  
frekvenckiej charakterystyki)

$\text{Im}[K(j\omega)]$

$$K(j\omega) = |K(j\omega)| e^{j\varphi(\omega)}$$

$$\ln K(j\omega) = \text{Ph}[K(j\omega)] + j\varphi(\omega)$$

$$H(j\omega) = |K(j\omega)| e^{j\varphi(\omega)}$$

Bodego zobrażenie frekvenckiej charakterystyki.

- amplitudowa frekvencka  
charakterystyka  $|K(j\omega)|$

- fazowa frekvencka charaktersytyka.

$$20 \log|K(j\omega)| = 20 \log|K(j\omega)|$$

$|K(j\omega)| \text{ [dB]}$

$\varphi(\omega)$

$\log \omega$

$\log \omega$

$\omega$

$$H(p) = \frac{dD(p)}{dt(p)} = \frac{\sum_{i=0}^m a_i p^i}{\prod_{i=1}^n (p - p_i)} = K \frac{\prod_{i=1}^m (p - z_i)}{\prod_{i=1}^n (p - p_i)}$$

(83)

Predpokladajme, že koeficienty  $H(p)$  sú reálne. Potom bude faktorizovaná forma  $H(p)$  vypadnúť v tvare sumy činitelov, ktoré možno mať 4 rôzne formy:

- A. konštantná časť ( $K$ )
- B. činitel  $p$  reprezentujúci koreň polynómu v počiatku súradnej sústavy.

- C. Činitel  $p + j\omega$  reprezentujúci komplexný reálny koreň.
- D. Činitel  $p^2 + ap + b$  reprezentujúci parkomplexné združené koreňy.

referenčné charakteristiky sústavy potom plati:

$$H(j\omega) = K \frac{\prod_{i=1}^m (j\omega - z_i)}{\prod_{i=1}^n (j\omega - p_i)} = K \frac{\prod_{i=1}^m (j\omega - z_i) e^{j\varphi_i}}{\prod_{i=1}^n (j\omega - p_i) e^{j\psi_i}}$$

$$\varphi_i = \arctg \frac{\operatorname{Im}[j\omega - z_i]}{\operatorname{Re}[j\omega - z_i]} \quad \psi_i = \arctg \frac{\operatorname{Im}[j\omega - p_i]}{\operatorname{Re}[j\omega - p_i]}$$

$$U(j\omega) = K \frac{\prod_{i=1}^m |j\omega - z_i|}{\prod_{i=1}^n |j\omega - p_i|} e^{j \left[ \sum_{i=1}^m \varphi_i - \sum_{i=1}^n \psi_i \right]}$$

$$20 \log |H(j\omega)| = 20 \log |K| + \sum_{i=1}^m 20 \log |j\omega - z_i| - \sum_{i=1}^n 20 \log |j\omega - p_i| \quad (\text{A})$$

$$\varPhi(\omega) = \sum_{i=1}^m \varphi_i - \sum_{i=1}^n \psi_i \quad (\text{B})$$

$$\text{komplexné združenie: } 2 \log |(j\omega - z_i)(j\omega - \bar{z}_i)|$$

## Poznámka o jednotke dB.

(84)

$K_{V+2}$

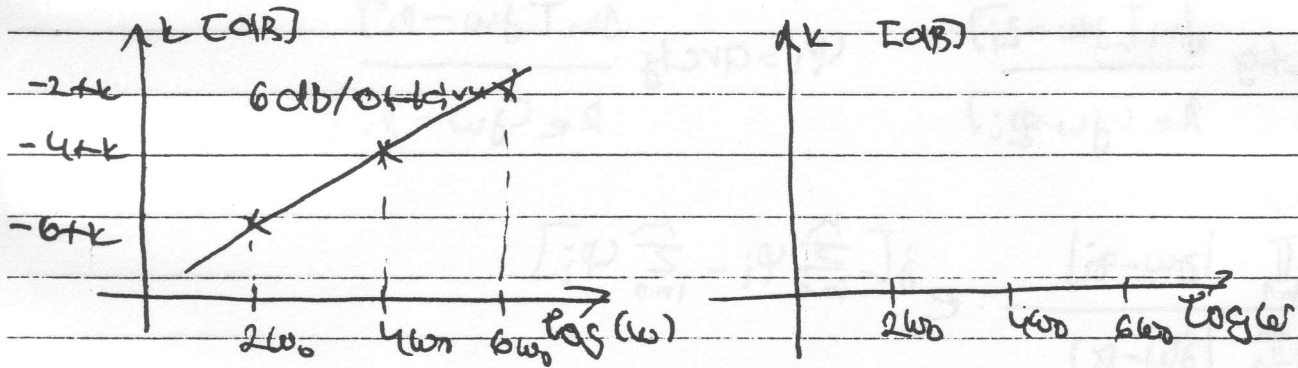
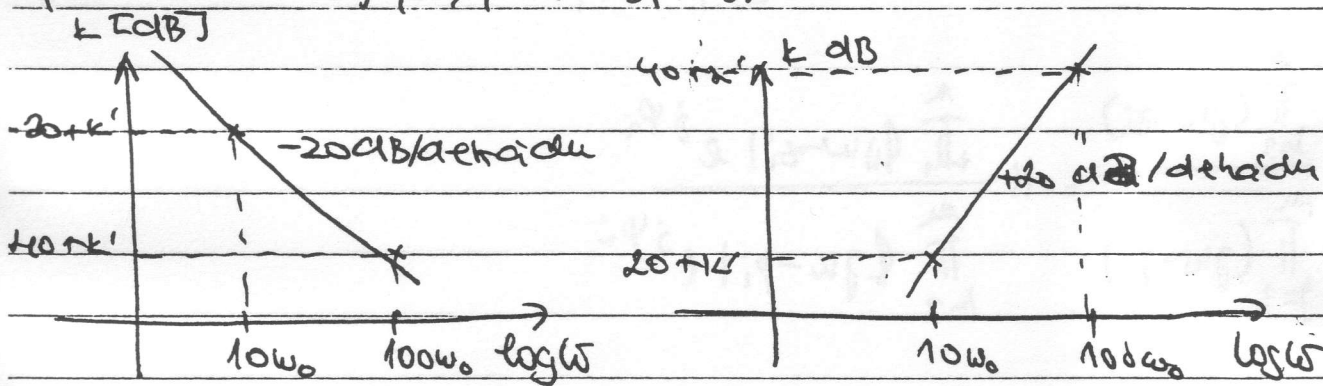
$$M_{dB} = 20 \log \frac{M_{out}}{M_{in}}$$

$M_{in} : 1$

$10dB \approx$ zmena o $10\%$	$12dB \approx 4:1$	$60dB \approx 1000:1$
$3dB \approx$ zmena o $\sqrt[3]{2}:1$	$20dB \approx 10:1$	$90dB \approx 10000:1$
$10 dB$	$3:1$	$40 dB \approx 100:1$
$6 dB$	$2:1$	$50 dB \approx 300:1$

## Poznámka o strmote frekvenčnej charakteristiky.

Strmota frekvenčnej charakteristiky je definovaná výrazom  $k_{dB}$  / oktavu "(octave)". Oktava (octave) je interval frekvenčie  $(f_f, f_s)$ ;  $(f_f, 2f_f)$ .



oznamovacej technike, technickej kybernetike a automatizacií sa vžimá, že používa asymptotickú approximáciu frekvenčných charakteristik pomocou čiaraní.

Vażújme prenosové funkcie vo  $H(s)$  uvedené vo faktorizovanej forme:

do vztahu A a B plyní, že AFCH a PFCH jsou rovnocenné až vtedy, když "prišpetky" bychotajících dílčitlivostí, k celkové AFCH a PFCH.

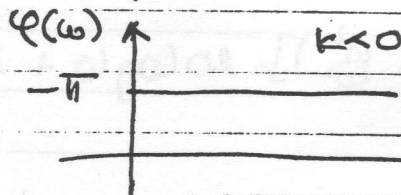
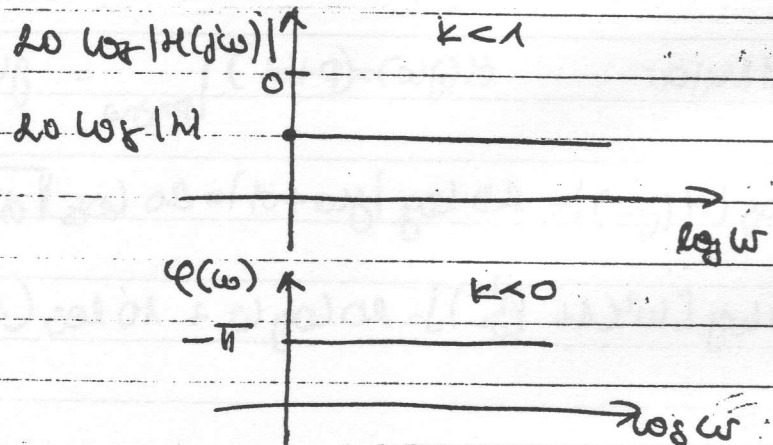
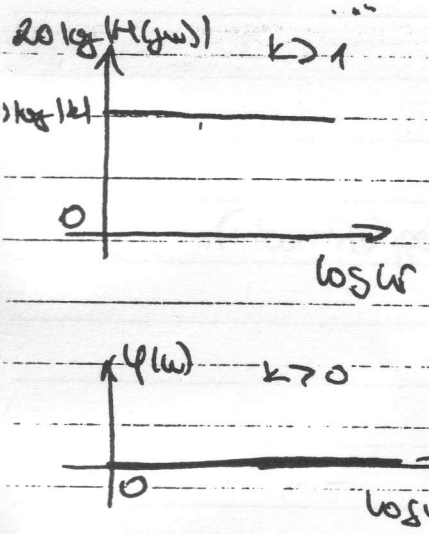
Uztačenou nato, se berouce za obecné zaobratí prišpetkami výsledek správnosti dílčitlivostí, a to za předpokladu, že je jedna o polu aleso o nuly.

4.1.1. Vlastnosti char.

$$H(j\omega) = k;$$

$$20 \log |H(j\omega)| - 20 \log k; \quad (k > 0) \Rightarrow 20 \log k > 0 \Rightarrow \varphi = 0$$

$$0 < k < 1 \Rightarrow 20 \log k < 0 \Rightarrow \varphi = -180^\circ (-\pi)$$



1.1.1. 1. základní vlastnosti charakteristiky

$$\text{A-Pol.} \quad H(j\omega) = \frac{1}{P} \mid_{P=j\omega} \quad \text{B:uva:} \quad H(j\omega) = 1 \mid_{P=j\omega}$$

$$20 \log |H(j\omega)| = 20 \log \left| \frac{1}{j\omega} \right| = -20 \log \omega, \quad 20 \log |H(j\omega)| = 20 \log |j\omega| + 20 \log \omega$$

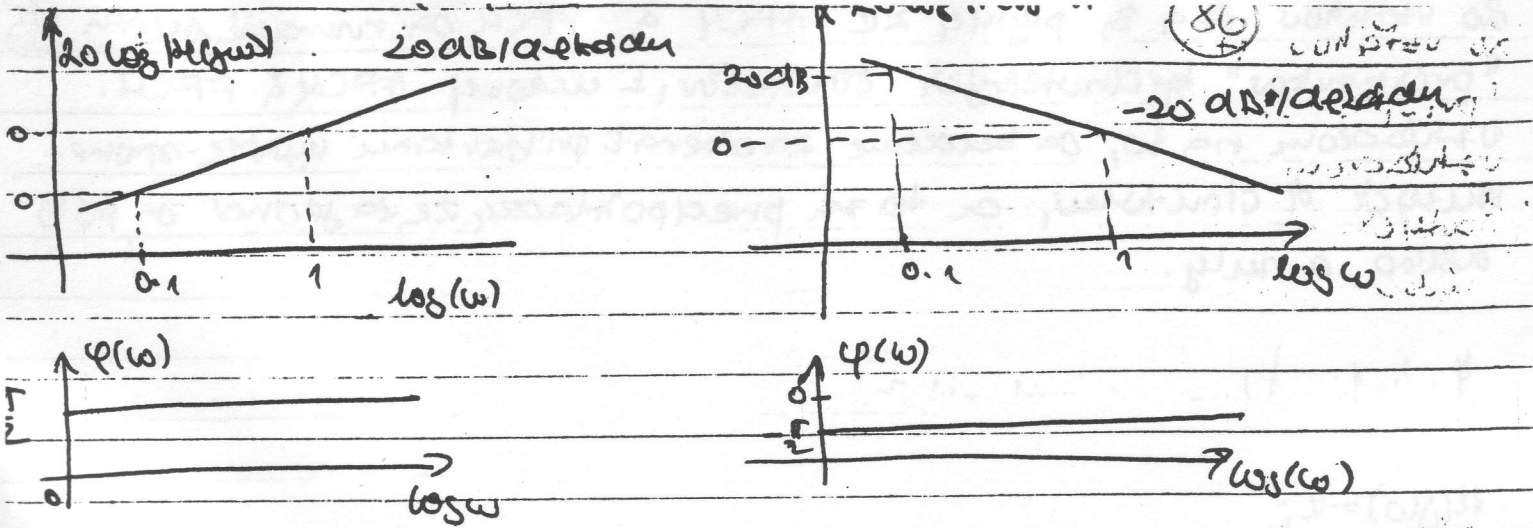
$$\varphi_1(\omega) = -\pi/2; \quad (-90^\circ) \quad \varphi_1(\omega) = \pi/2; \quad 90^\circ$$

Stromost charakteristiky:

$$20 \log |H(j\omega_1)| - 20 \log |H(j\omega_2)| = 20 \log \frac{10\omega_1}{\omega_2} = 20 \log 10 = 20 \text{ dB [deldou]} \quad \text{[deldou]}$$

$$20 \log |H(j\omega_1)| + 20 \log |H(j\omega_2)| = -20 \log \frac{\omega_1}{10\omega_2} = -20 \text{ dB [deldou].}$$

$$20 \log |H(j\omega_1)| - 20 \log |H(j\omega_2)| \rightarrow 20 \log \frac{\omega_1}{\omega_2} = 20 \log 2 > 6 \text{ dB [deldou].}$$



1. - Einheit (p+ $j\omega$ ) reprezentiert ein induktiv reiches KVRV.

$$-\#1 \text{ Nulla: } H(j\omega) = (p + j\omega) \Big|_{p=0} = j\omega + \alpha$$

$$20 \log |H(j\omega)| = 20 \log |j\omega + \alpha| = 20 \log \sqrt{\alpha^2 + \omega^2} = 10 \log (\alpha^2 + \omega^2) =$$

$$= 10 \log [w^2(1 + \frac{\alpha^2}{w^2})] = 20 \log w + 10 \log \left(1 + \frac{\alpha^2}{w^2}\right)$$

b)  $\alpha \gg \omega$ :

$$20 \log |H(j\omega)| = 20 \log (\alpha^2 + \omega^2) \approx 20 \log \alpha \quad \varphi(\omega) = 0^\circ.$$

c)  $\alpha \ll \omega$

$$20 \log |H(j\omega)| \approx 20 \log \omega$$

Ergebnis:  $20 \text{dB} / \text{Oktaven}$

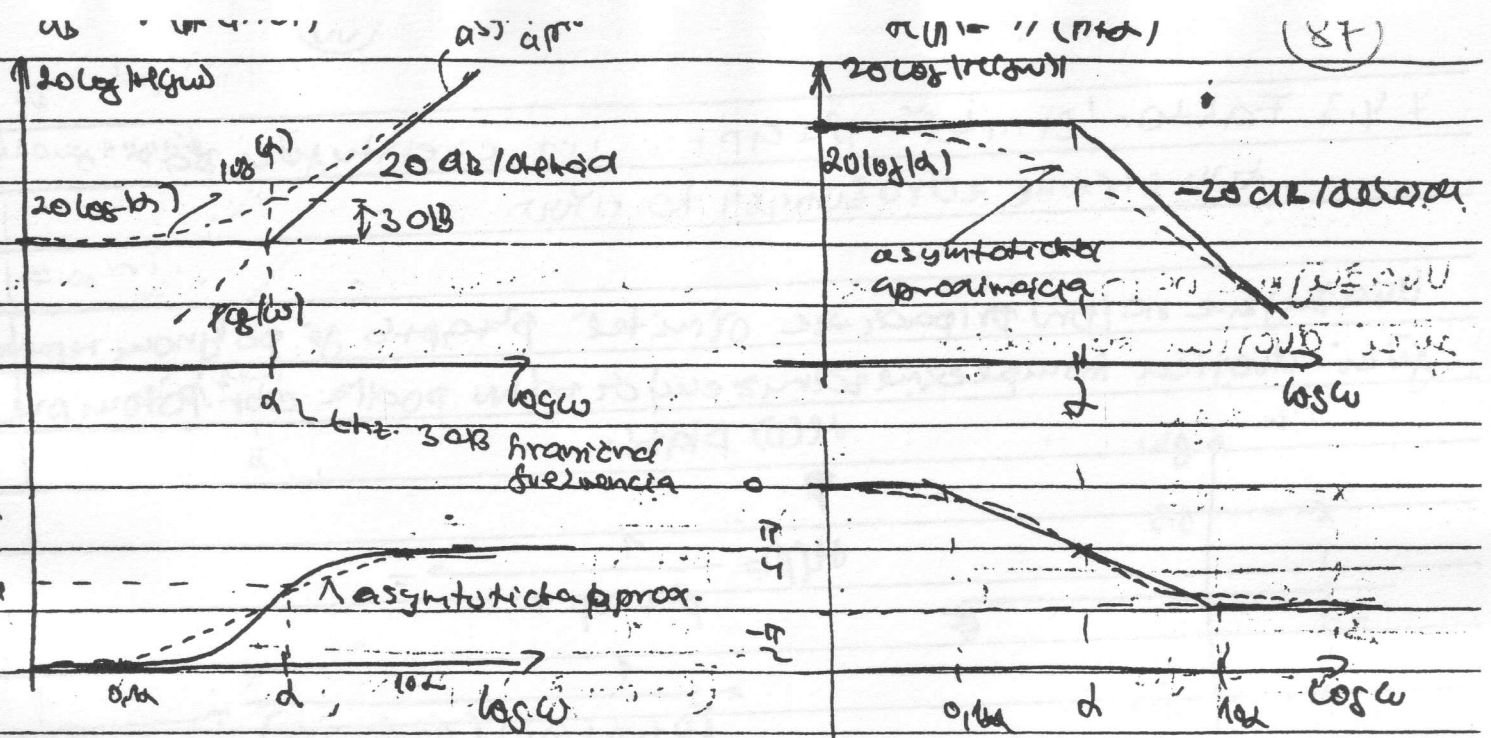
$$\varphi(\omega) = \frac{\pi}{2} (90^\circ).$$

d)  $\alpha = \omega$

$$20 \log |H(j\omega)| = 20 \log \sqrt{\alpha^2 + \omega^2} - 20 \log \sqrt{2} \omega = 20 \log \omega + \log \sqrt{2} =$$

$$= 20 \log \omega + 3 \text{dB!}$$

$$\varphi(\omega) = \arctg \frac{\omega}{\alpha} = \arctg 1 = \frac{\pi}{4}$$



$$H(jw) = 1/(j\omega)$$

Si la admisión pre polos obedece la ecuación precedente, que el sistema tiene un solo polo.

a).  $\alpha \gg \omega$

$$20 \log |H(j\omega)| = 20 \log \left| \frac{1}{j\omega + \alpha} \right| = -20 \log |j\omega + \alpha| = -20 \log (\sqrt{\omega^2 + \alpha^2}) \approx -20 \log \omega$$

$$\varphi(\omega) = 0$$

b).  $\alpha \ll \omega$

$$20 \log |H(j\omega)| = 20 \log \left| \frac{1}{j\omega + \alpha} \right| = -20 \log \sqrt{\omega^2 + \alpha^2} \approx -20 \log \omega$$

$$\varphi(\omega) = -\frac{\pi}{2}; \quad (90^\circ)$$

c).  $\alpha = \omega$

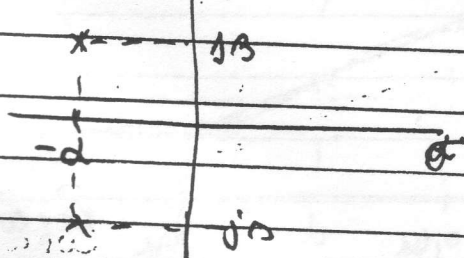
$$20 \log |H(j\omega)| = 20 \log \left| \frac{1}{j\omega + \omega} \right| = -20 \log 2\omega^2 = -20 \log \omega - 30 \text{dB}$$

$$\varphi(\omega) = \arctg \frac{-\omega}{\omega} = \arctg (-1) = -\frac{\pi}{4}$$

4.3 Faktor/činitel'  $p^2 + ap + b$  jest czynnymi pólami odcinającymi kompleksne zdręczenia to rysunek.

Uważajmy na jöndu przypadku o'miela' przepis do polynomu reprezentujici' dwójca kompleksnych zdręczeniowych pólów połata obr. Pókiż pue

$H(j\omega)$  placi:



$$H(p) = \frac{1}{p^2 + ap + b} = \frac{1}{(p + \alpha + \beta j)(p + \bar{\alpha} - \bar{\beta}j)}$$

$$= \frac{1}{p^2 + 2ap + (\alpha^2 + \beta^2)}$$

$$= \frac{1}{p^2 + 2ap + \underbrace{\alpha^2}_{a} + \underbrace{\beta^2}_{b}} = \frac{1}{p^2 + 2ap + \omega_0^2}$$

kae  $b = \omega_0^2 = \alpha^2 + \beta^2 \geq 0!$

$$H(j\omega) = \frac{1}{(\omega^2 + \underbrace{2\alpha j\omega}_{a} + \underbrace{\omega_0^2}_{b})} = \frac{1}{(b - \omega^2) + j\alpha\omega}$$

a).  $\omega^2 \ll b = \omega_0^2$  ( $\omega \ll b$ )  $\rightarrow H(j\omega) \approx \frac{1}{b} \rightarrow 0!$

$$20 \log |H(j\omega)| = 20 \log \left| \frac{1}{(b - \omega^2) + j\alpha\omega} \right| \approx 20 \log \frac{1}{b} = 20 \log \frac{1}{\omega_0^2}$$

$\varphi(\omega) \approx 0^\circ$ .

b).  $\omega \gg b$ ,  $\omega^2 \gg \omega_0^2$ ;  $\omega^2 \gg \omega$   $H(j\omega) \approx \frac{1}{\omega^2}$

$$20 \log |H(j\omega)| \approx 20 \log \left| \frac{1}{\omega^2} \right| = -40 \log \omega; \quad \varphi(\omega) = -\pi$$

(89)

struktur charakteristike:

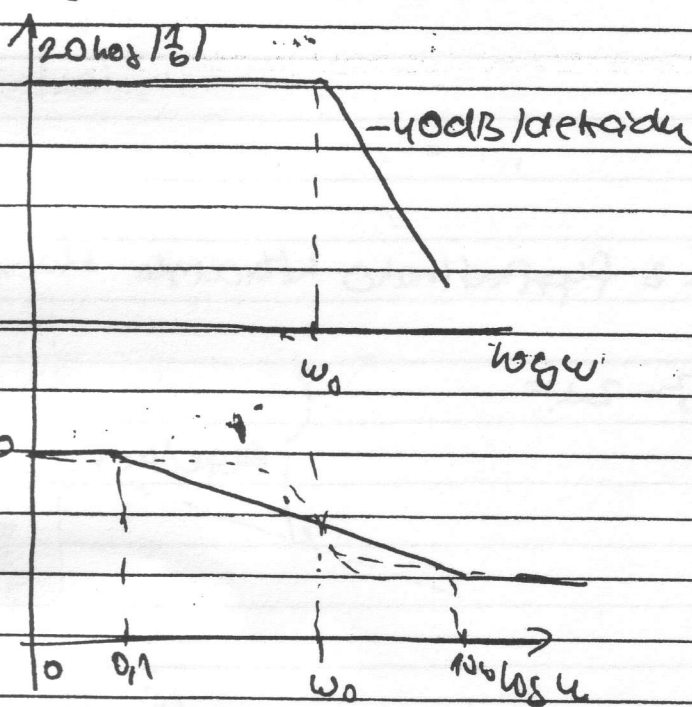
$$20 \log |H(j\omega)| - 20 \log |A(j\omega)| = 20 \log 10w + 20 \log w =$$

$$= 40 \log \frac{w}{10w} = 40 \log \frac{1}{10} = -40 \text{ dB below}$$

Resonanz charakteristike pre  $w=w_0$ :

$$\frac{1}{|H(j\omega)|} = \frac{1}{(\omega^2 - \omega_0^2) + 2\zeta j\omega_0} = \frac{-j}{2\zeta \omega_0} \Rightarrow \Phi(w=w_0) = -\frac{\pi}{2}$$

$$20 \log |A(j\omega)|$$

re  $|H(j\omega)|$  plot:

$$|H(j\omega)| = \frac{1}{\sqrt{(\omega^2 - \omega_0^2)^2 + 4\zeta^2 \omega^2}} = \frac{1}{\sqrt{(\omega_0^2 - \omega^2)^2 + 4\zeta^2 \omega^2}}$$

Ce teraz tabu' hodnotu,  $\omega$ , pre záverečné  $|H(j\omega)|$  maximálnej, ktorú máme na to musíme platiť

$$\frac{d|H(j\omega)|}{d\omega} = 0!$$

(90)

$$\frac{d}{dw} |H(jw)| = \frac{d}{dw} \left| \frac{1}{(jw)^2 + 2\alpha jw + \omega_0^2} \right| = \frac{d}{dw} \left| \frac{1}{(\omega_0^2 - w^2) + 2\alpha^2 w^2} \right|$$

$$\frac{d}{dw} [(\omega_0^2 - w^2)^2 + 4\alpha^2 w^2] = -\frac{1}{2} [(\omega_0^2 - w^2)^2 + 4(\alpha^2 w^2)]^{\frac{1}{2}} \cdot$$

$$2[(\omega_0^2 - w^2) \cdot (-2w) + 8\alpha^2 w] = 0$$

$$+ w [(\omega_0^2 - w^2) - 2\alpha^2] = 0$$

$$\begin{cases} w=0 \\ \omega_0^2 - w^2 = 2\alpha^2 \end{cases}$$

$$w = \sqrt{\omega_0^2 - 2\alpha^2}$$

Riešenia musia byť reálne (z fyzikálneho hľadiska)

$$q_1: \omega_0^2 > 2\alpha^2 \Rightarrow w = \sqrt{\omega_0^2 - 2\alpha^2}$$

$$q_2: \omega_0^2 > 2\alpha^2 \Rightarrow w = \omega_0$$

$$q_3: \omega_0^2 < 2\alpha^2 \Rightarrow w = 0$$

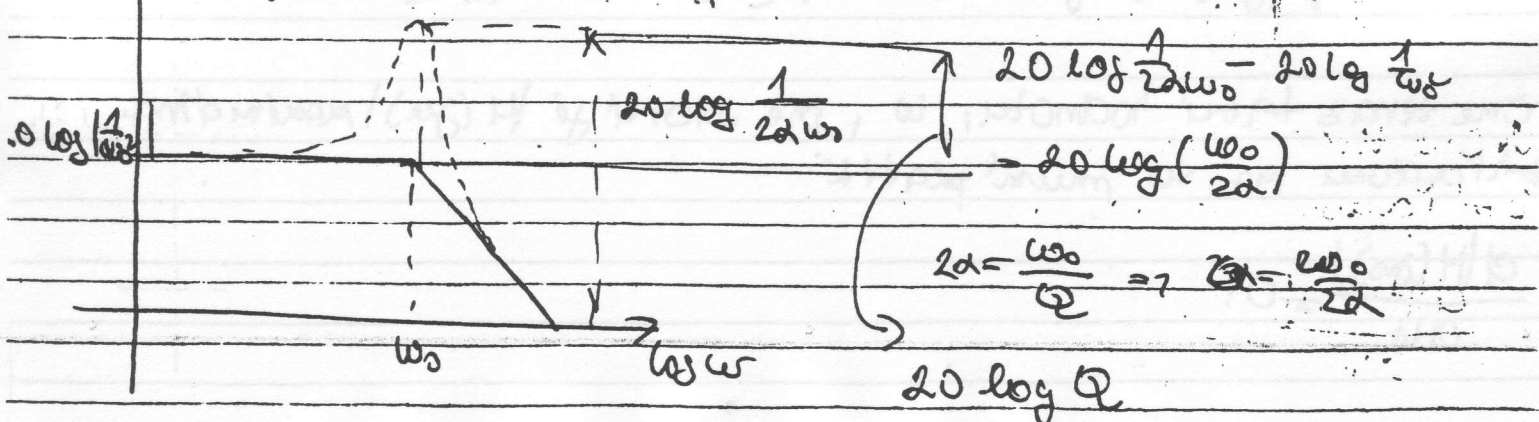
} maxima.

Uvažujme napriek prípade k:

$$\omega_0^2 > 2\alpha^2$$

$$|H(j\omega_0)|^2 = \left| \frac{1}{-\omega_0^2 + j\omega_0 2\alpha + \omega_0^2} \right|^2 = \frac{1}{2\alpha \omega_0} \quad 20 \log |H(j\omega)| = 20 \log \frac{1}{2\alpha \omega_0}$$

$$20 \log |H(j\omega)|$$



(11)

Užíváme na posledních vztazích tvaru možnosti opisat přenosovou funkci  $H(j\omega)$  v této formě:

$$H(j\omega) = \frac{1}{j\omega + (\frac{\omega_0}{Q})j\omega + \omega_0^2}$$

Nazíkáme-li tuto vlnu přímo následující bodovou asymptotickou approximací již zodpovídající amplitudové a fázové frekvenci charakteristiky. Amplitudové a fázové frekvenci charakteristiky, zodpovídají různým hodnotám  $Q$  s jejich naznačenou na obr.

